

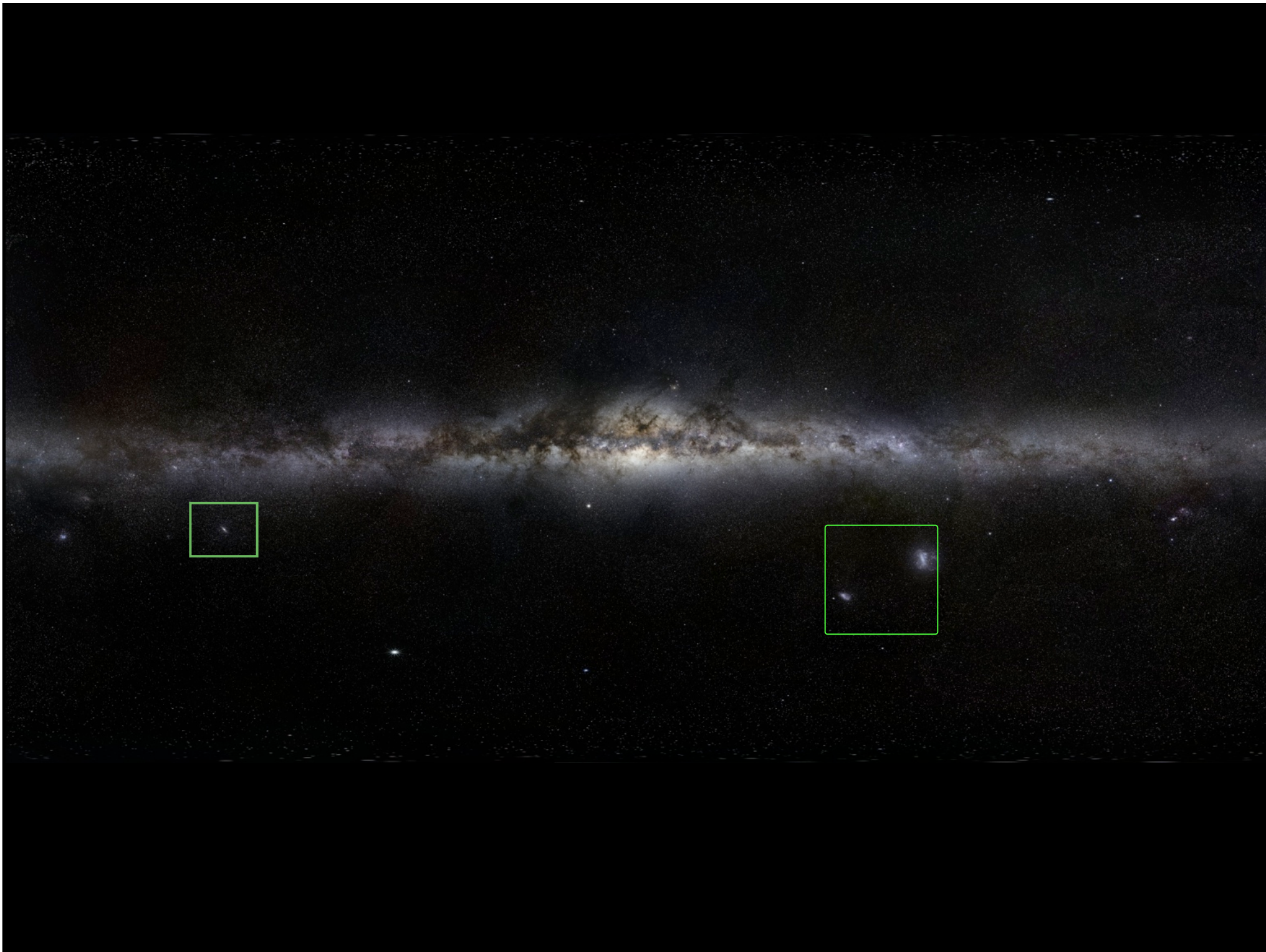
Galaxias y Cuásares



José A. Muñoz
Dto. Astronomía y Astrofísica
Universidad de Valencia

MUSEO ELDER
20 de Noviembre de 2009





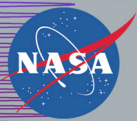
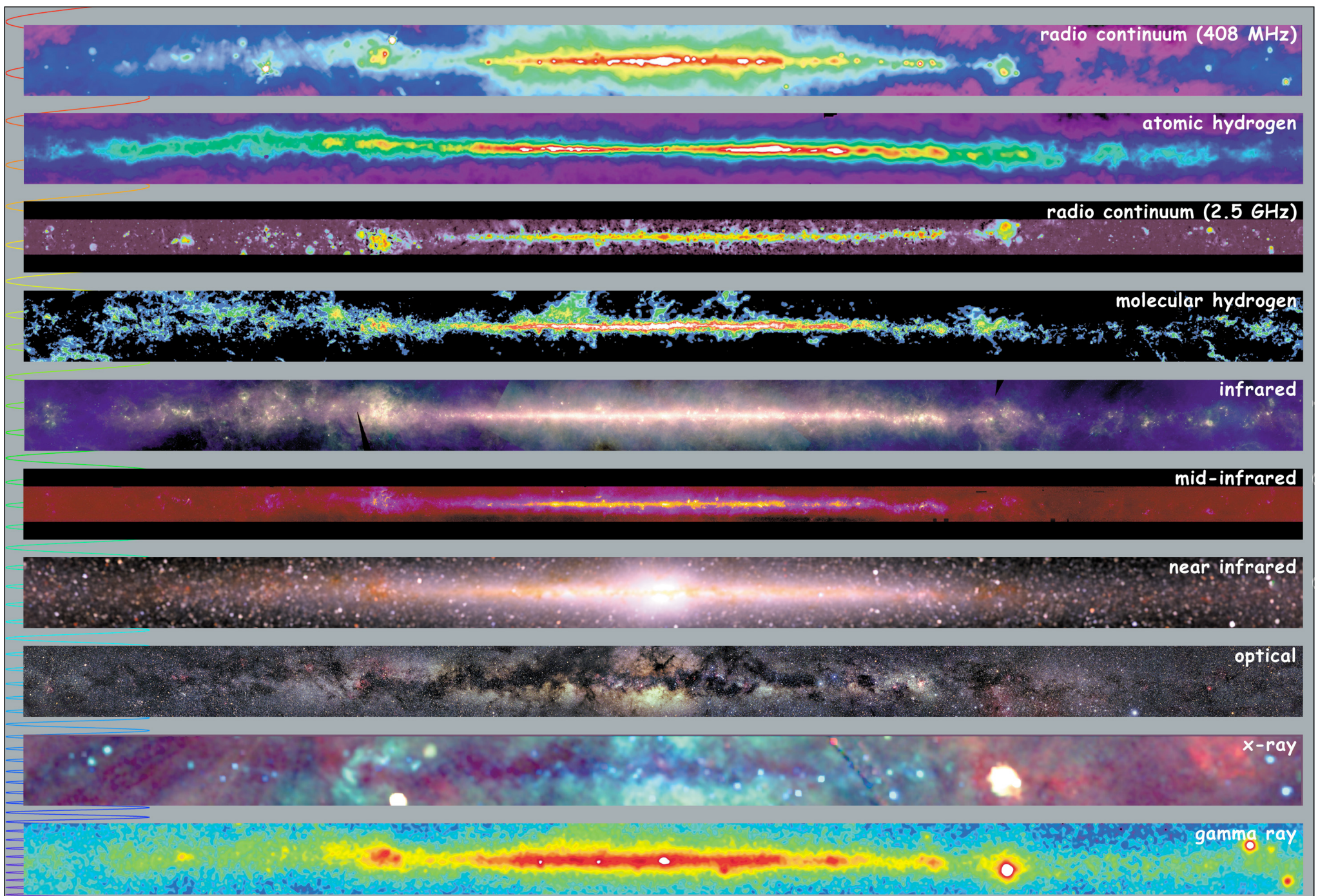




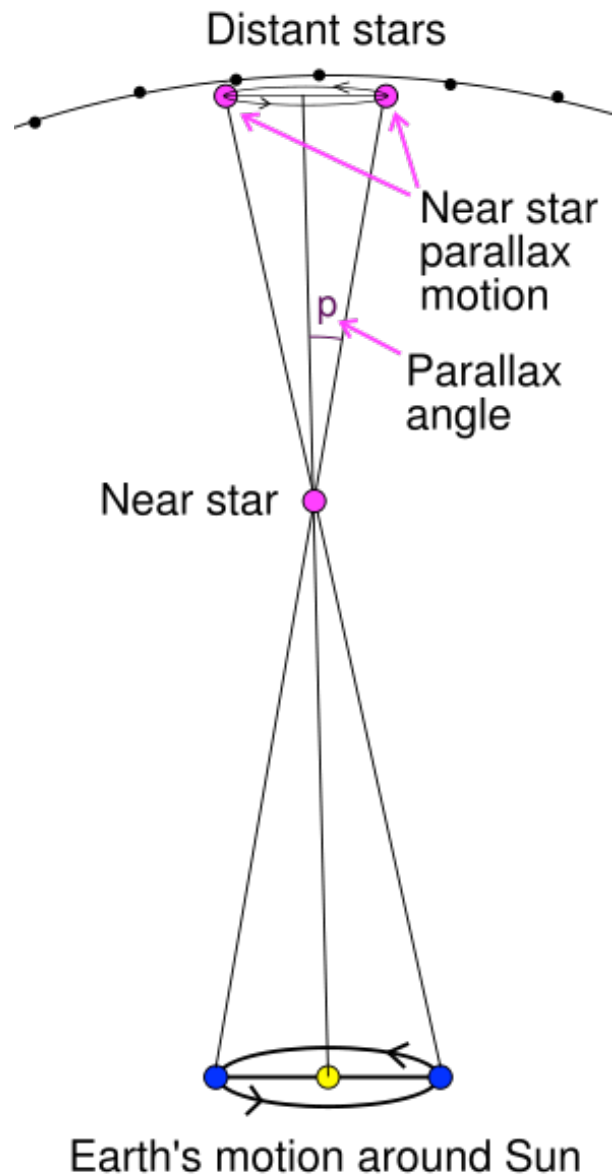


Galaxia de Andrómeda

a una distancia de
2,5 millones de años luz

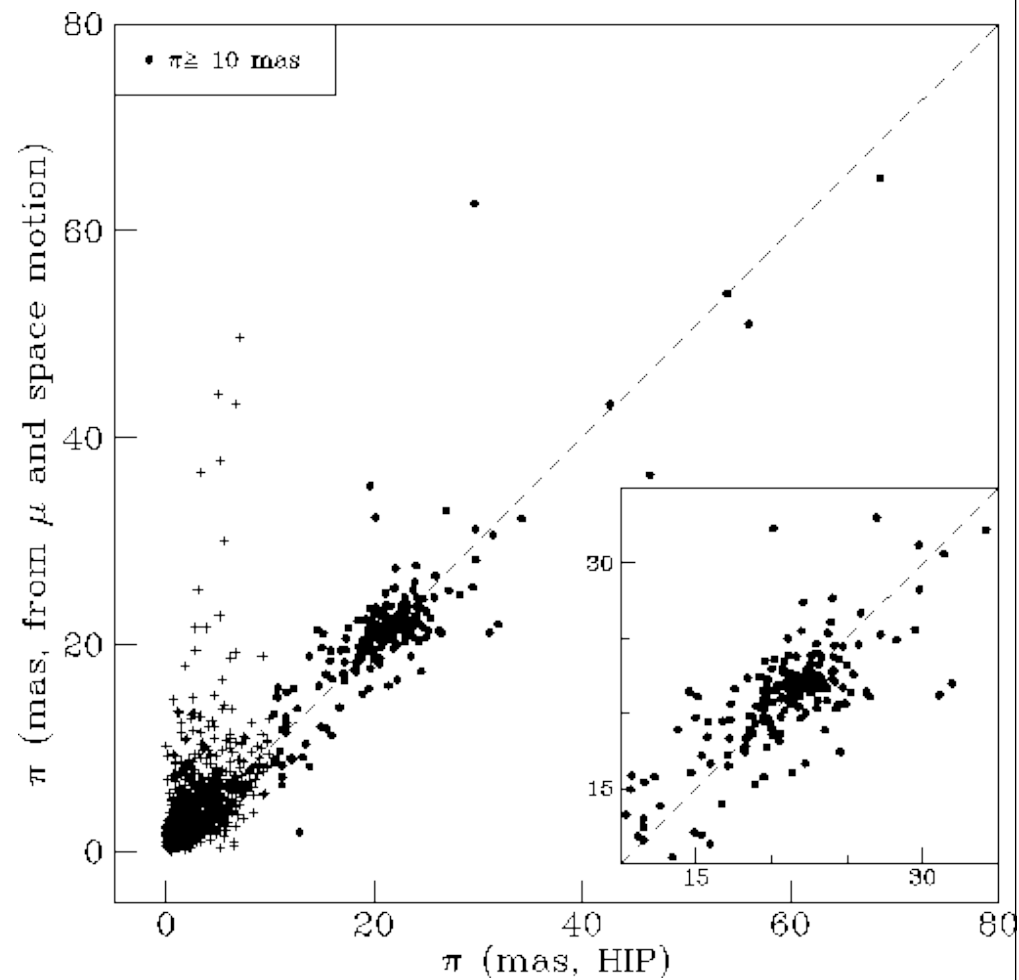
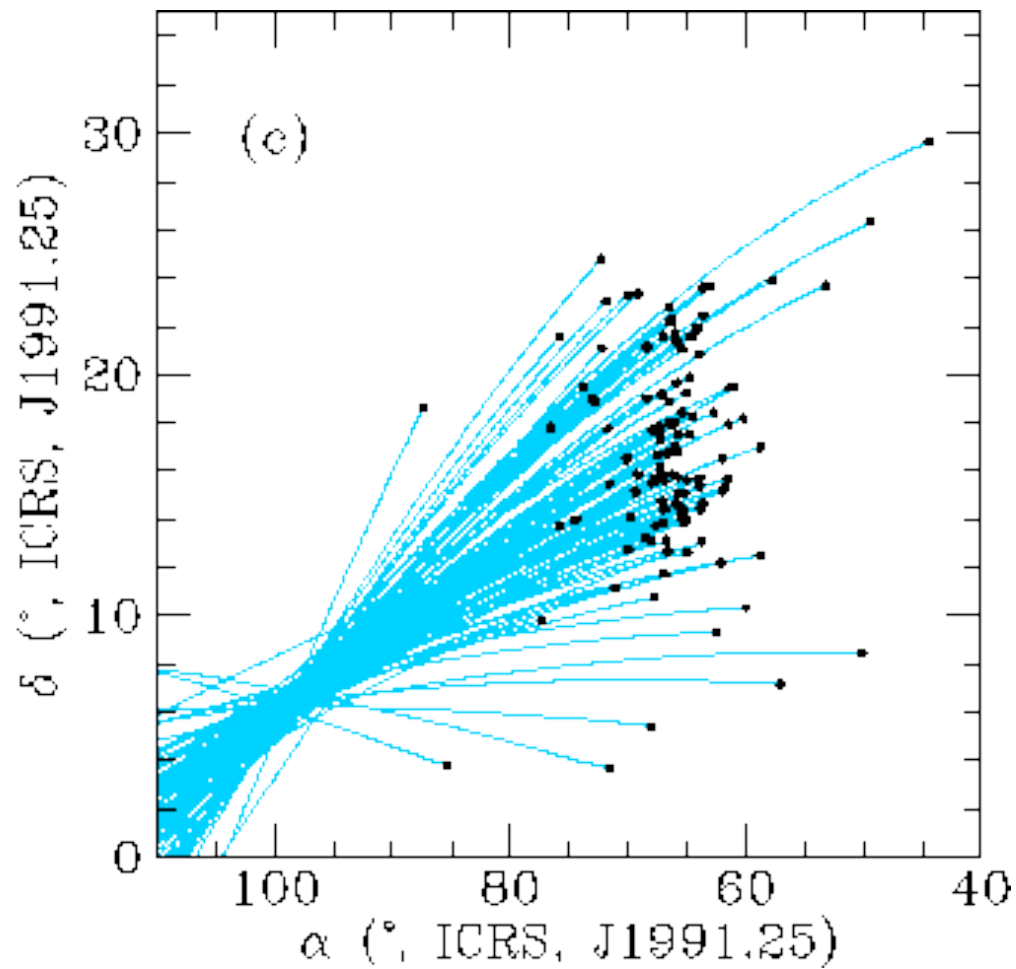


Multiwavelength Milky Way

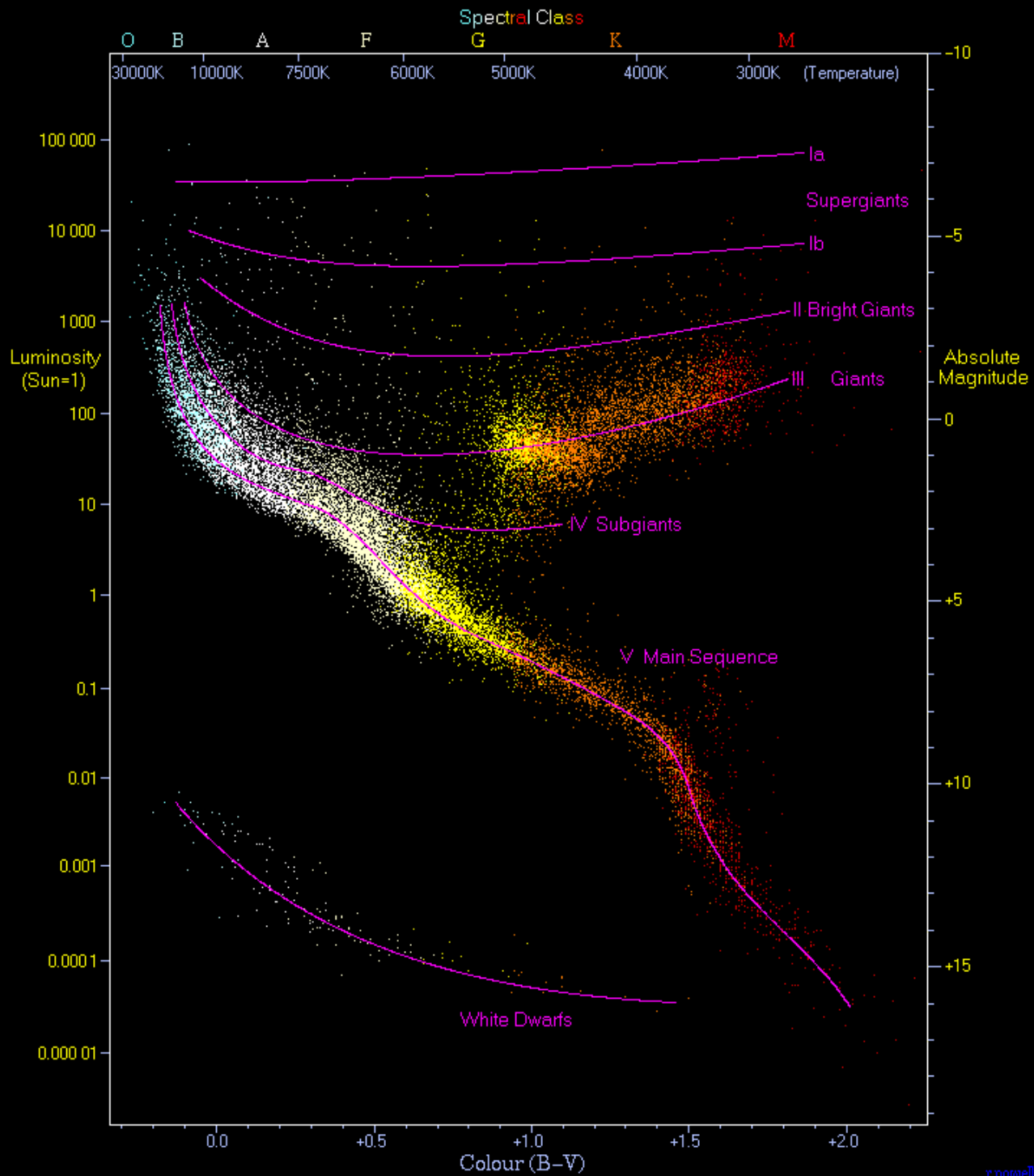


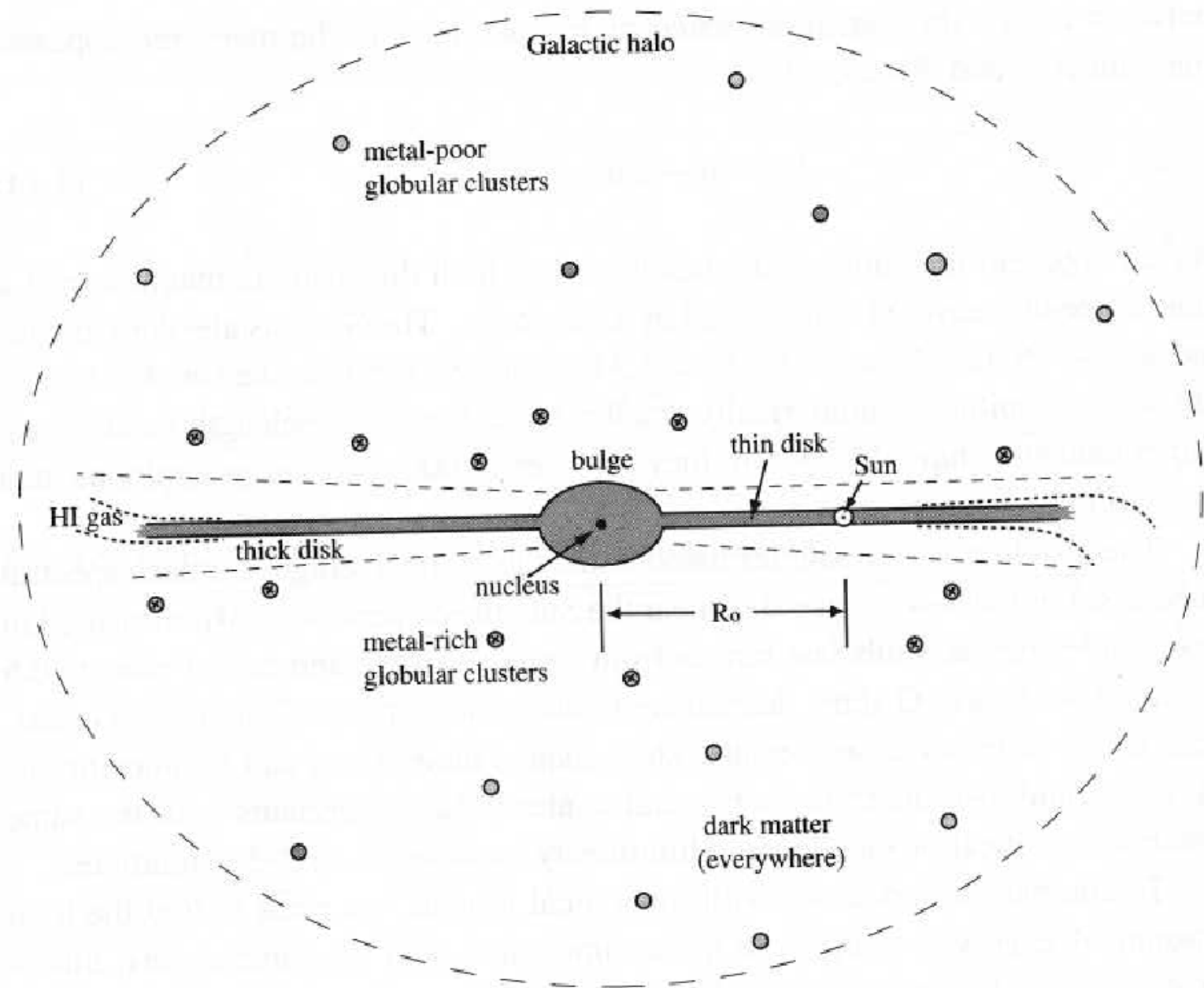
Hipparcos (*High Precision Parallax Collecting Satellite*)

Ha medido la posición de 120.000 estrellas con un precisión de una milésima de segundo de arco



Distancia al cúmulo de las Hyades = 46.3 ± 0.3 pc (Perryman et al. 1998)







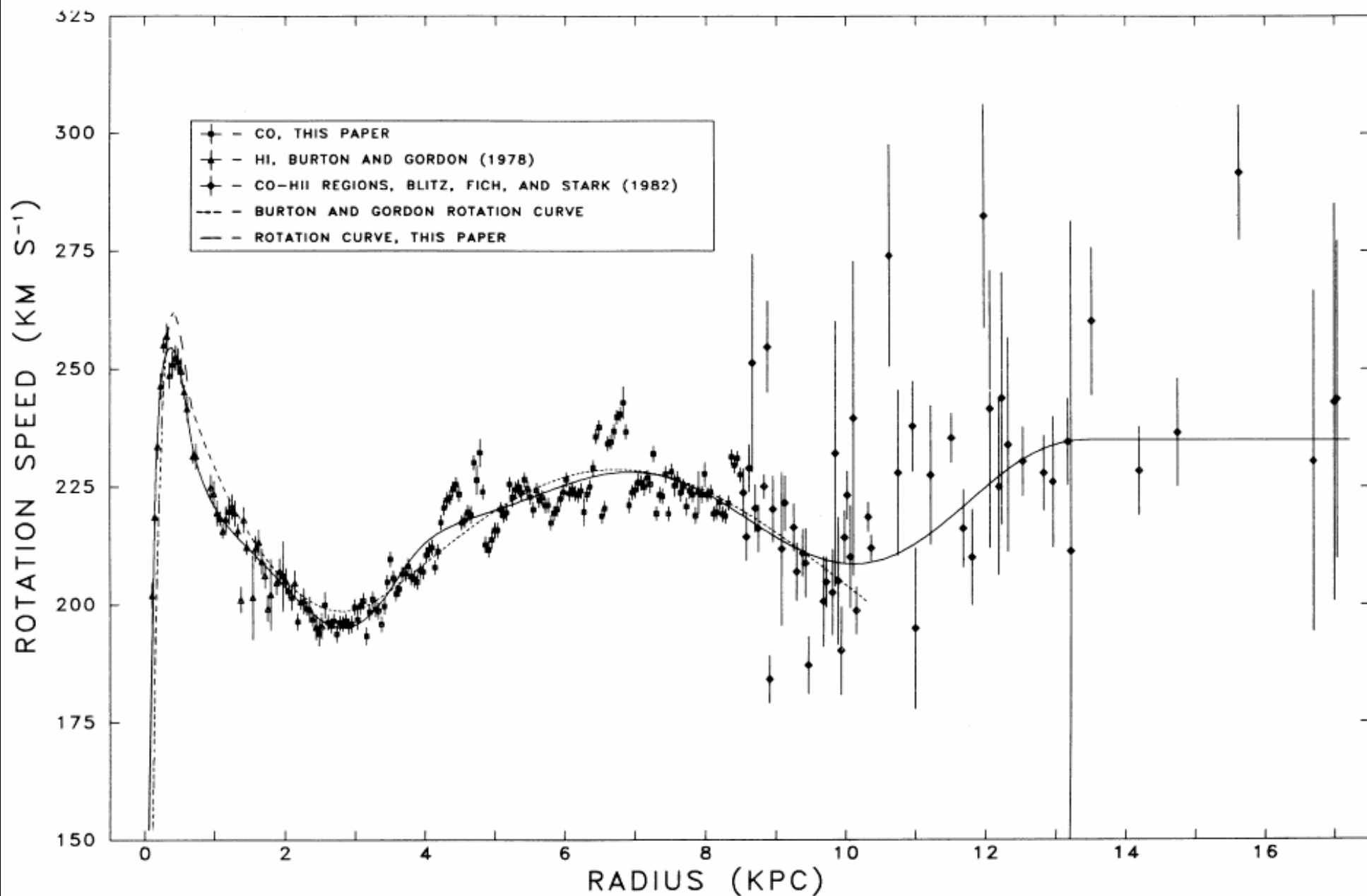
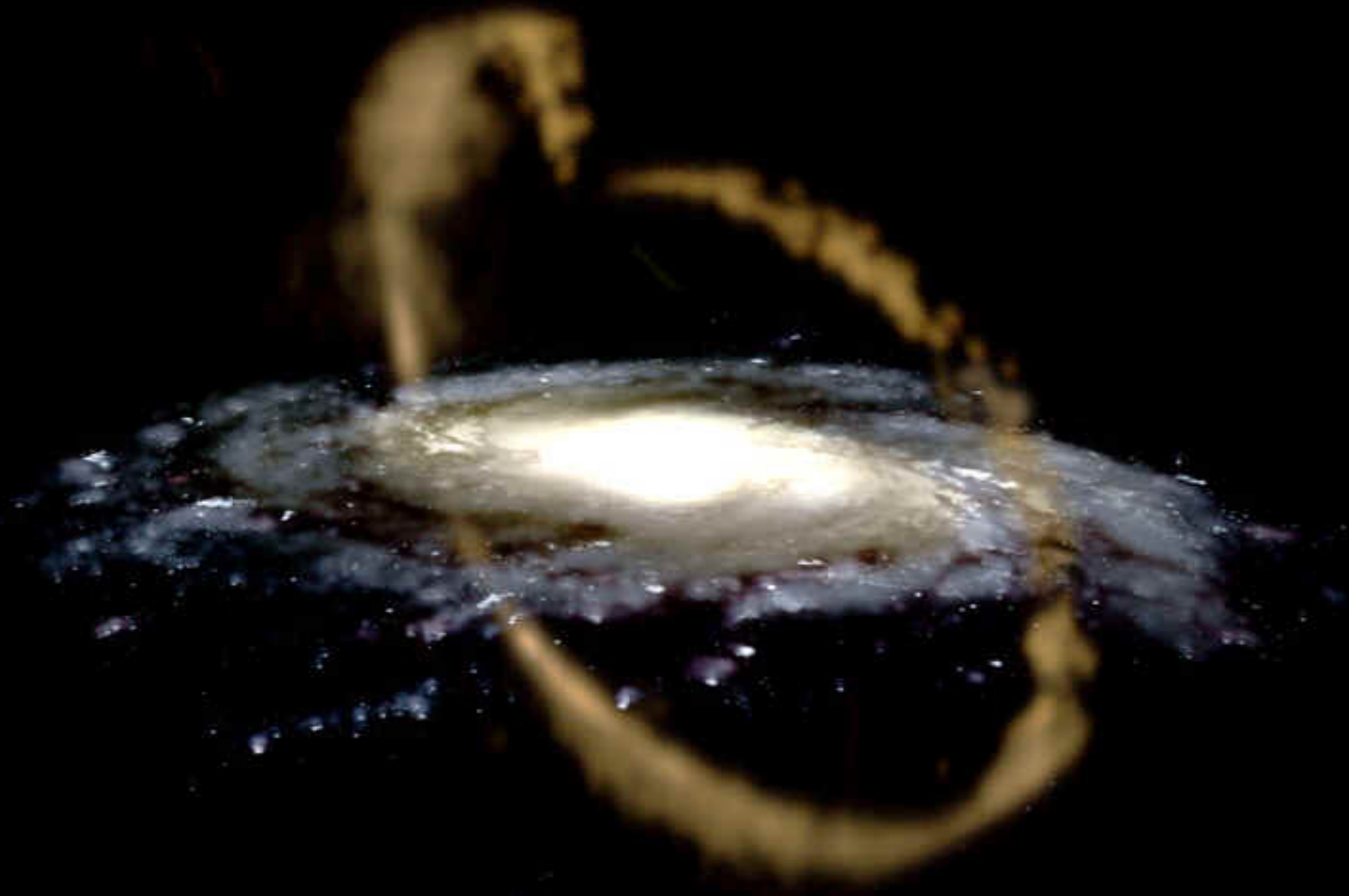
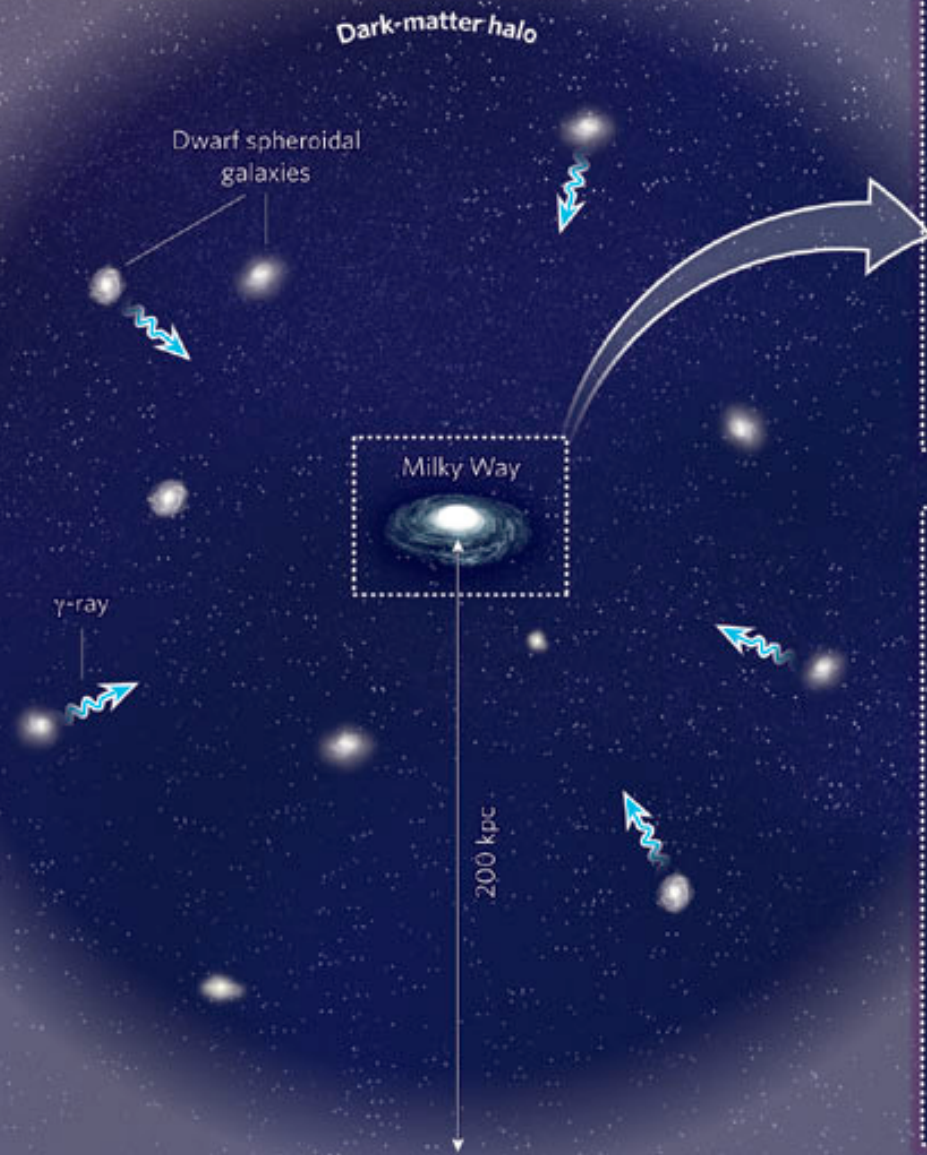


FIG. 3.—Plots of the rotation speed versus galactocentric radius. The solid lines correspond to the polynomials, and the dashed lines are the BG rotation curve. (*upper panel*) $(R_0, \theta_0) = (10 \text{ kpc}, 220 \text{ km s}^{-1})$; (*lower panel*) $(8.5 \text{ kpc}, 220 \text{ km s}^{-1})$.

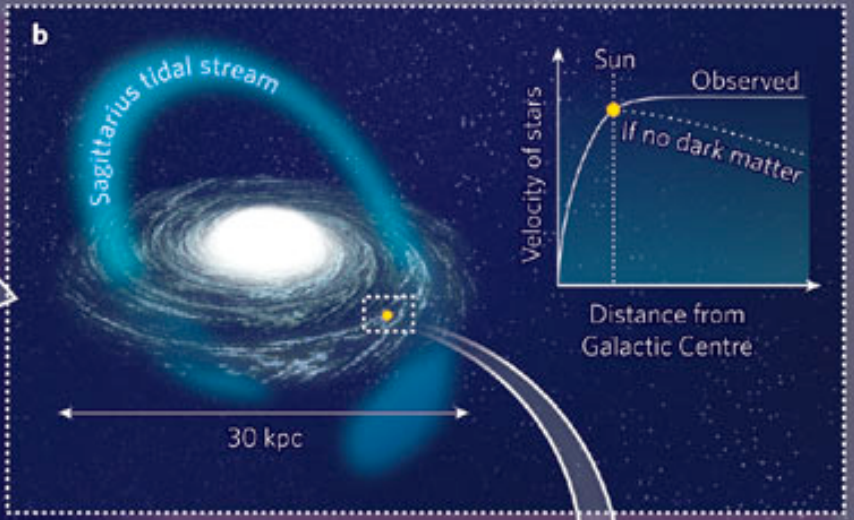
The Sagittarius Dwarf Tidal Stream



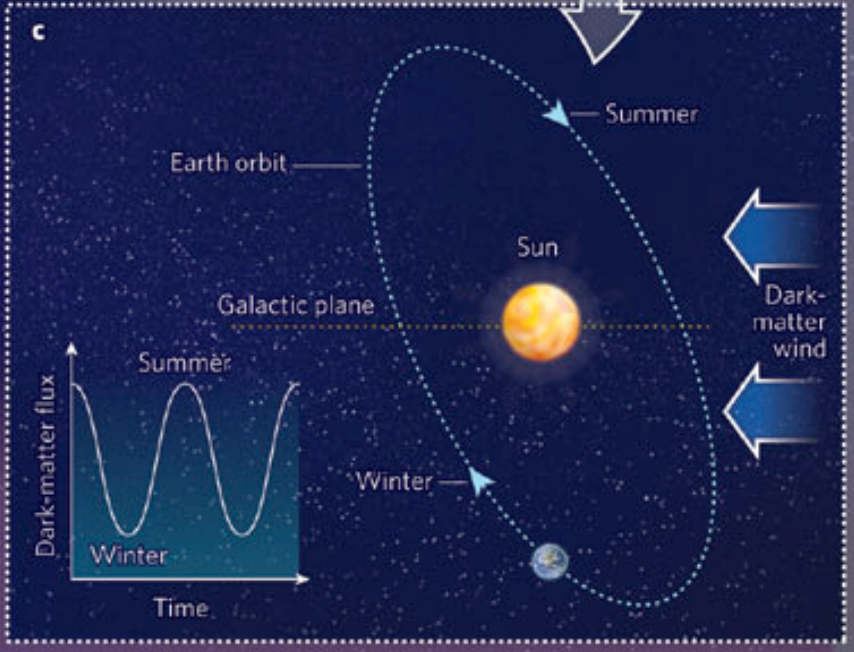
a



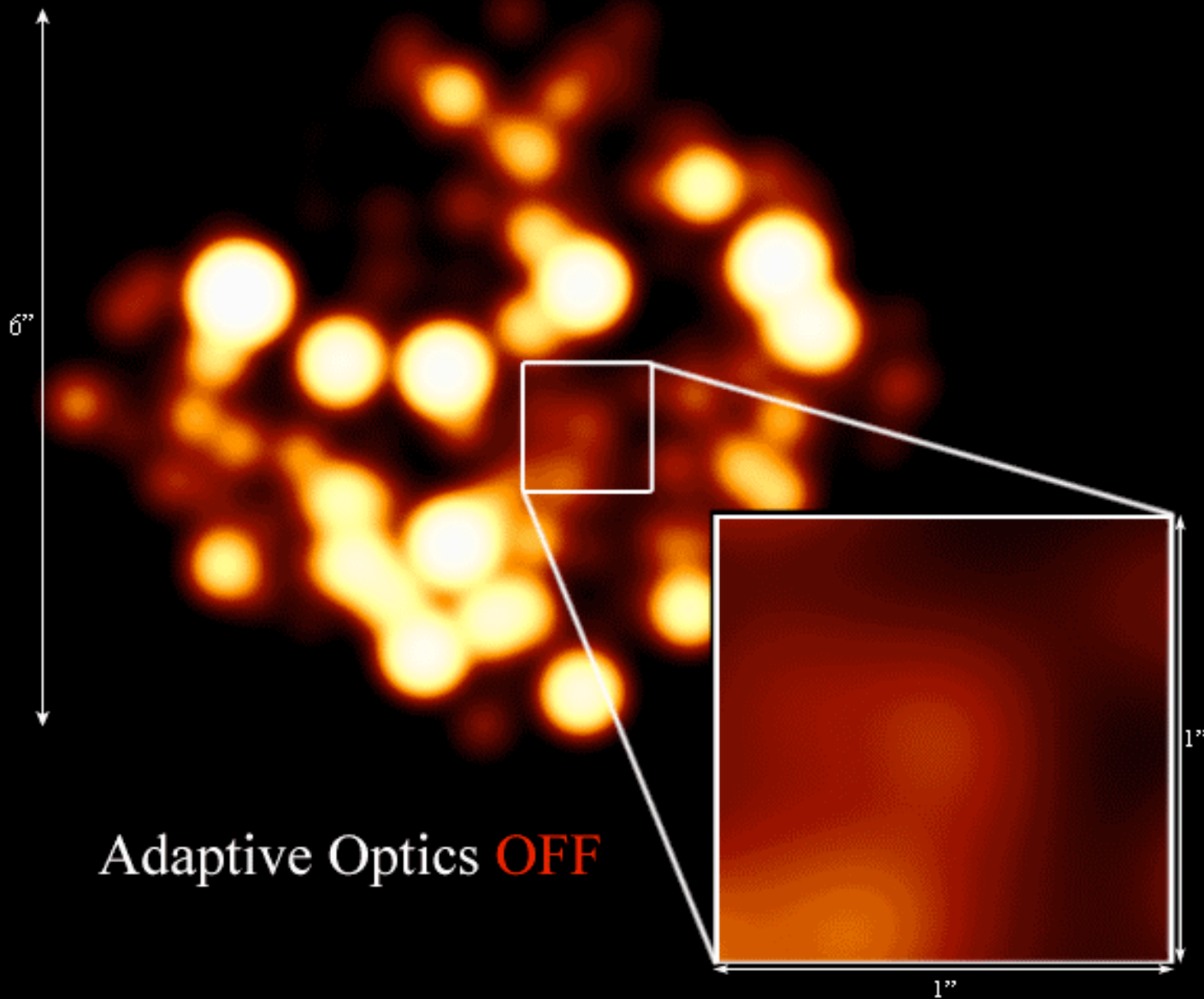
b



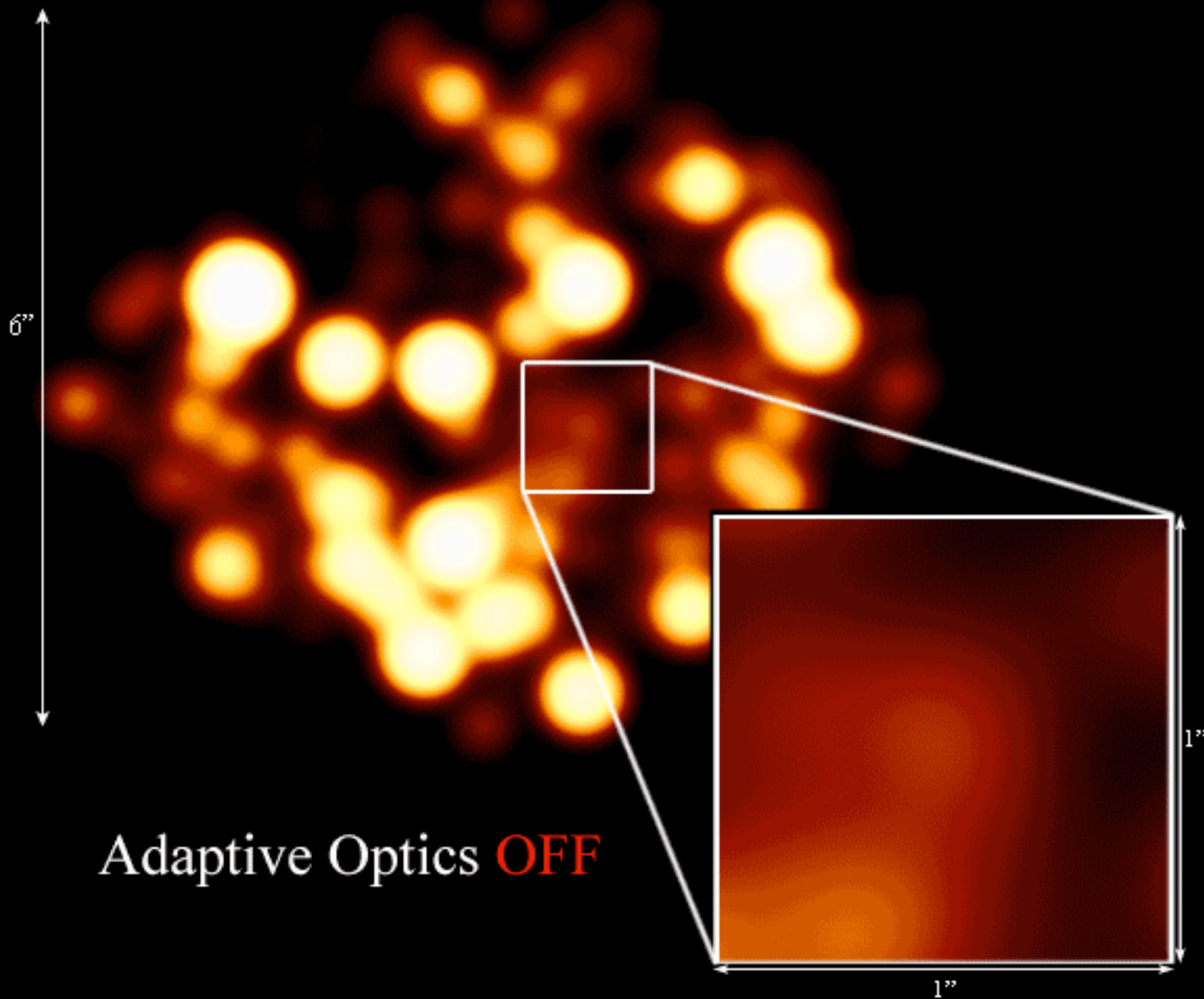
c



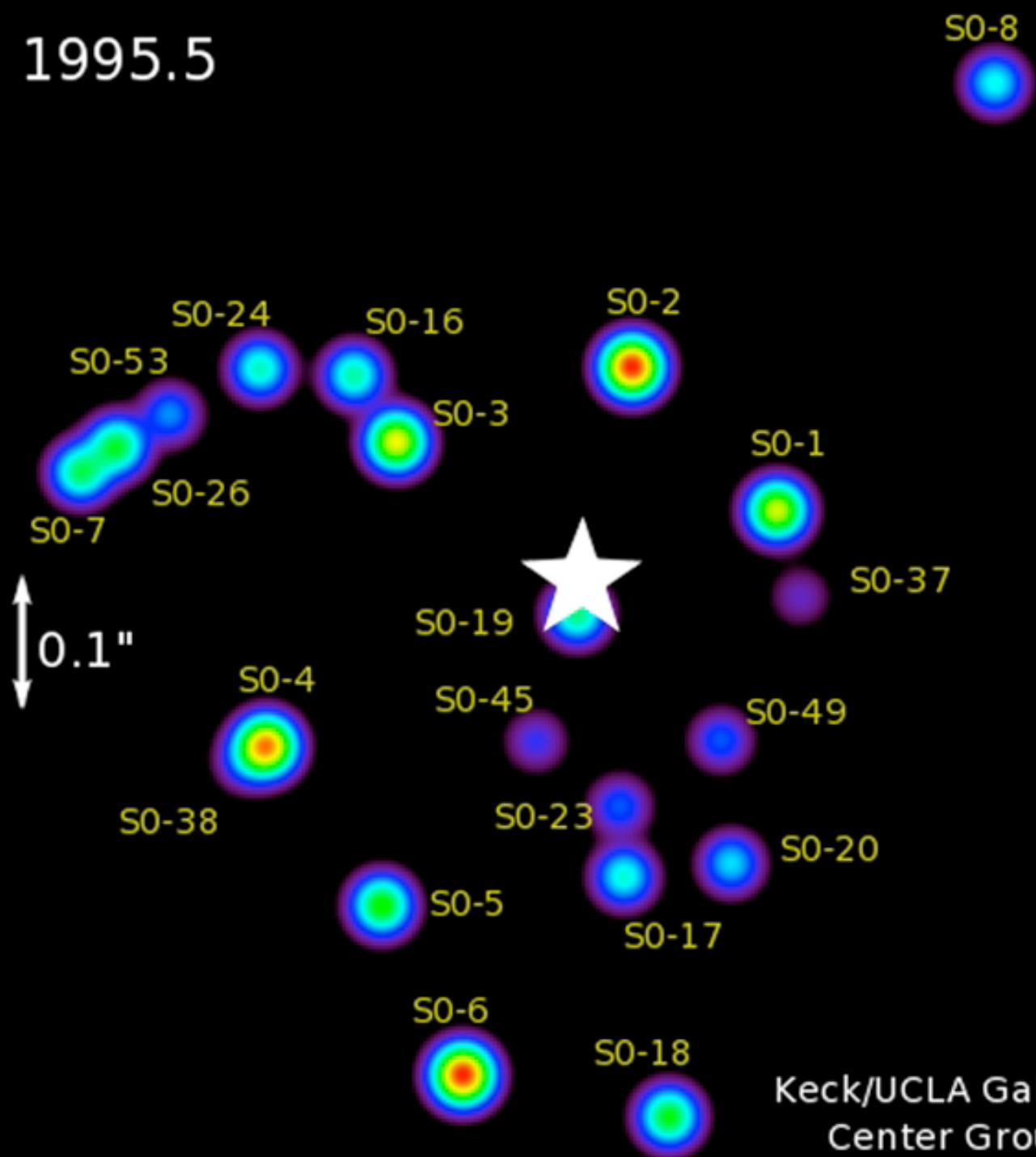
The Galactic Center at 2.2 microns



The Galactic Center at 2.2 microns



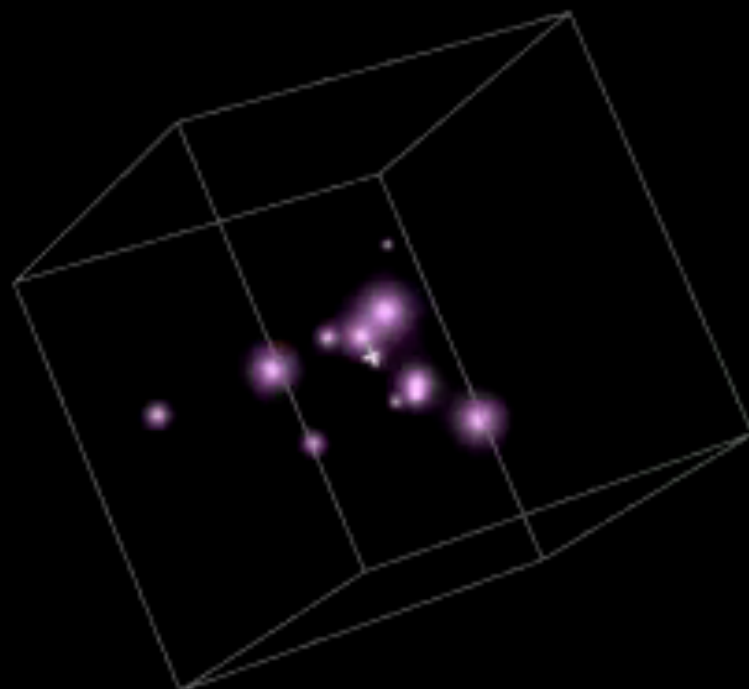
1995.5



Keck/UCLA Galactic Center Group

Year: 1995.0

The Acceleration of Stars Orbiting
the Milky Way's Central Black Hole



Data: Andrea Ghez, Jessica Lu (UCIA)
Visualization: Dinoj Surendran, Randy Landsberg,
Mark Subbarao (UChicago / Adler / KICP)



UCLA/Keck Galactic Center Group

E0



Elliptical galaxies

E4



E7



Spiral galaxies

Sa



Sb



Sc



Irregulars



Irr

SBa



SBb



Barred
Spiral galaxies

SBc



Elliptical (E) galaxies

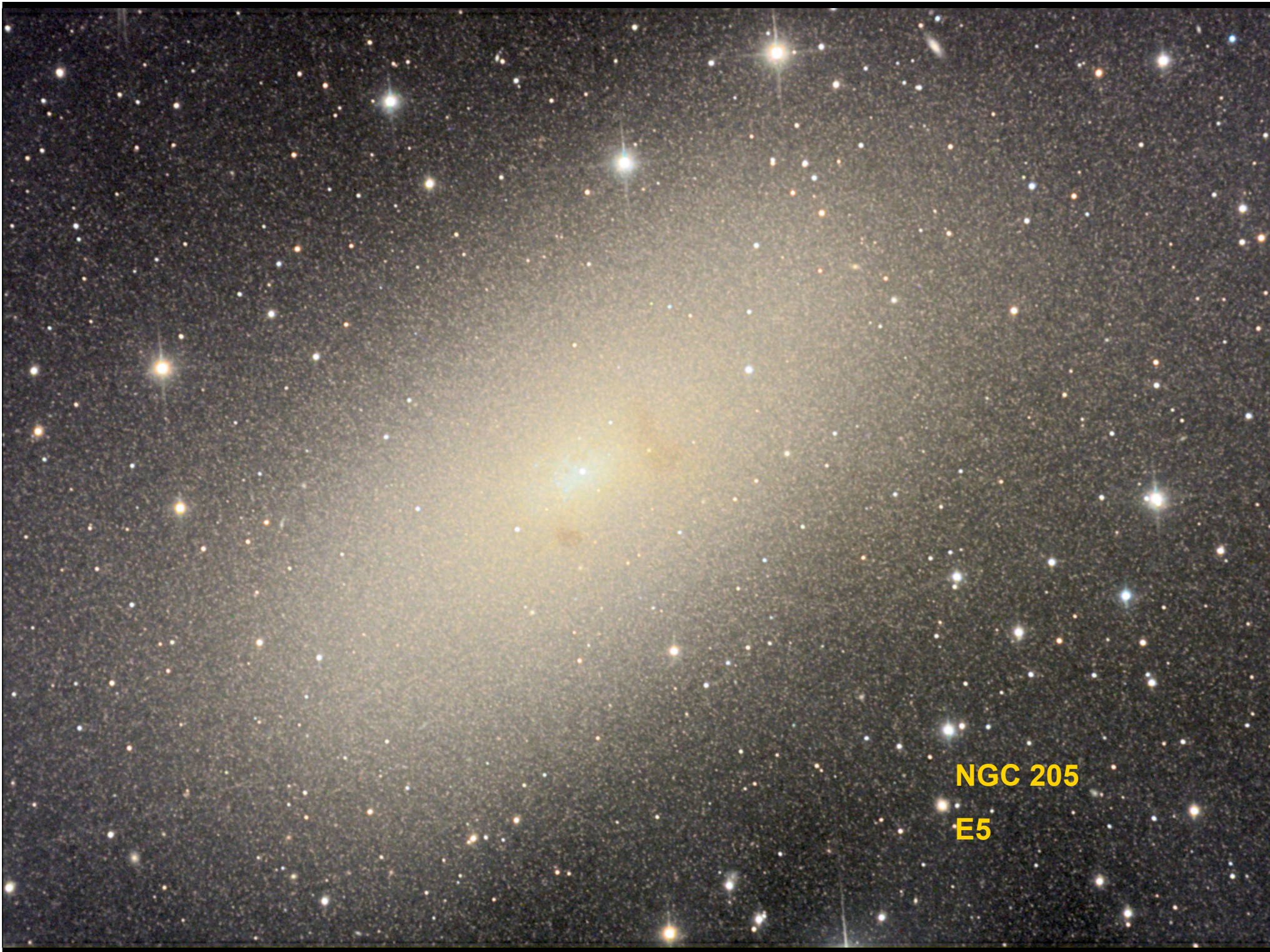


M87



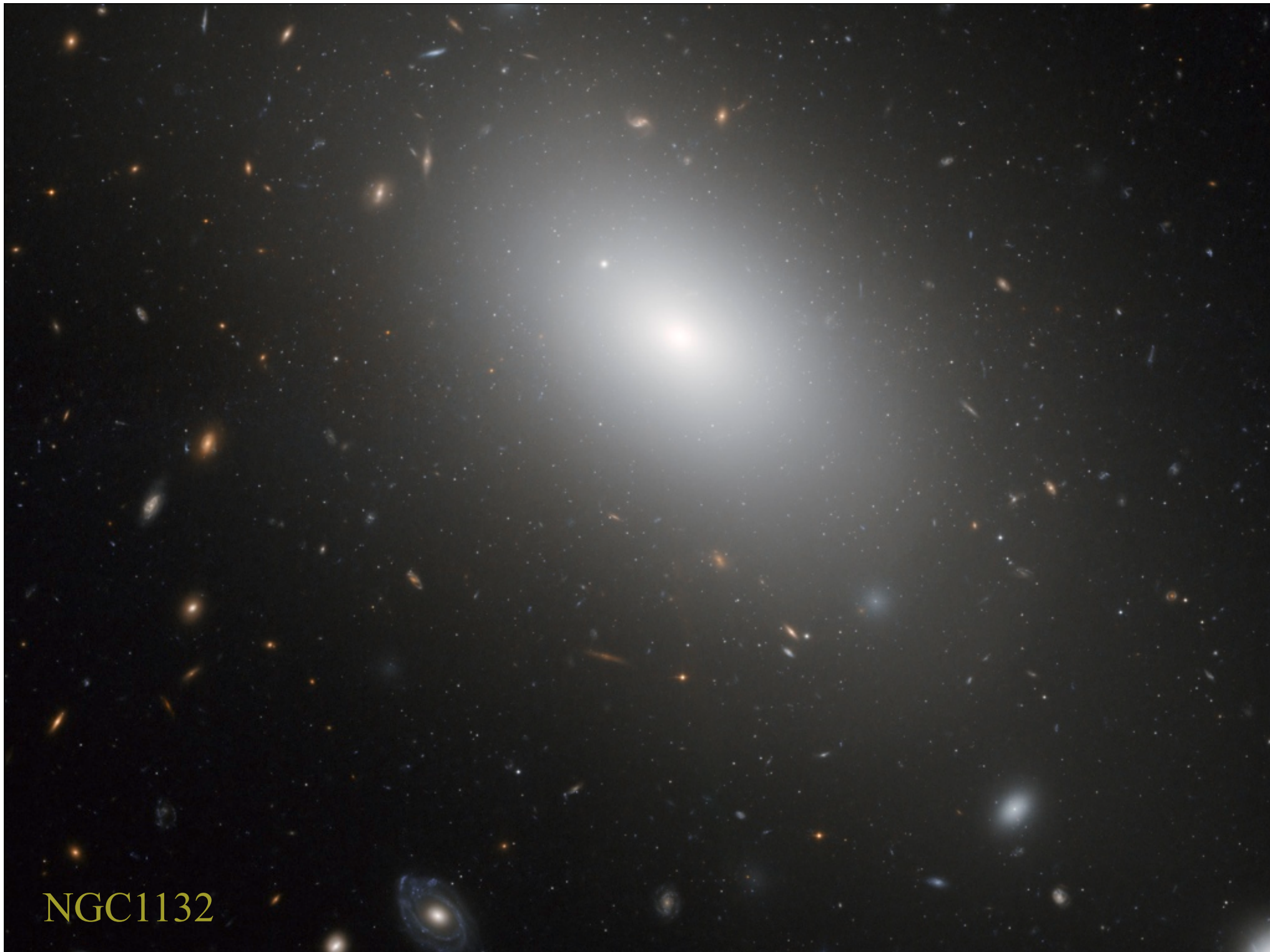
M87 (SDSS color scheme)

E1



NGC 205

E5



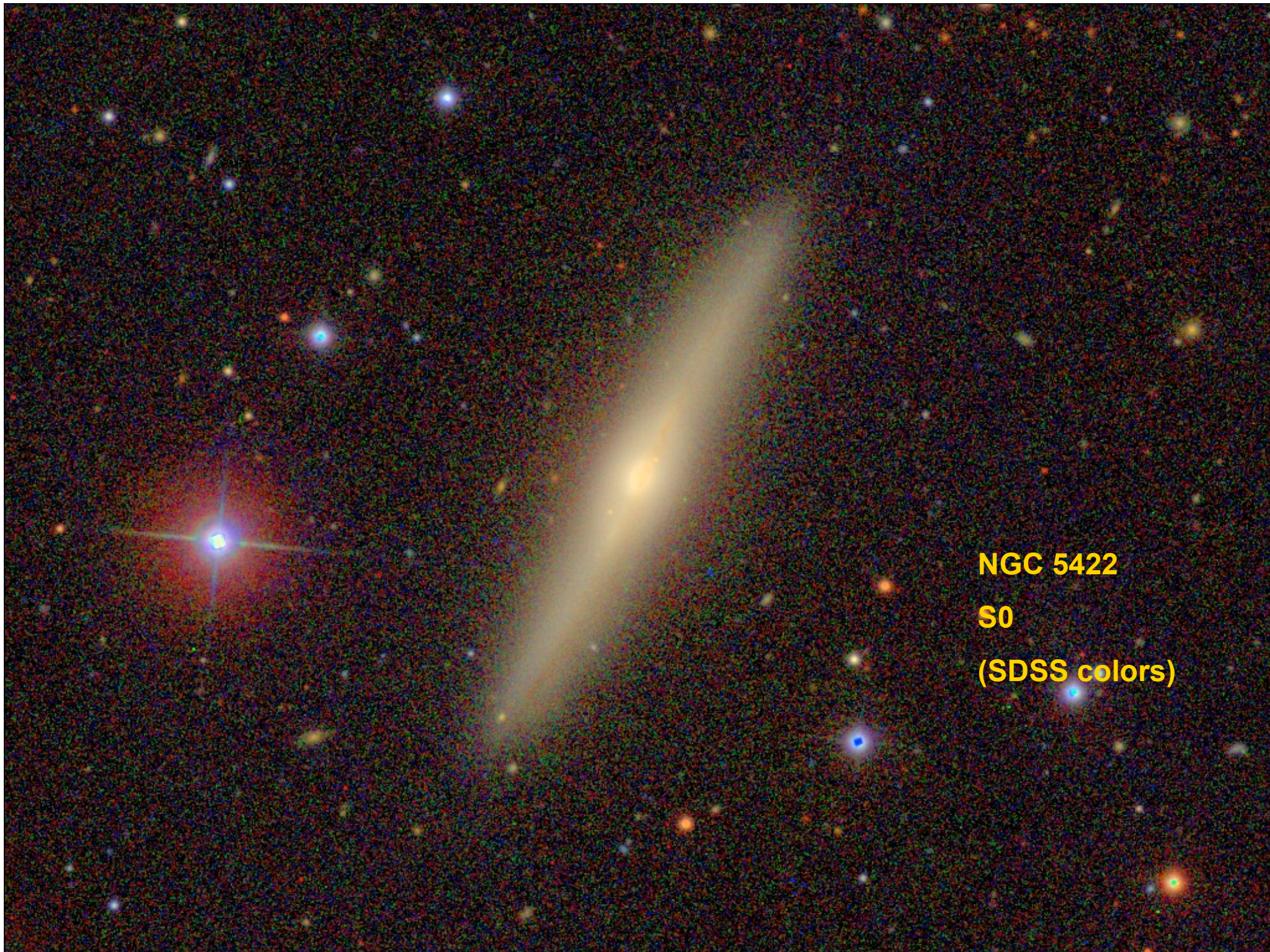
NGC1132

Lenticular (S0) galaxies

Edge-On Lenticular Galaxy NGC 5866



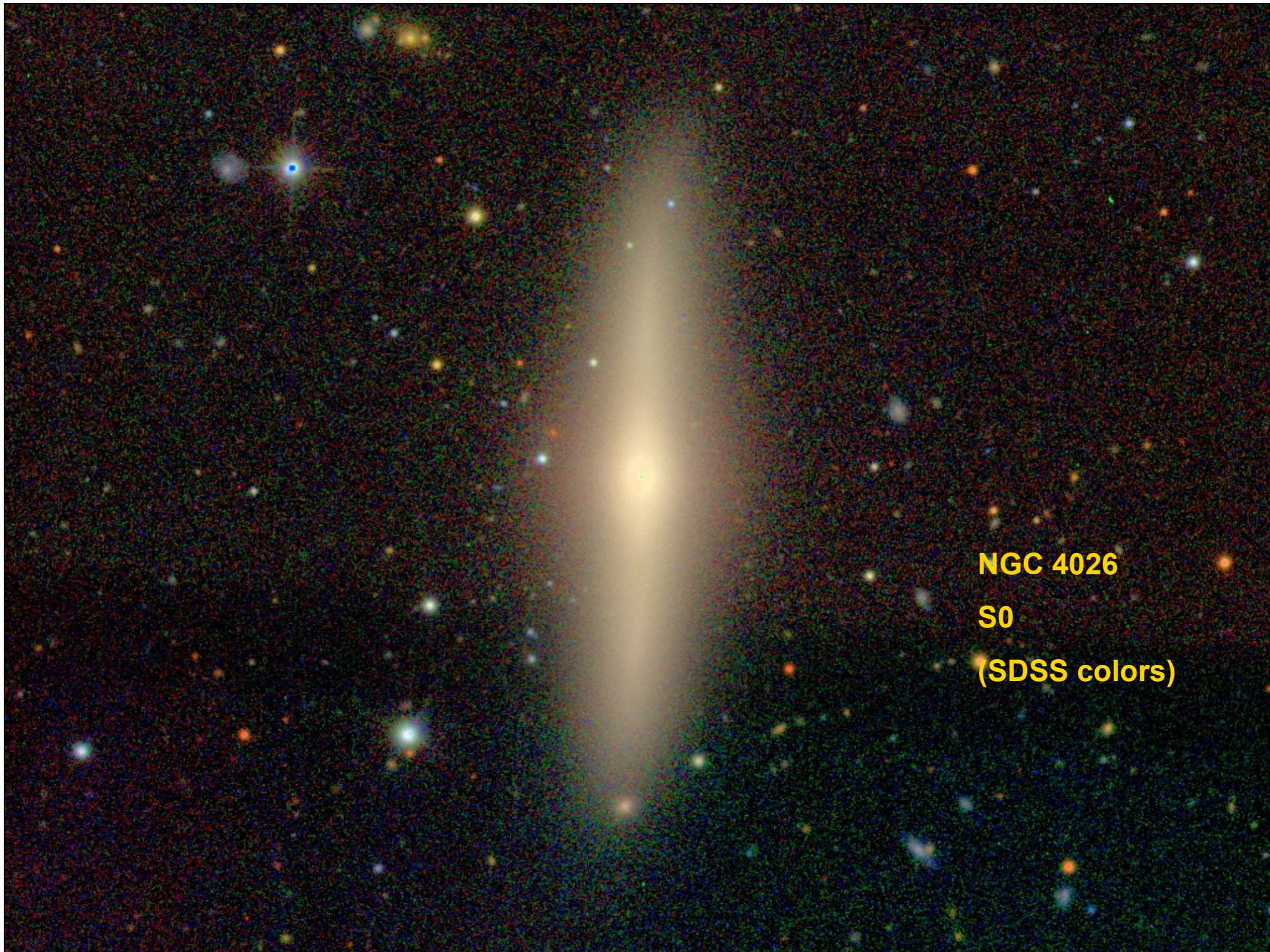
Hubble
Heritage



NGC 5422

S0

(SDSS colors)



NGC 4026

S0

(SDSS colors)



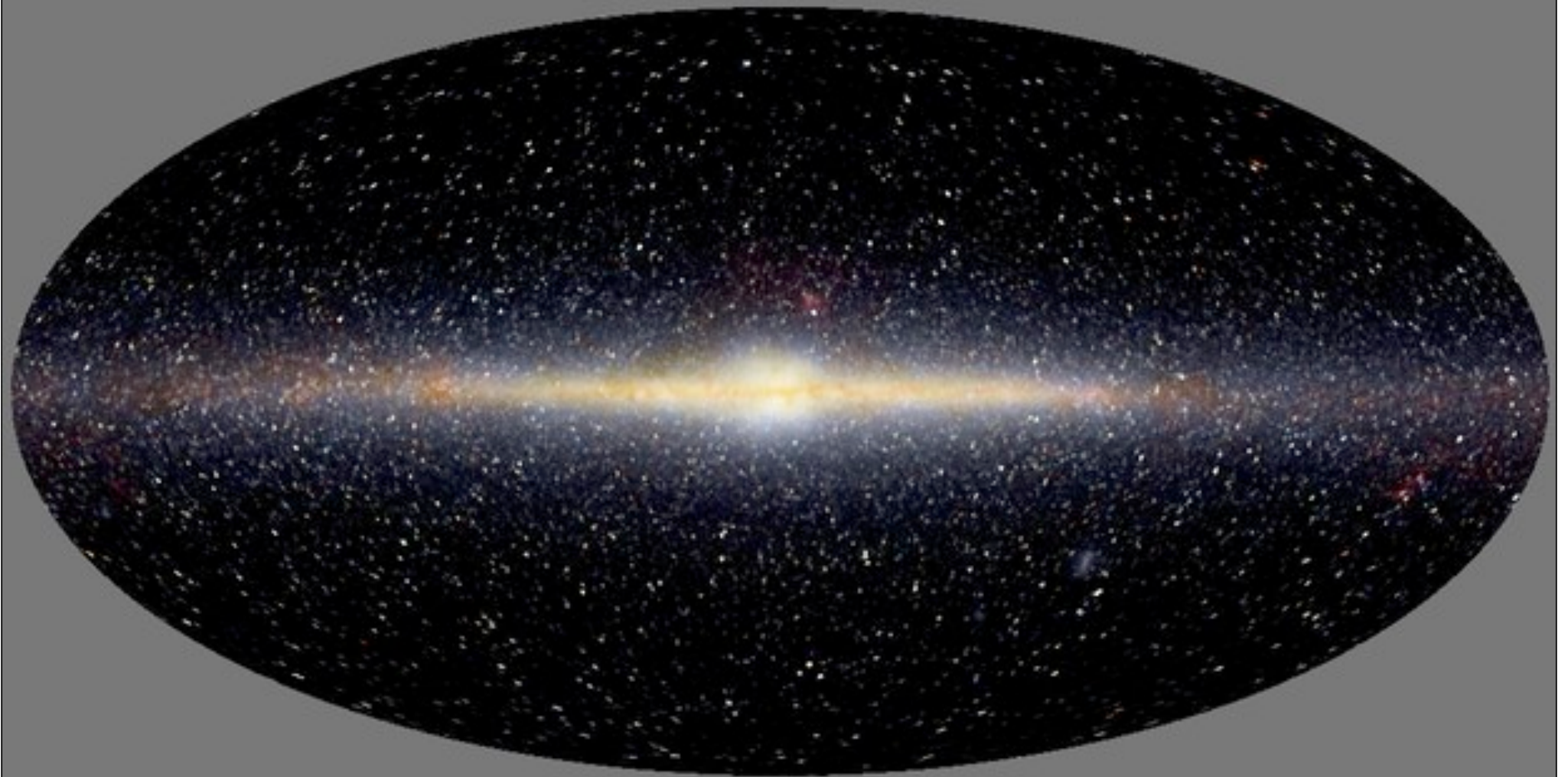
M104

Spiral galaxies



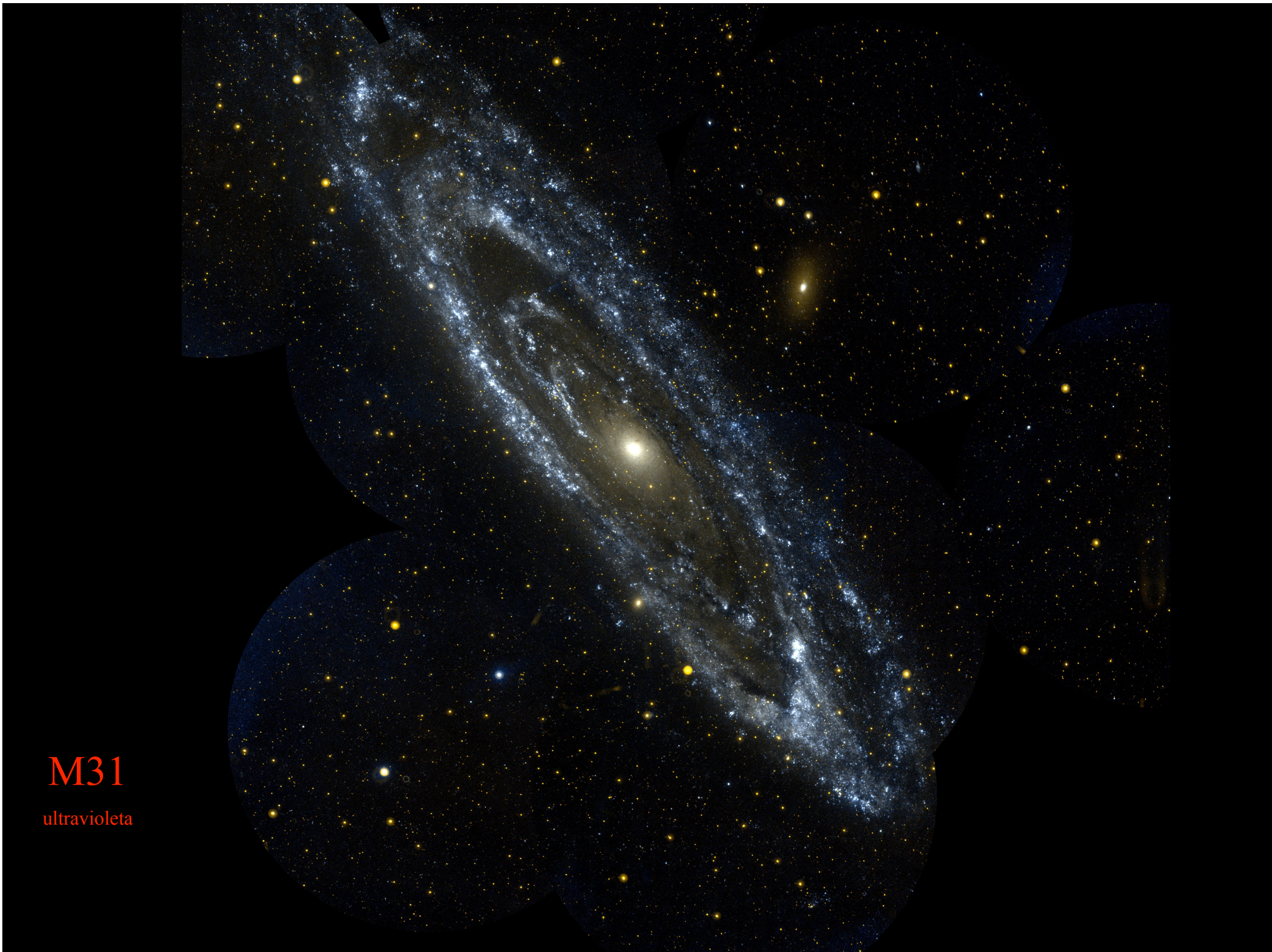


NGC 1300



Milky Way

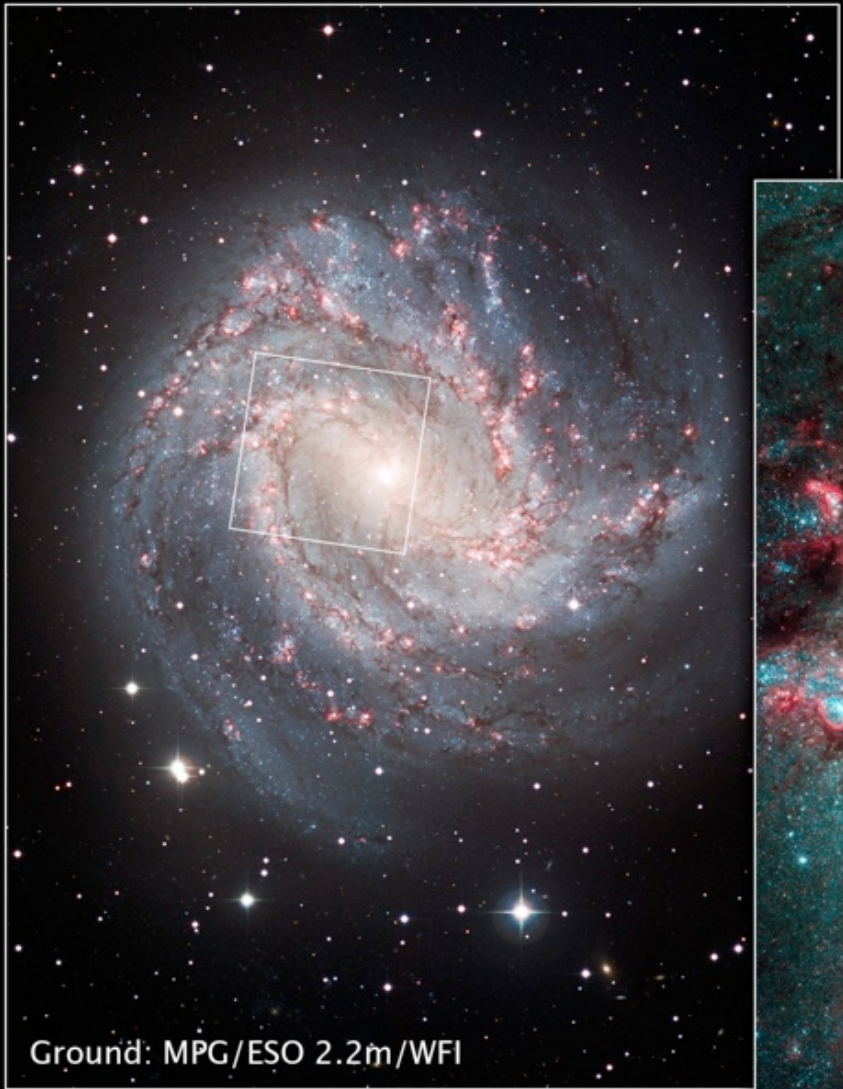




M31
ultravioleta



M51



Ground: MPG/ESO 2.2m/WFI



HST WFC3/UVIS

Spiral Galaxy M83
Hubble Space Telescope ■ WFC3/UVIS







Irregular galaxies



**Magellanic
clouds**

A wide-field astronomical image of the Large Magellanic Cloud, showing a dense field of stars and interstellar dust. The central region is particularly bright and contains many red stars. The overall appearance is that of a large, irregularly shaped galaxy system.

Large Magellanic Cloud

Irr

© Anglo-Australian Obs./Royal Obs. Edinburgh

Small Magellanic Cloud

Irr

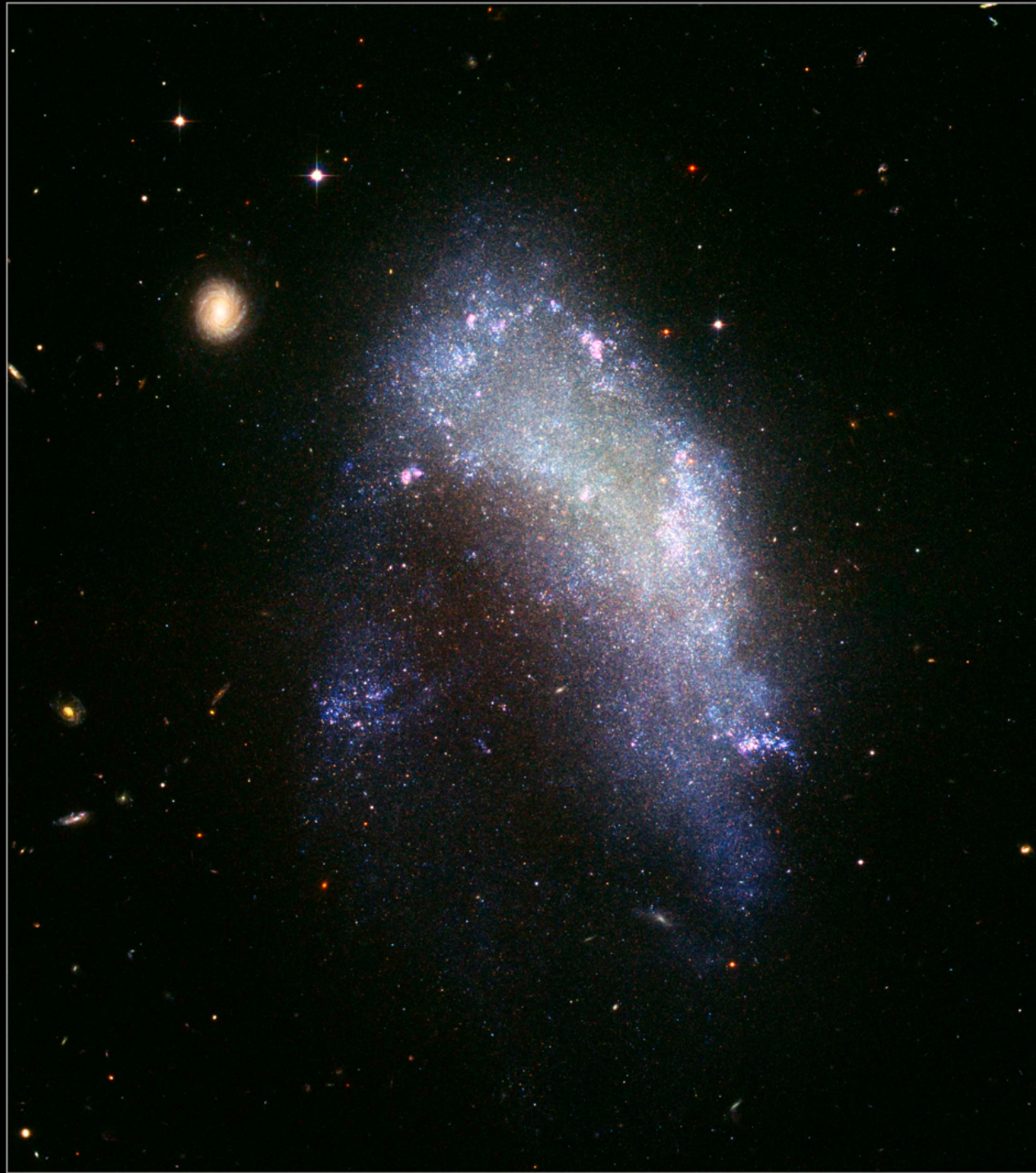
© Anglo-Australian Obs./Royal Obs. Edinburgh





Blue Compact Dwarf Galaxy I Zwicky 18
Hubble Space Telescope • ACS • WFPC2

Dwarf Irregular Galaxy NGC 1427A





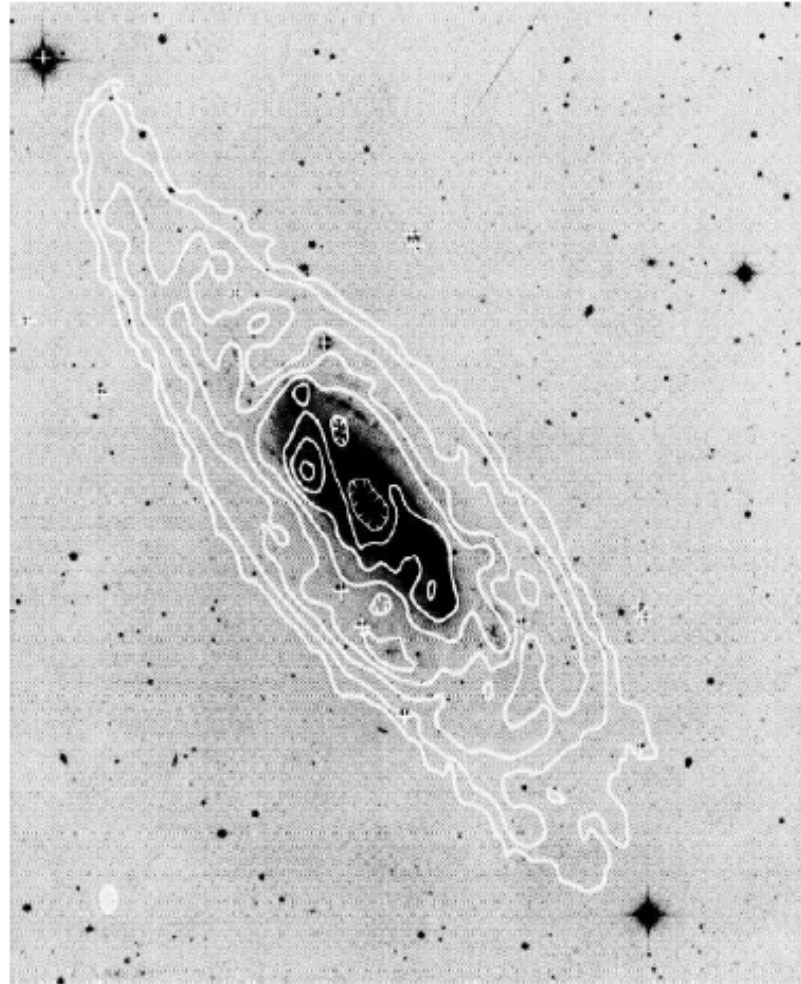
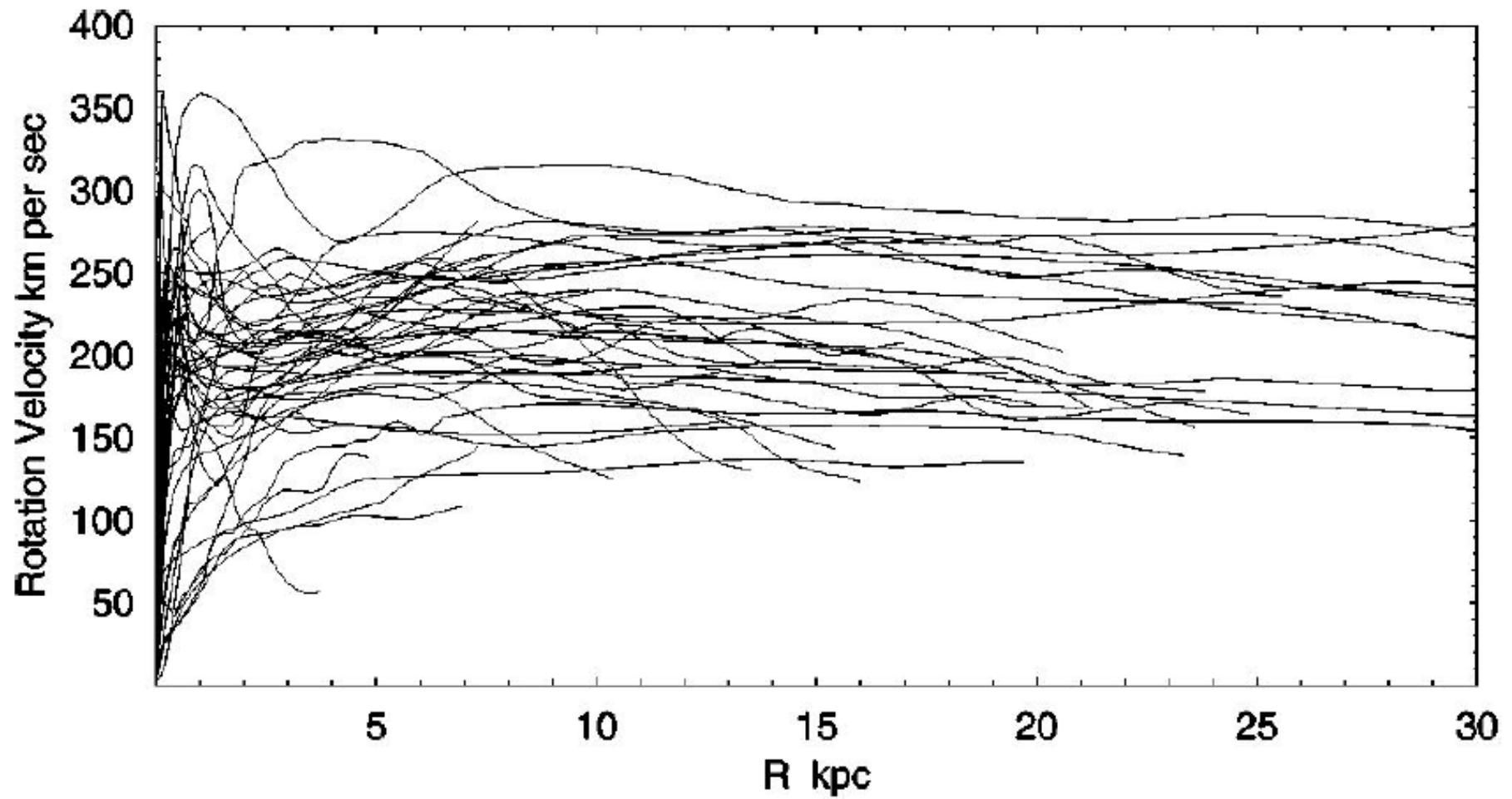
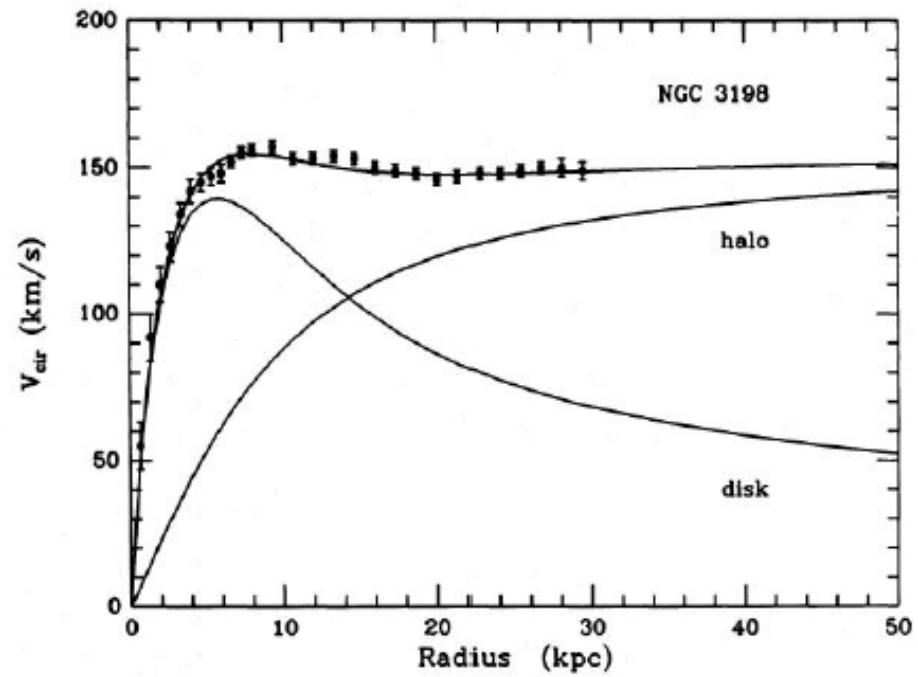


Fig. 2.— optical image and neutral hydrogen (HI) map (contours) for NGC 3198. Notice that the HI distribution is much more extended.



Curvas de rotación para muchas galaxias espirales



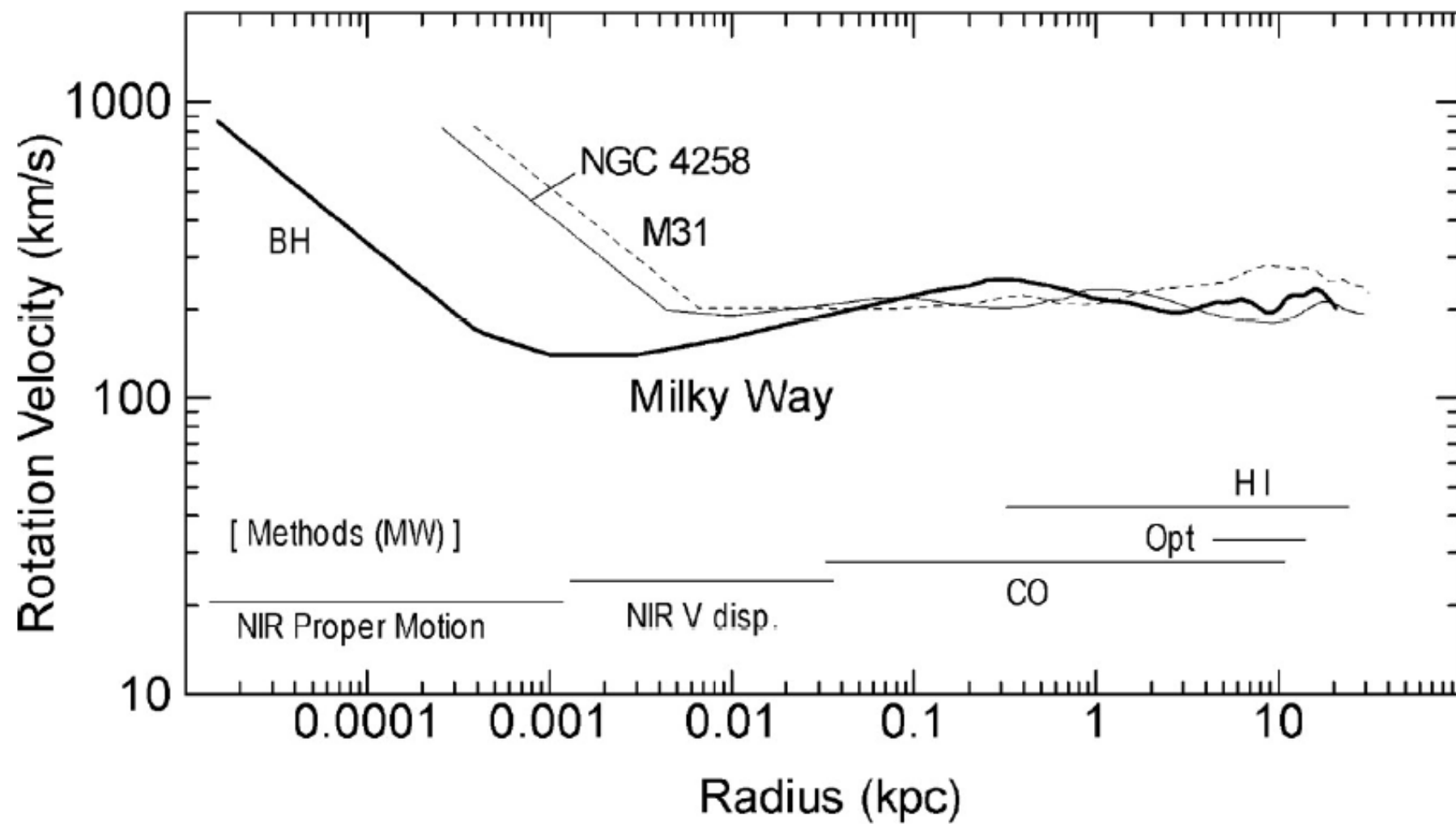
Curva de rotación para NGC3198

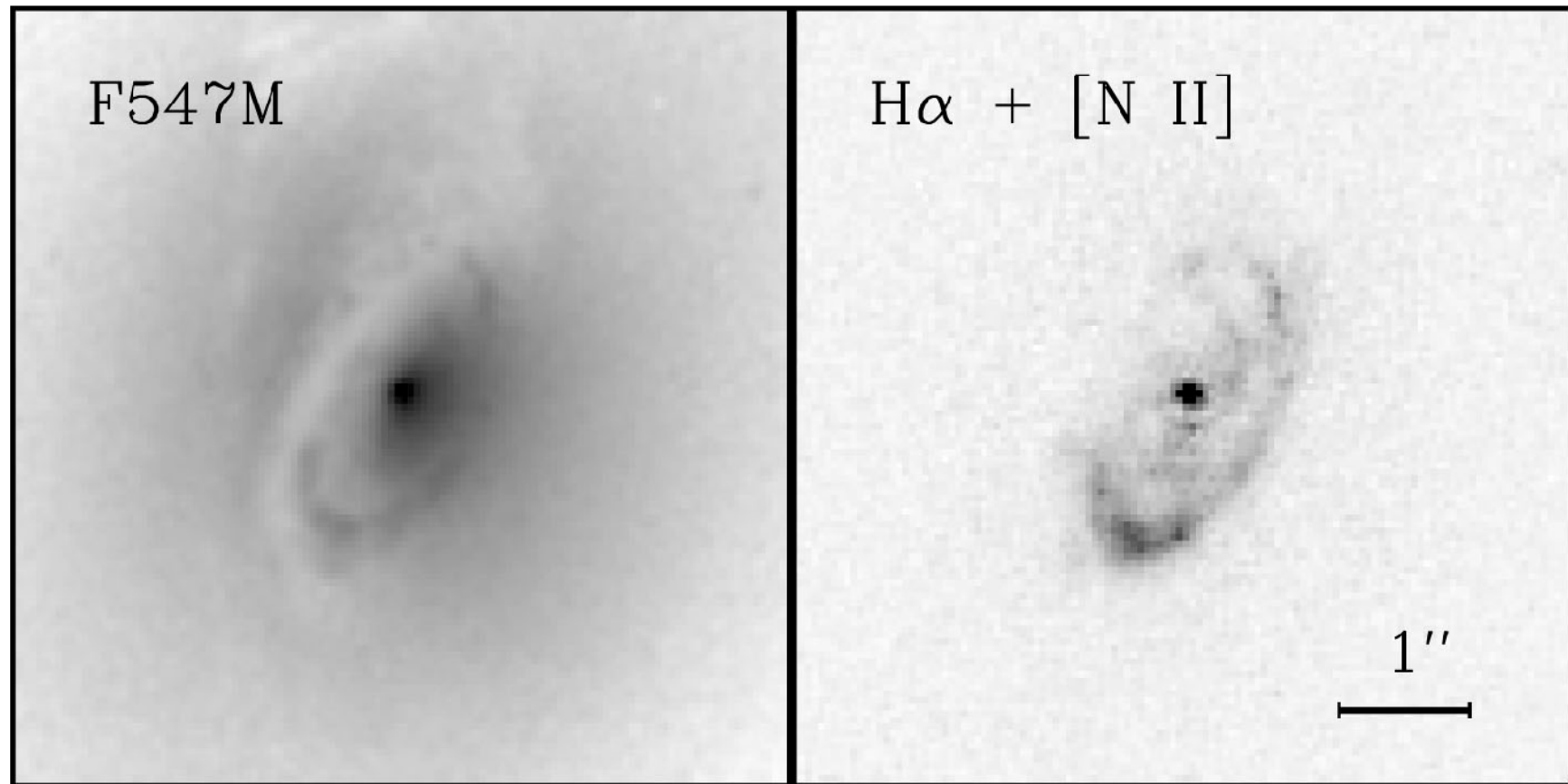
1992

10 light days



Agujero negro central





Disco de polvo y gas ionizado observado con el HST en la galaxia S0 NGC 3245 ($1'' = 100\text{pc}$)

Observaciones de H₂O masers (emisión maser de vapor de agua a $\lambda=1.35\text{cm}$)



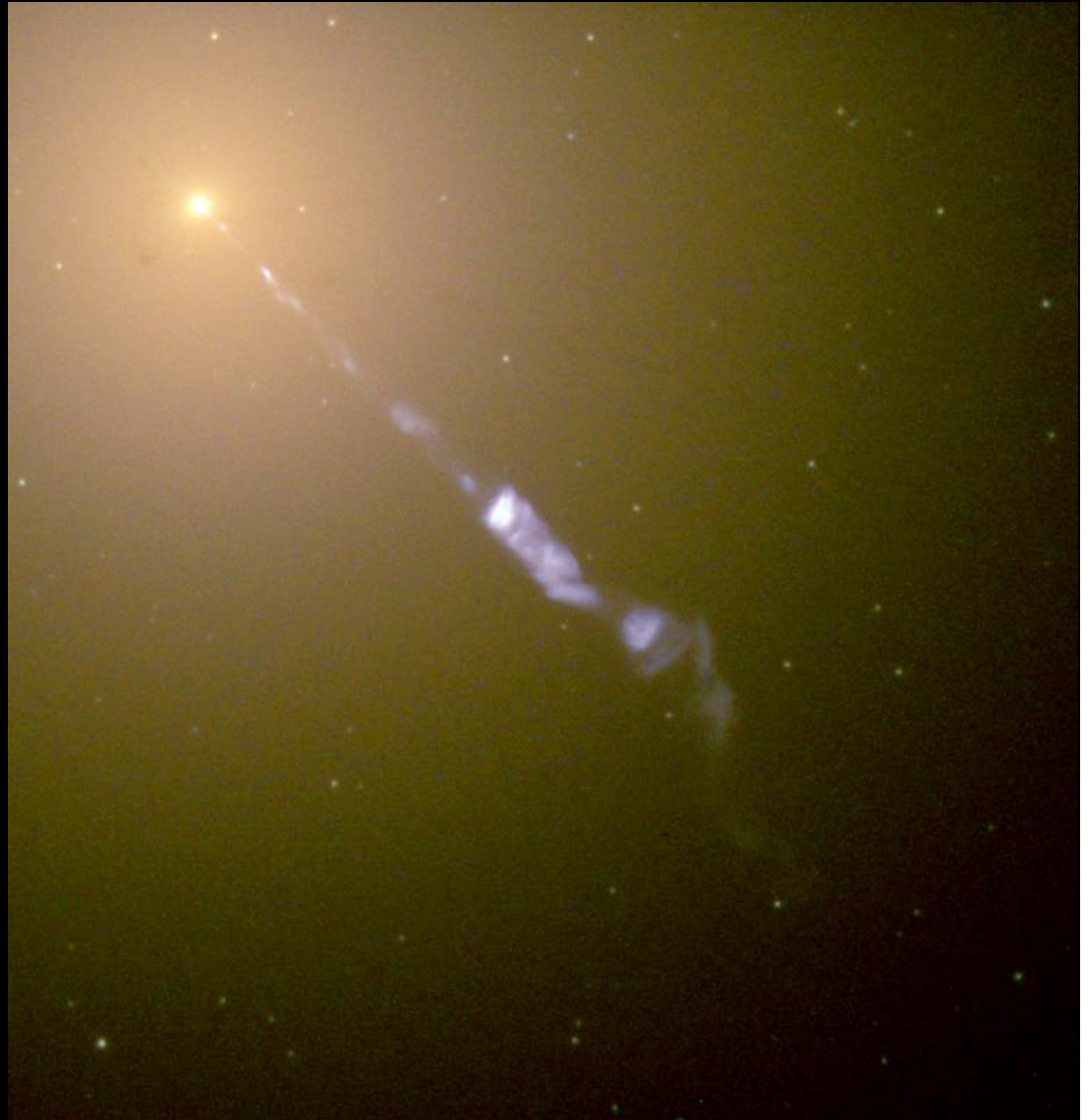
Órbita kepleriana hasta
0.14pc (3.9mas)

$$M_{\text{BH}} = 3.9 \times 10^7 M$$

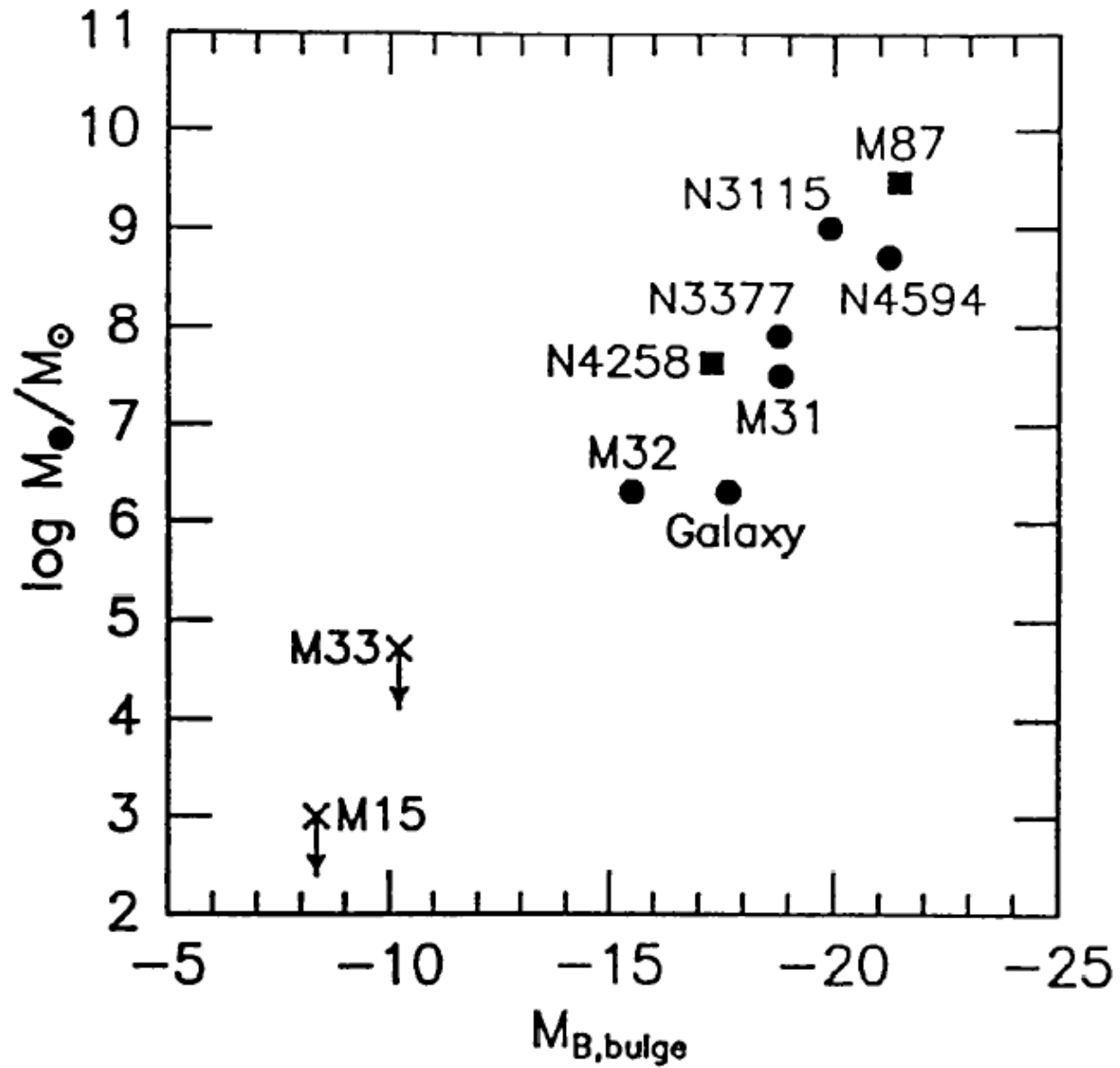
Miyoshi et al. (1995)

[NGC 4258](#)

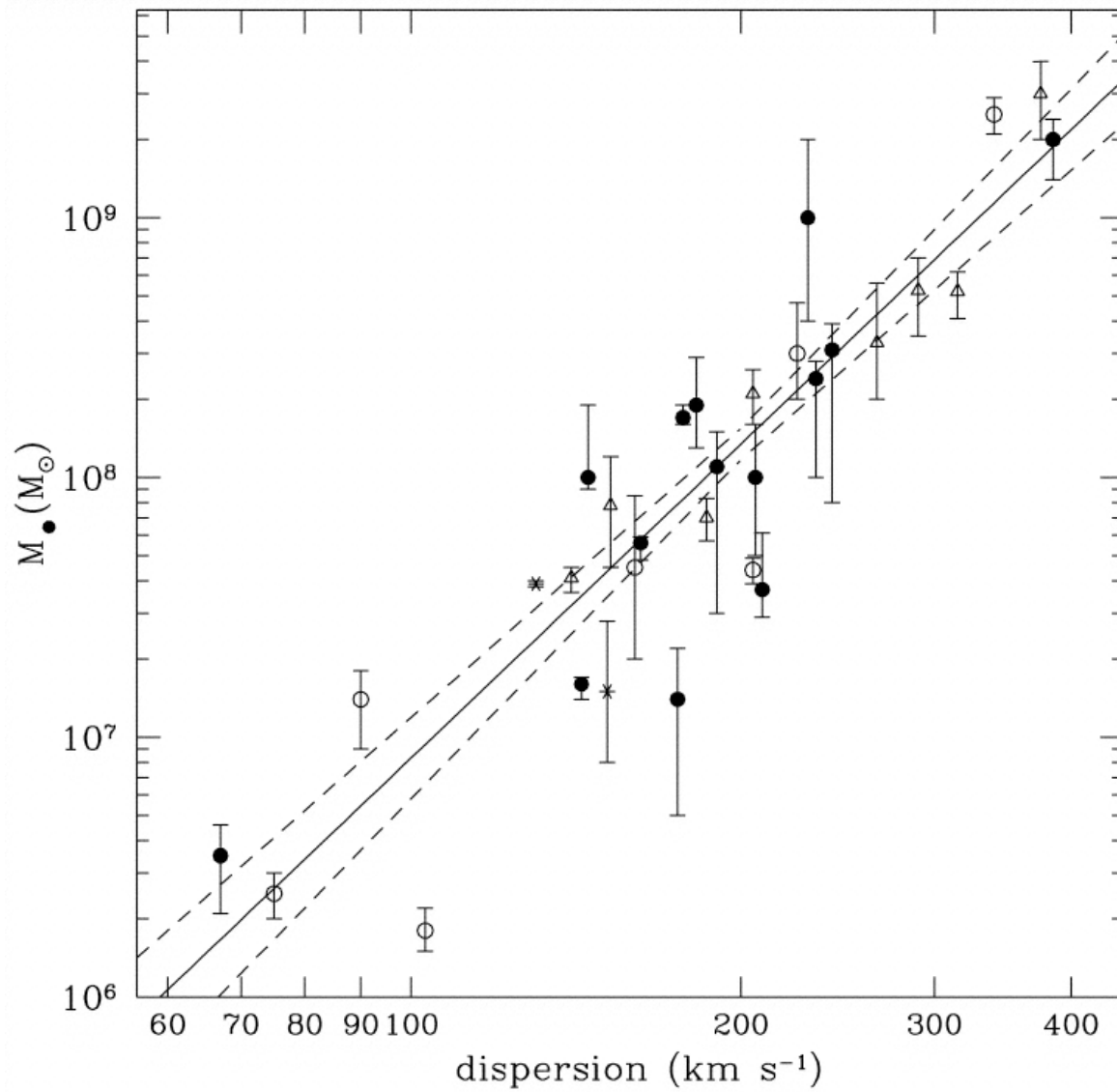
M87



$$M_{BH} = (2.4 \pm 0.7) \times 10^9 M_{\odot}$$



•Kormendy, J., & Richstone, D. 1995, ARA&A



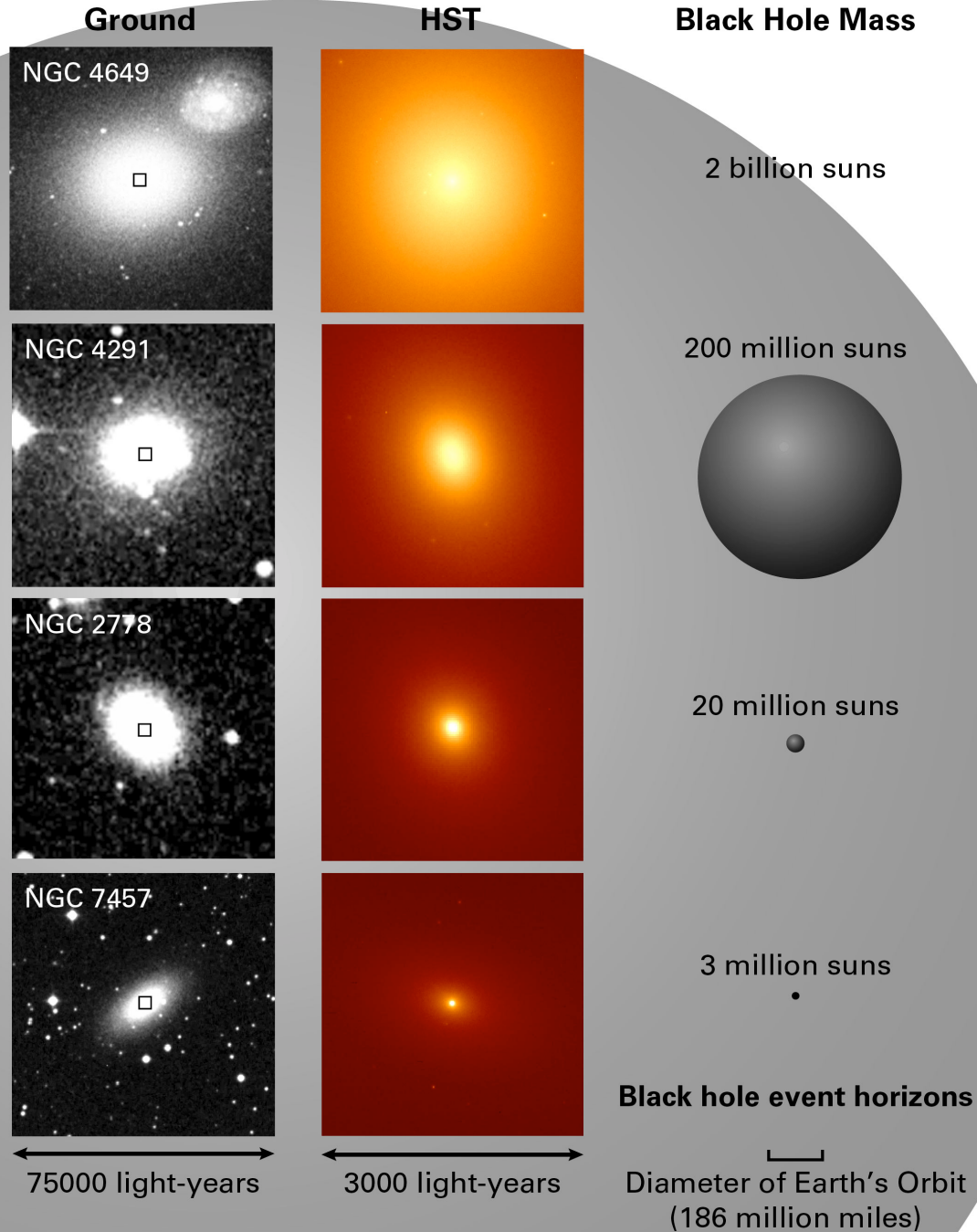
$$\log(M_{\text{BH}}/M_{\odot}) = \alpha + \beta \log(\sigma/\sigma_0)$$

($\sigma_0 = 200 \text{ km s}^{-1}$)

$$\alpha = 8.13 \pm 0.06, \quad \beta = 4.02 \pm 0.32$$

•Tremaine, S., et al. 2002, ApJ

Black Hole Mass Scales with Galaxy Size

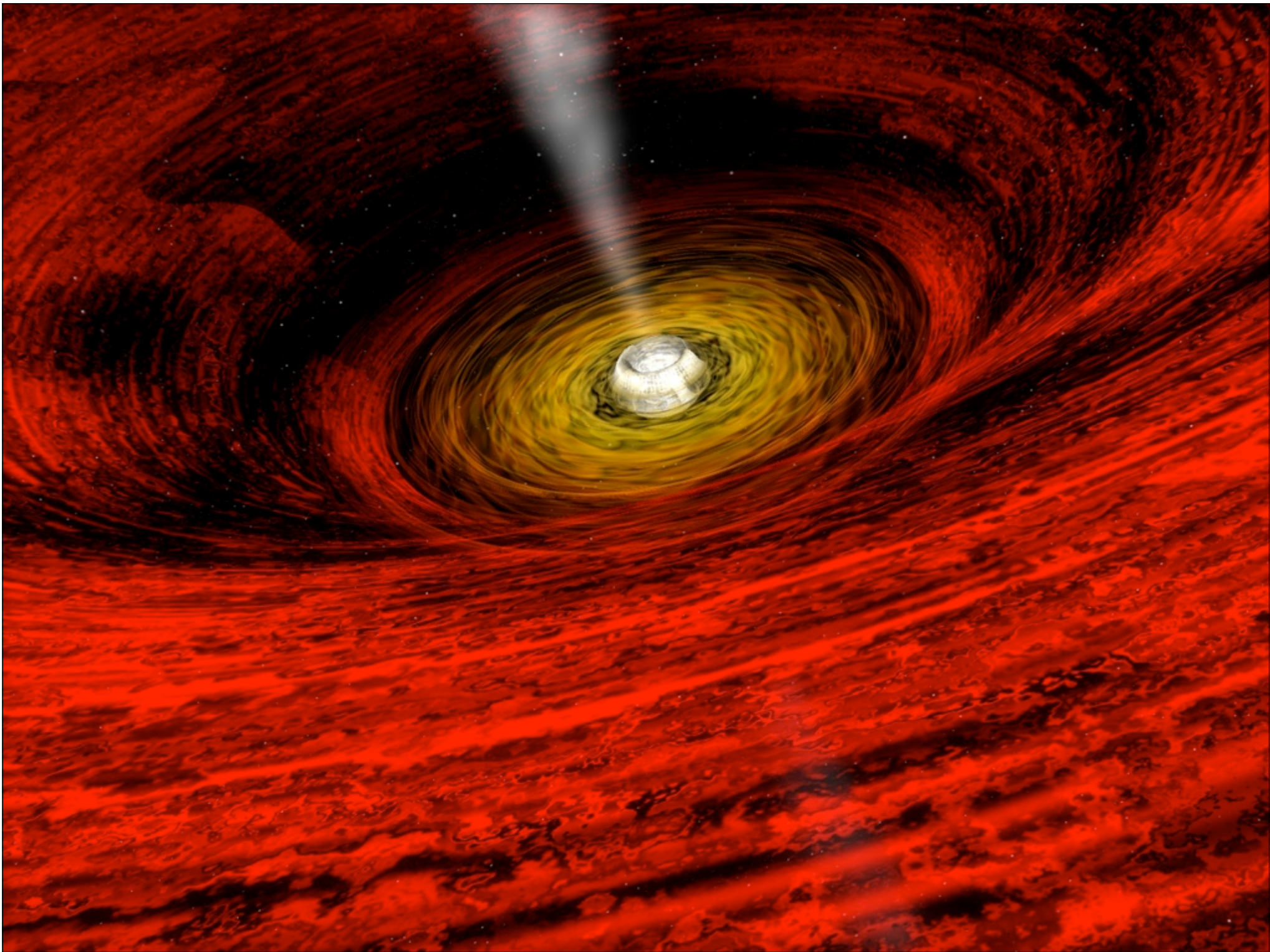


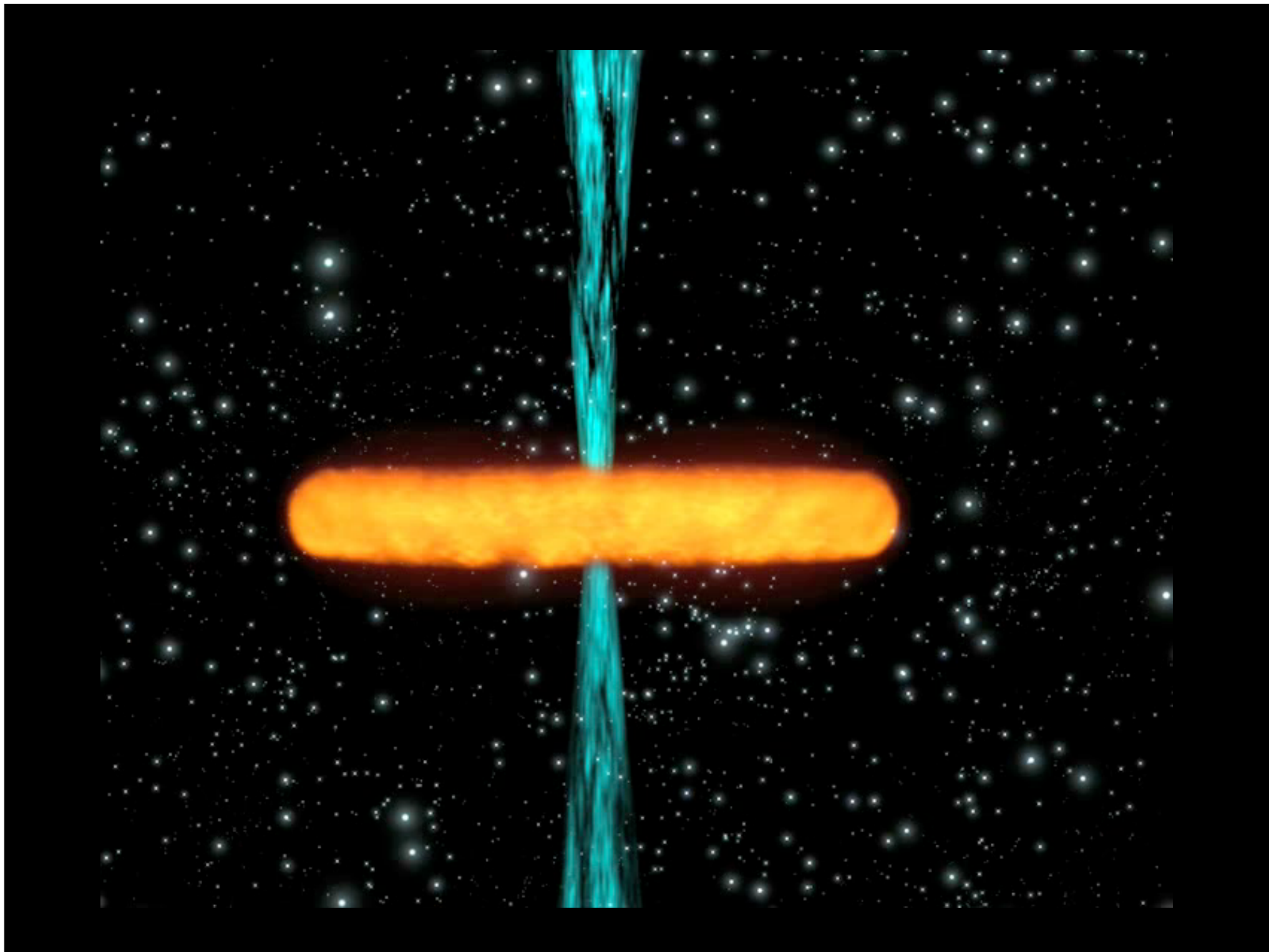
Galaxias activas y Cuásares

galaxia activa

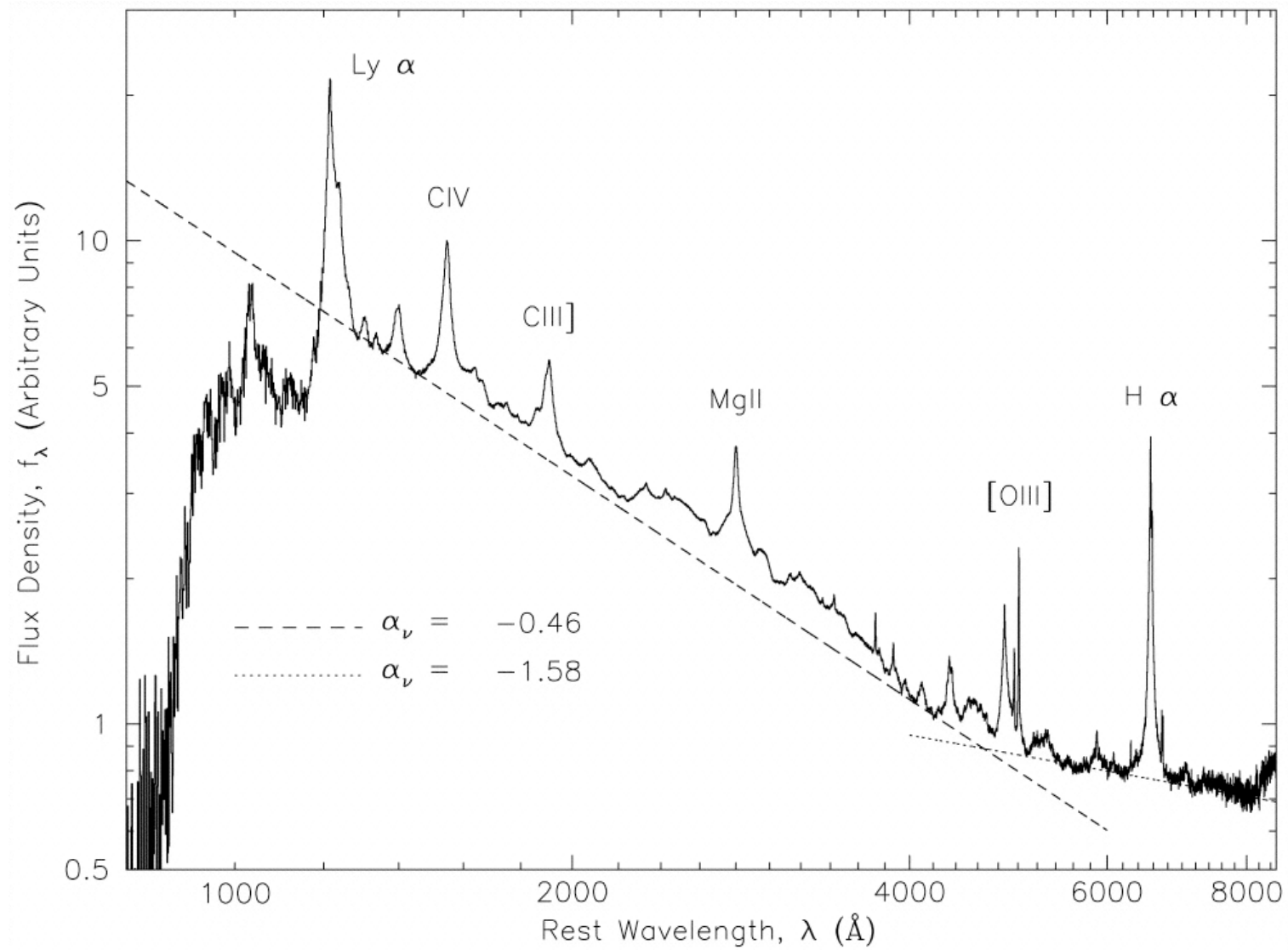


galaxia “normal” + núcleo activo (AGN)

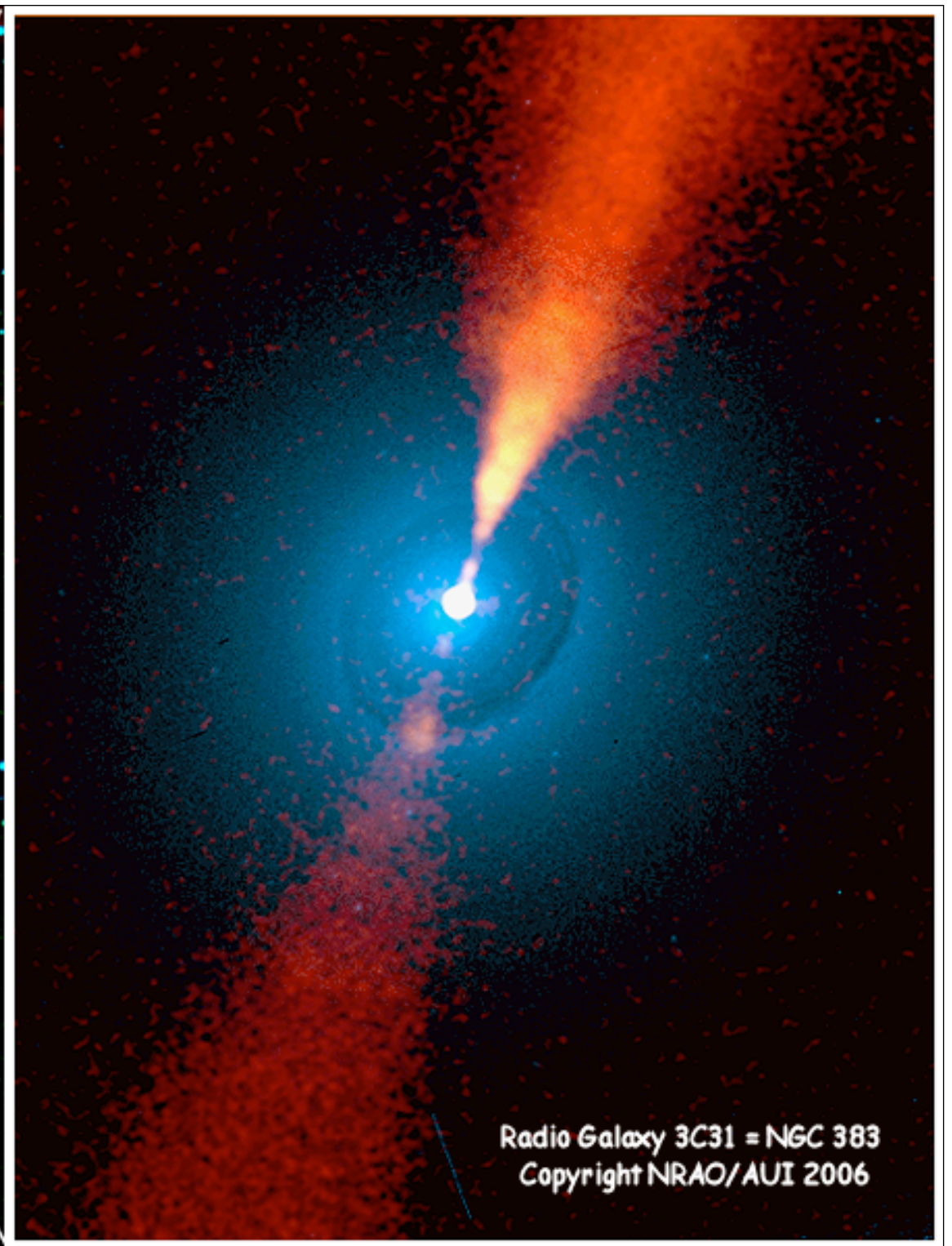
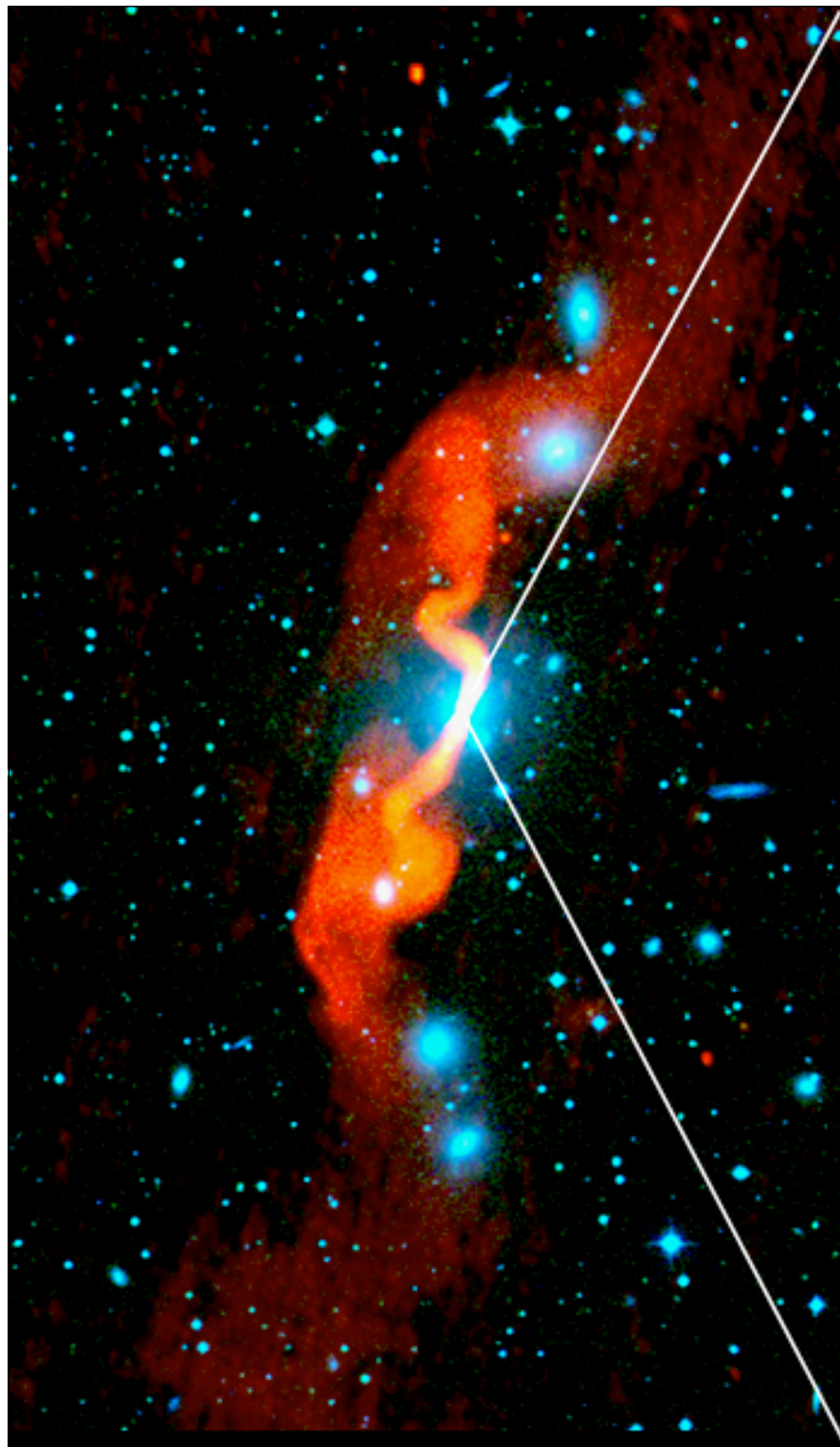




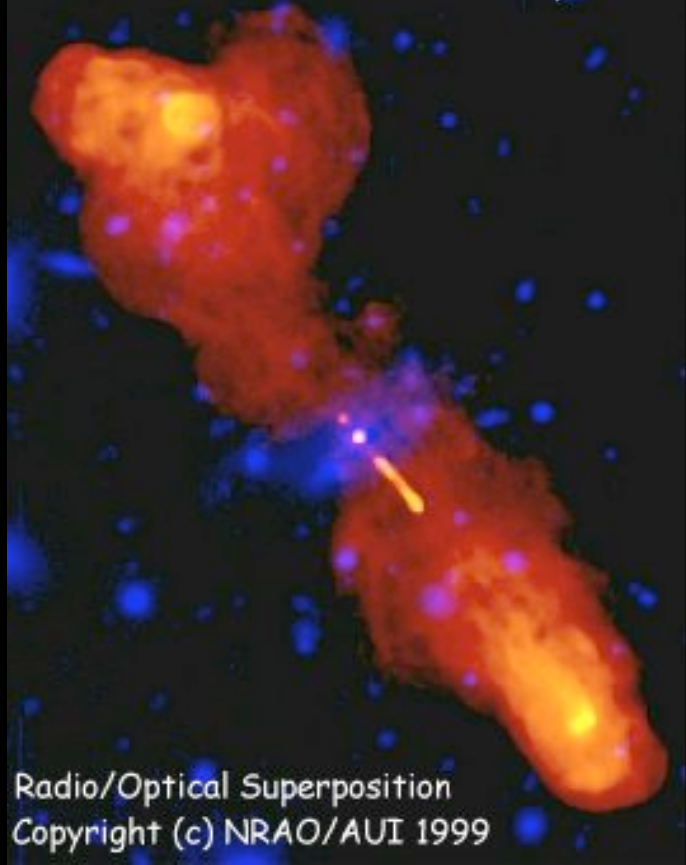
QSOs



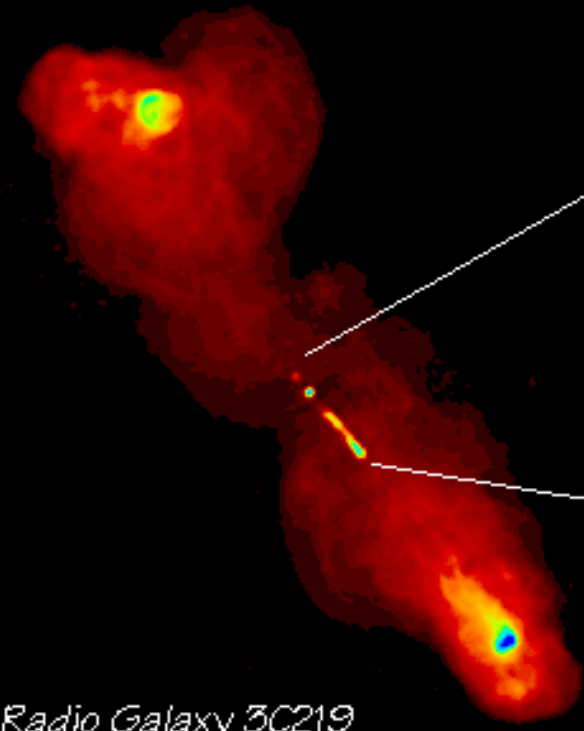
COMPOSITE QUASAR SPECTRA FROM THE SLOAN DIGITAL SKY SURVEY
Vanden Berk et al. ApJ 2001



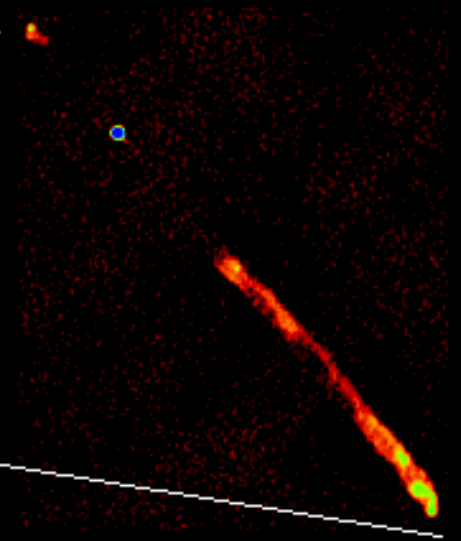
Radio Galaxy 3C219



Radio/Optical Superposition
Copyright (c) NRAO/AUI 1999

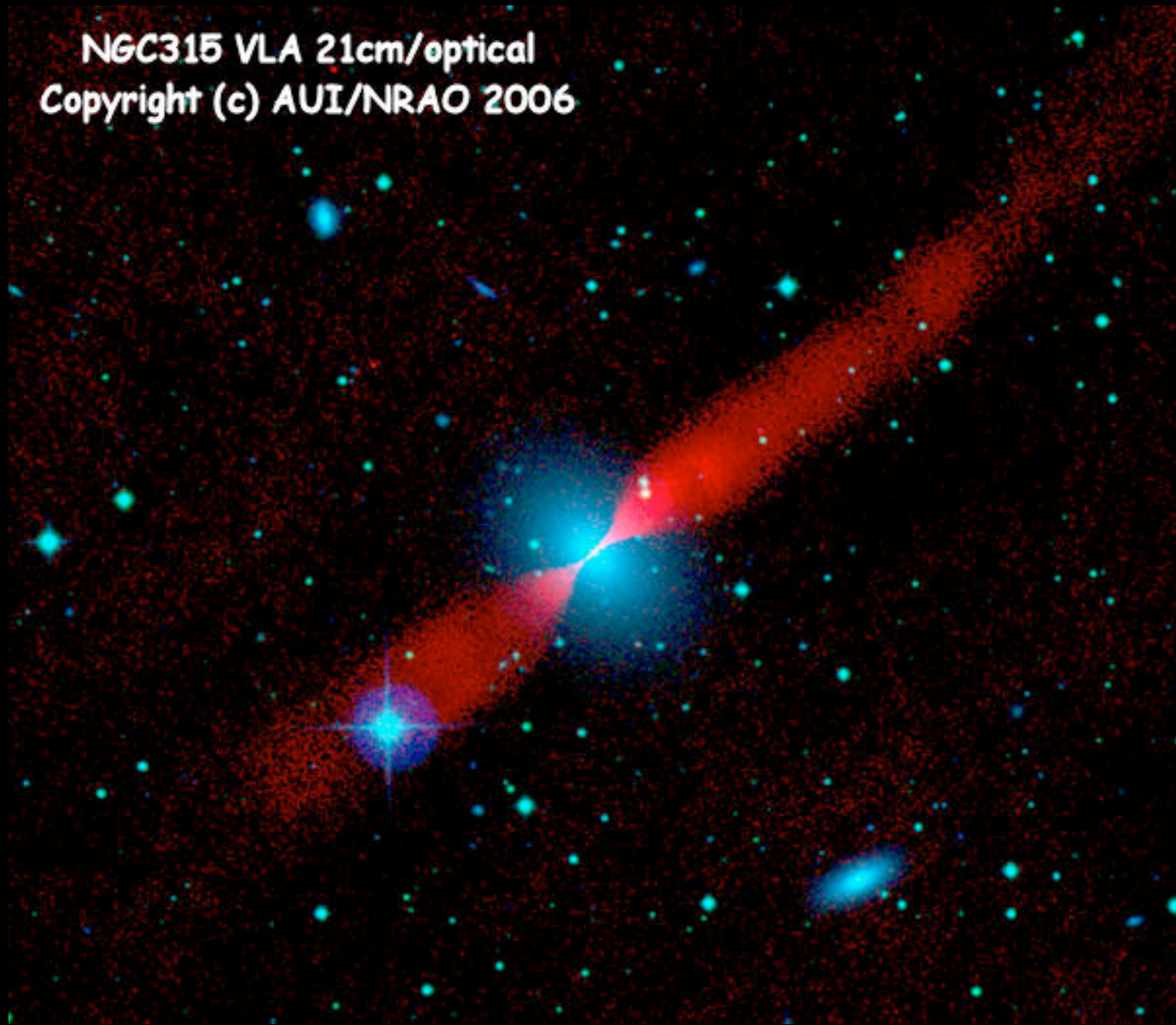


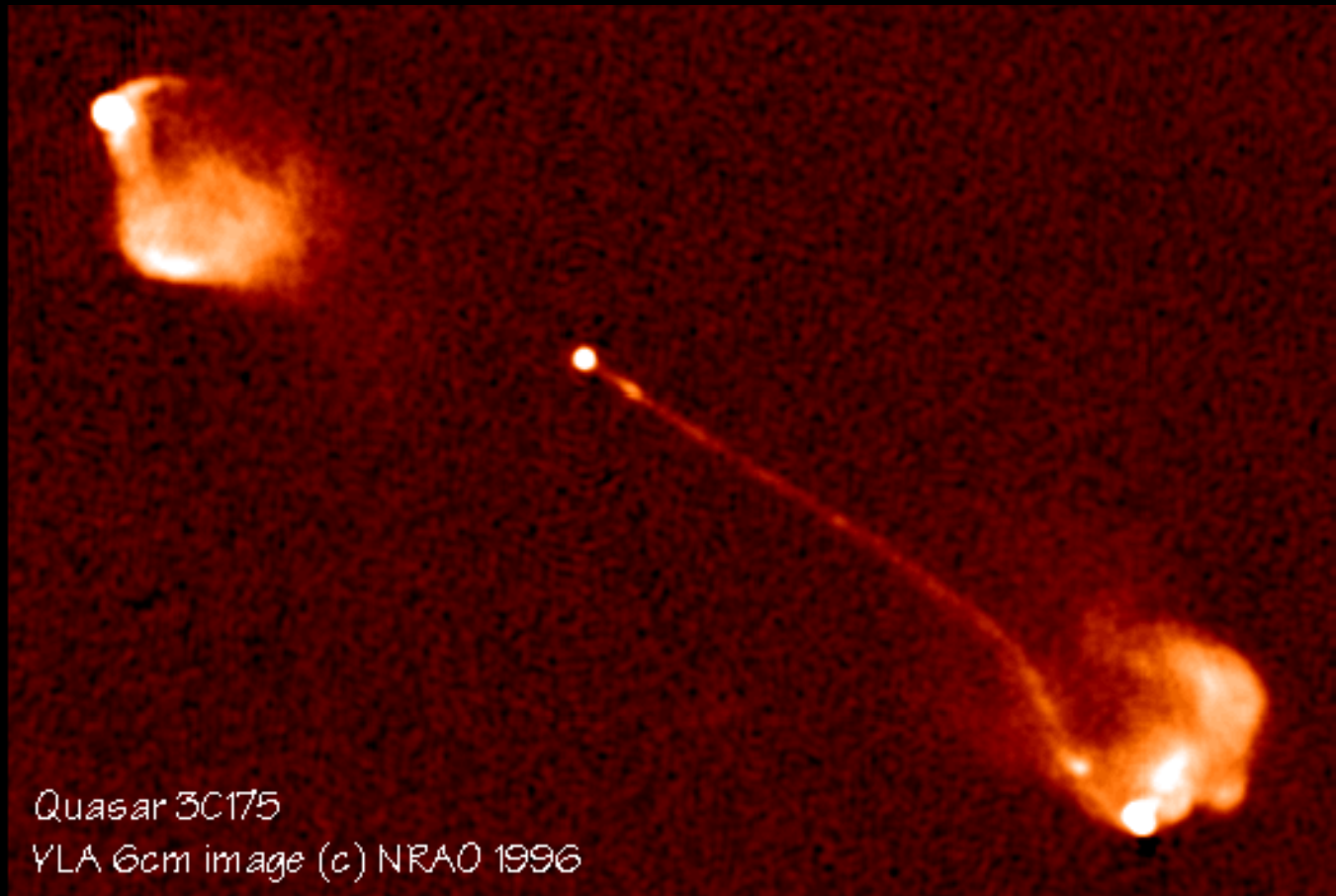
Radio Galaxy 3C219



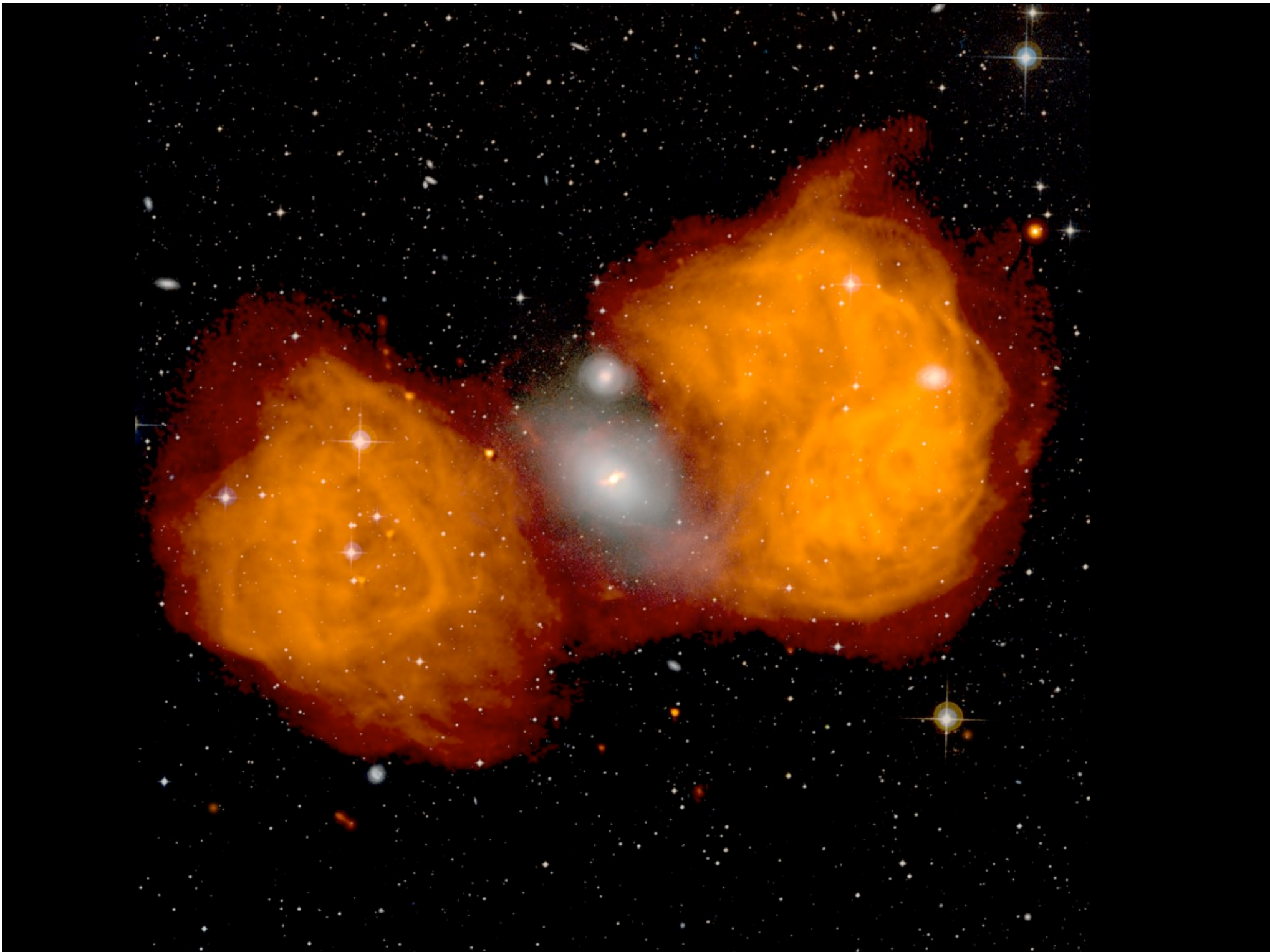
VLA images (c) NRAO 1996

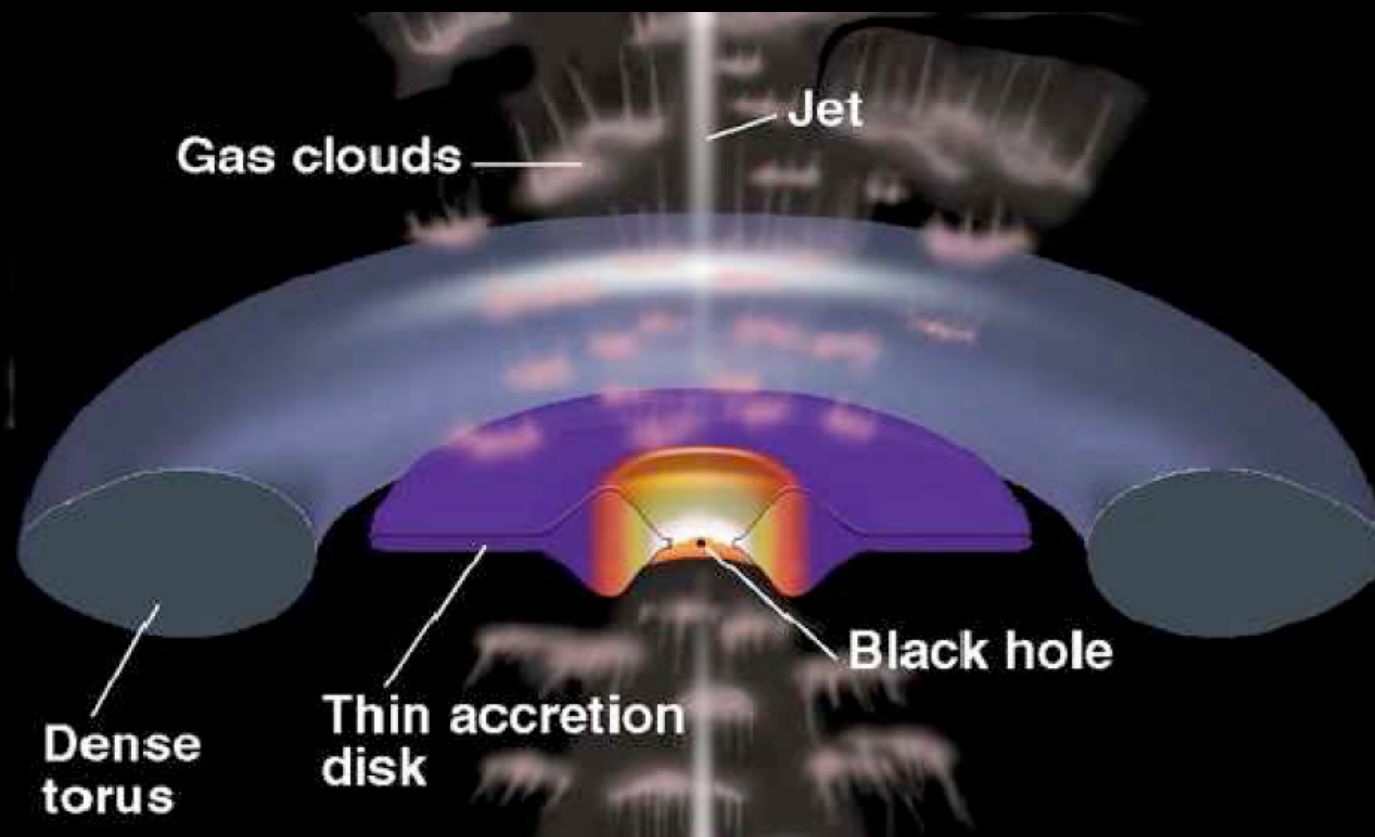
NGC315 VLA 21cm/optical
Copyright (c) AUI/NRAO 2006





Quasar 3C175
YLA 6cm image (c) NRAO 1996





E0



Elliptical galaxies

E4



E7



Spiral galaxies

Sa



SB0 / S0



SBa



Barred
Spiral galaxies

SBb



SBc



Sb



Sc



Irregulars



Irr



CUMULOS DE GALAXIAS

- Grupos de galaxias

Menos de 50 galaxias en un diámetro típico de 1-2 Mpc

- Cúmulos de galaxias

Centenares o incluso miles de galaxias en un diámetro típico de 2-10 Mpc

- Supercúmulos

Agrupaciones de galaxias aisladas, grupo de galaxias y cúmulos de galaxias

Grupo de galaxias HCG87

(cuatro galaxias)



Grupo de 6 galaxias en
proceso de colisión



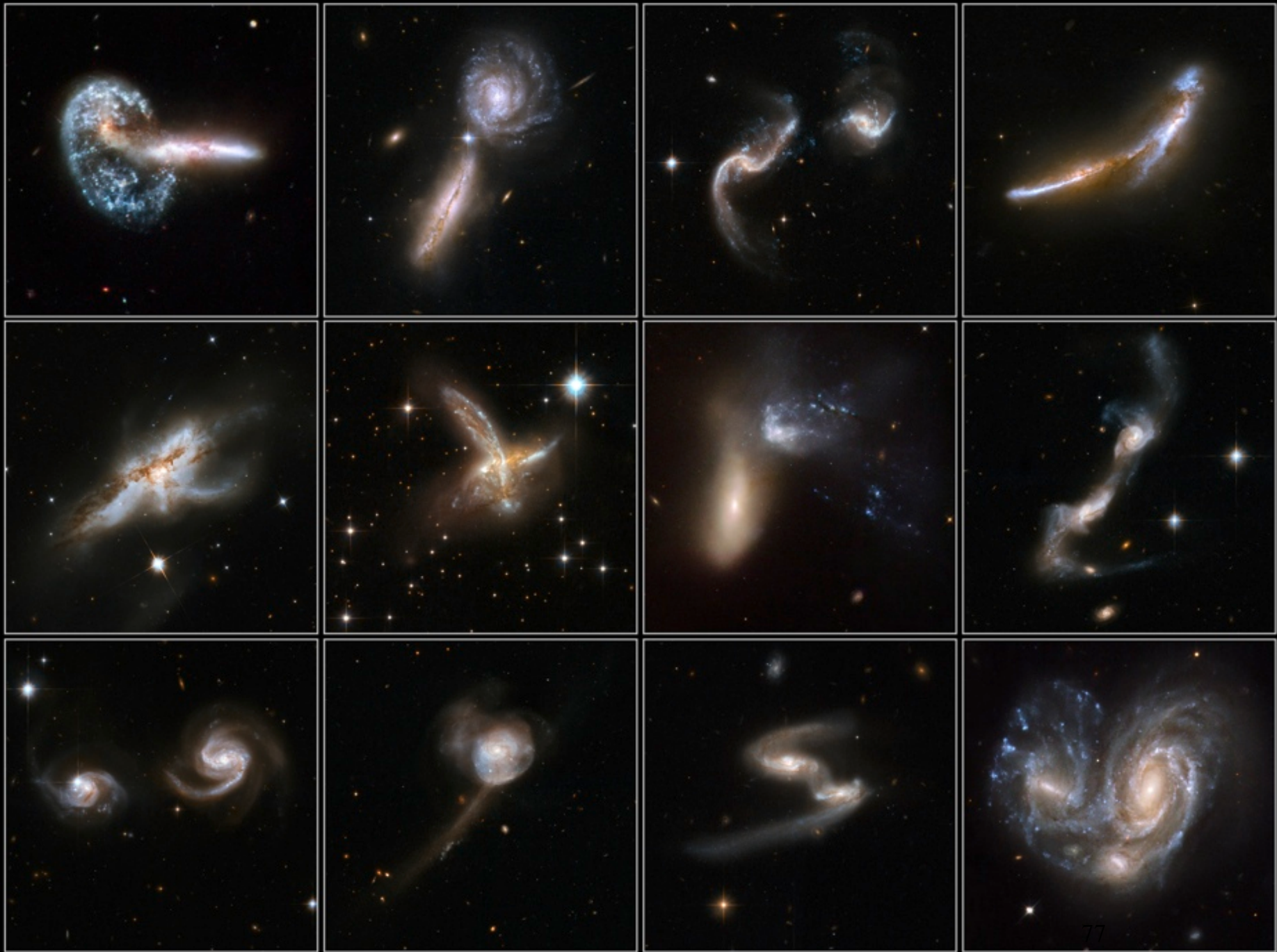
Interacting Galaxies • Arp 87



Hubble
Heritage



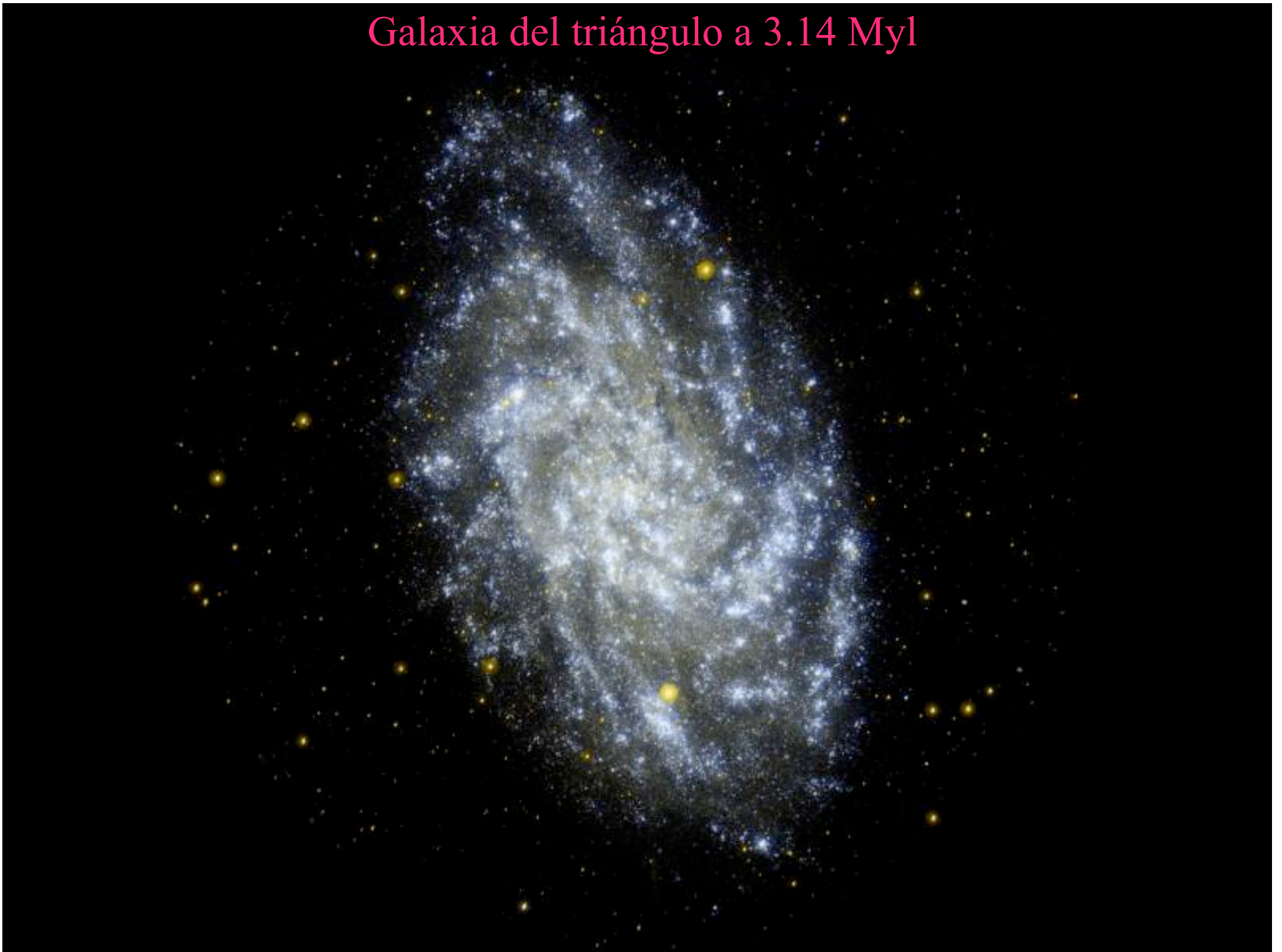




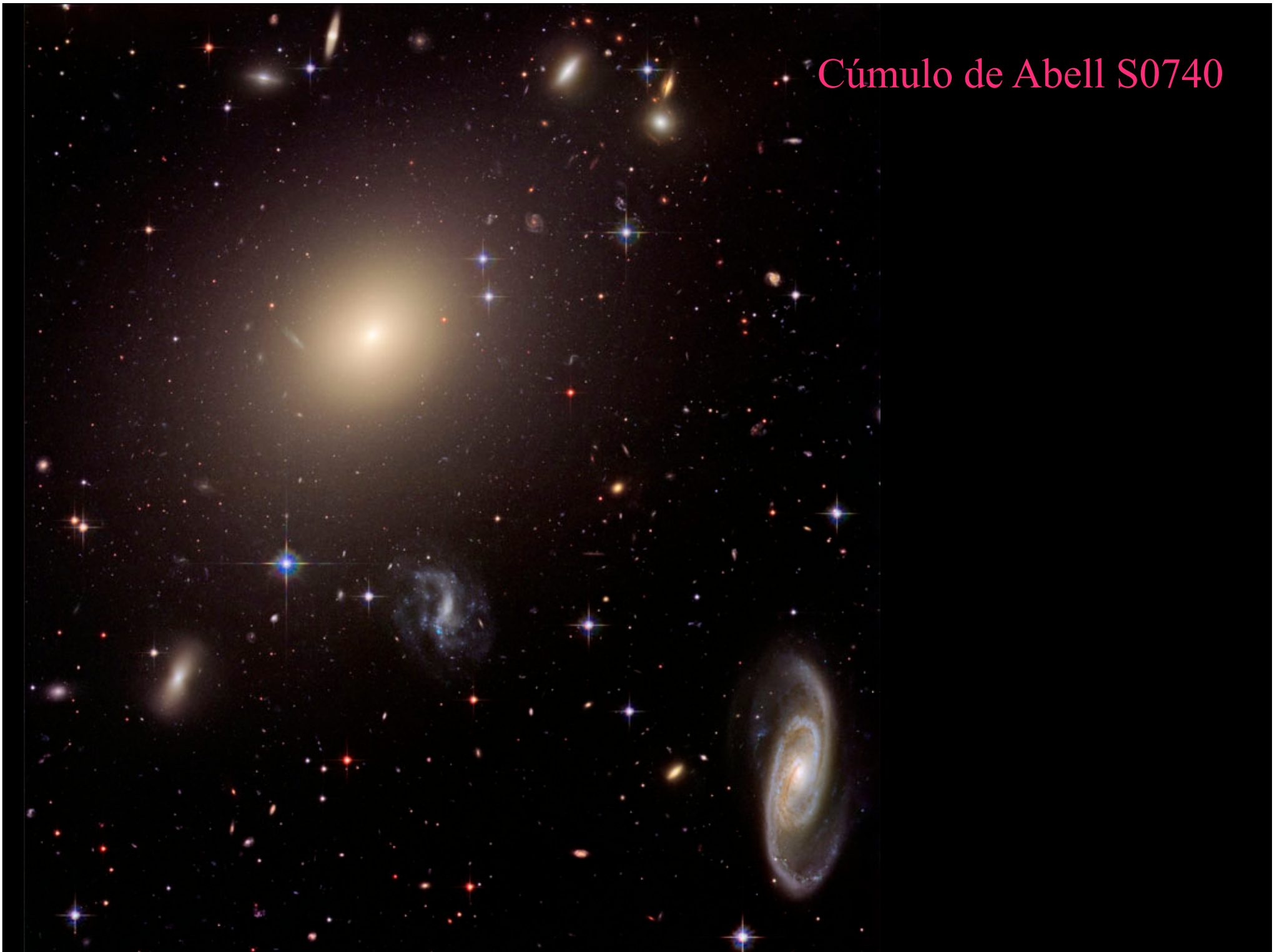
Andromeda a 2.5 Myl

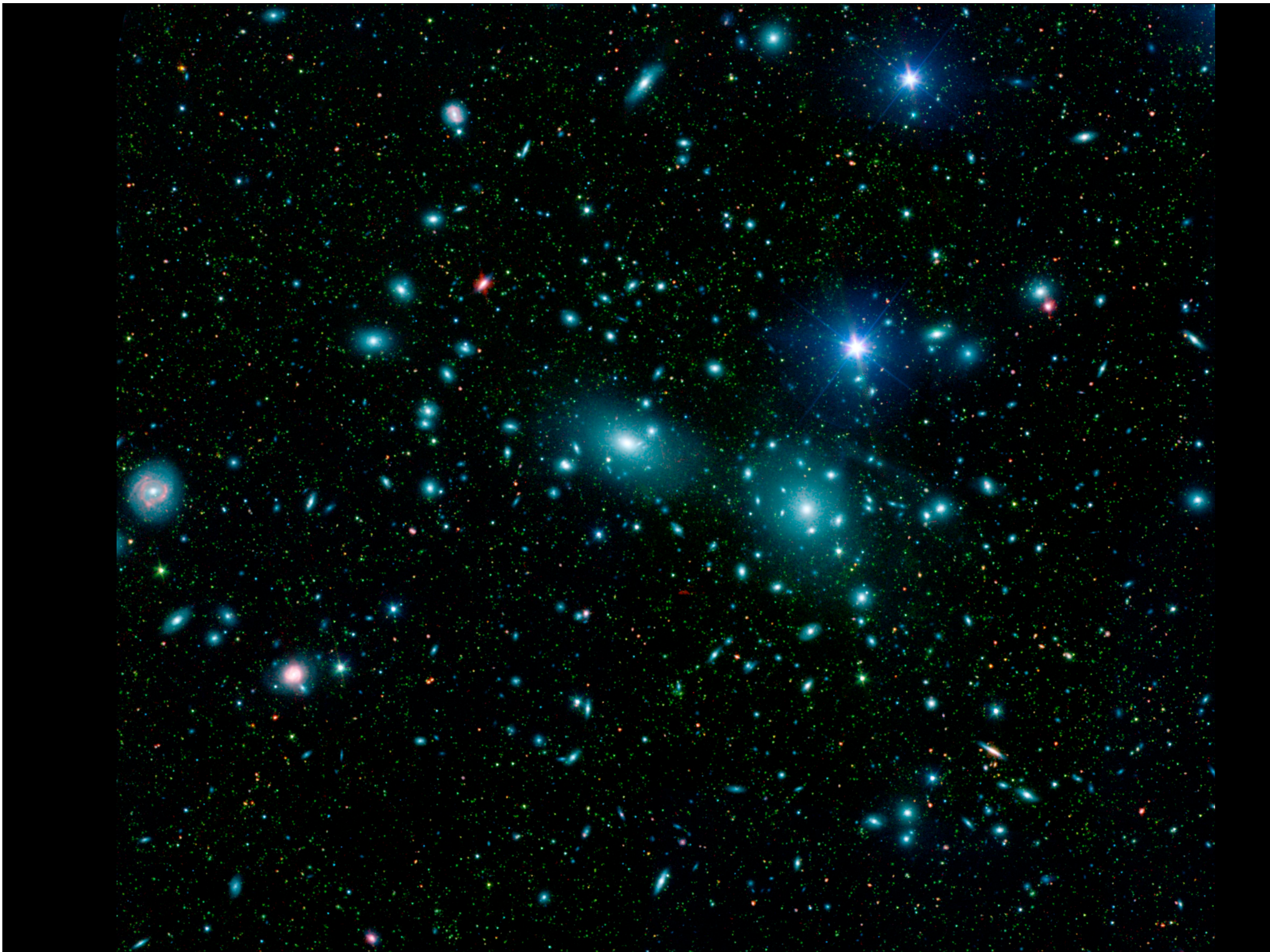


Galaxia del triángulo a 3.14 Myl



Cúmulo de Abell S0740





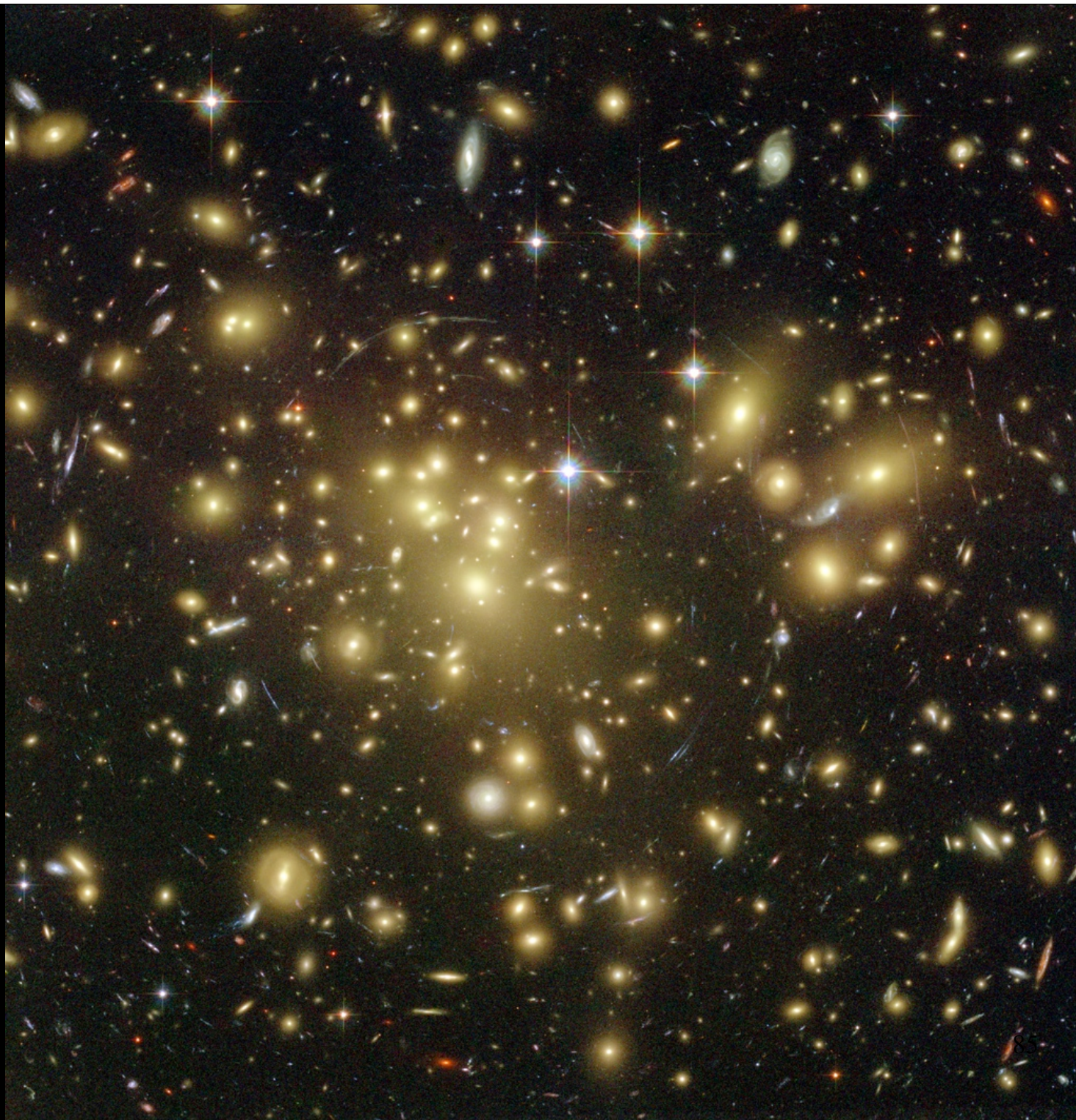


Abell 2151



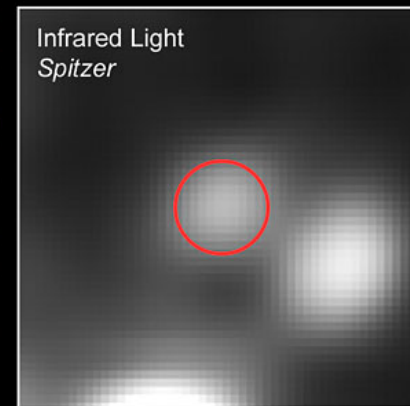
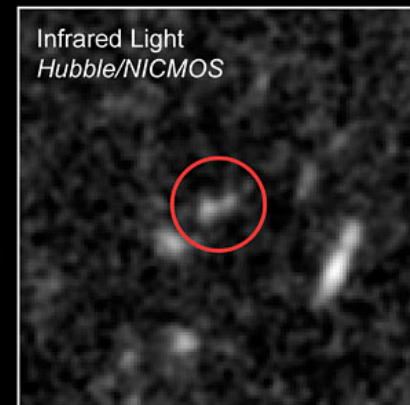
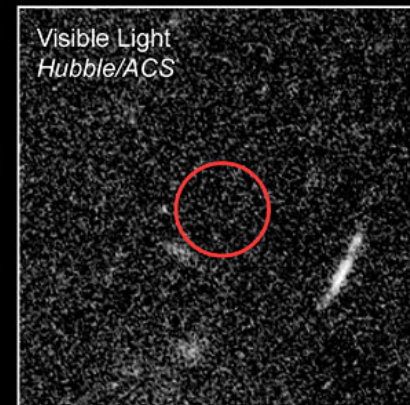
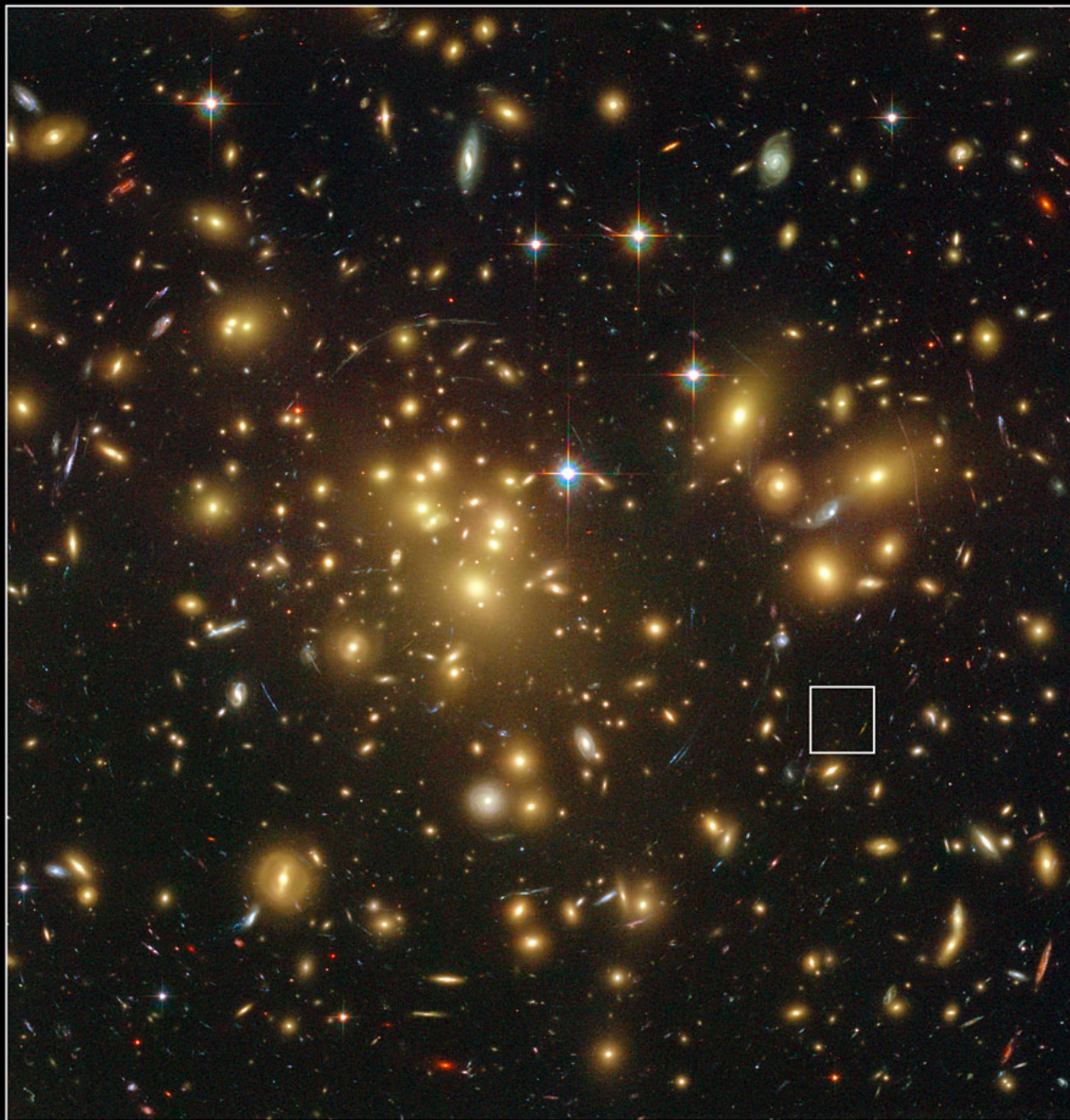


Abell 1689



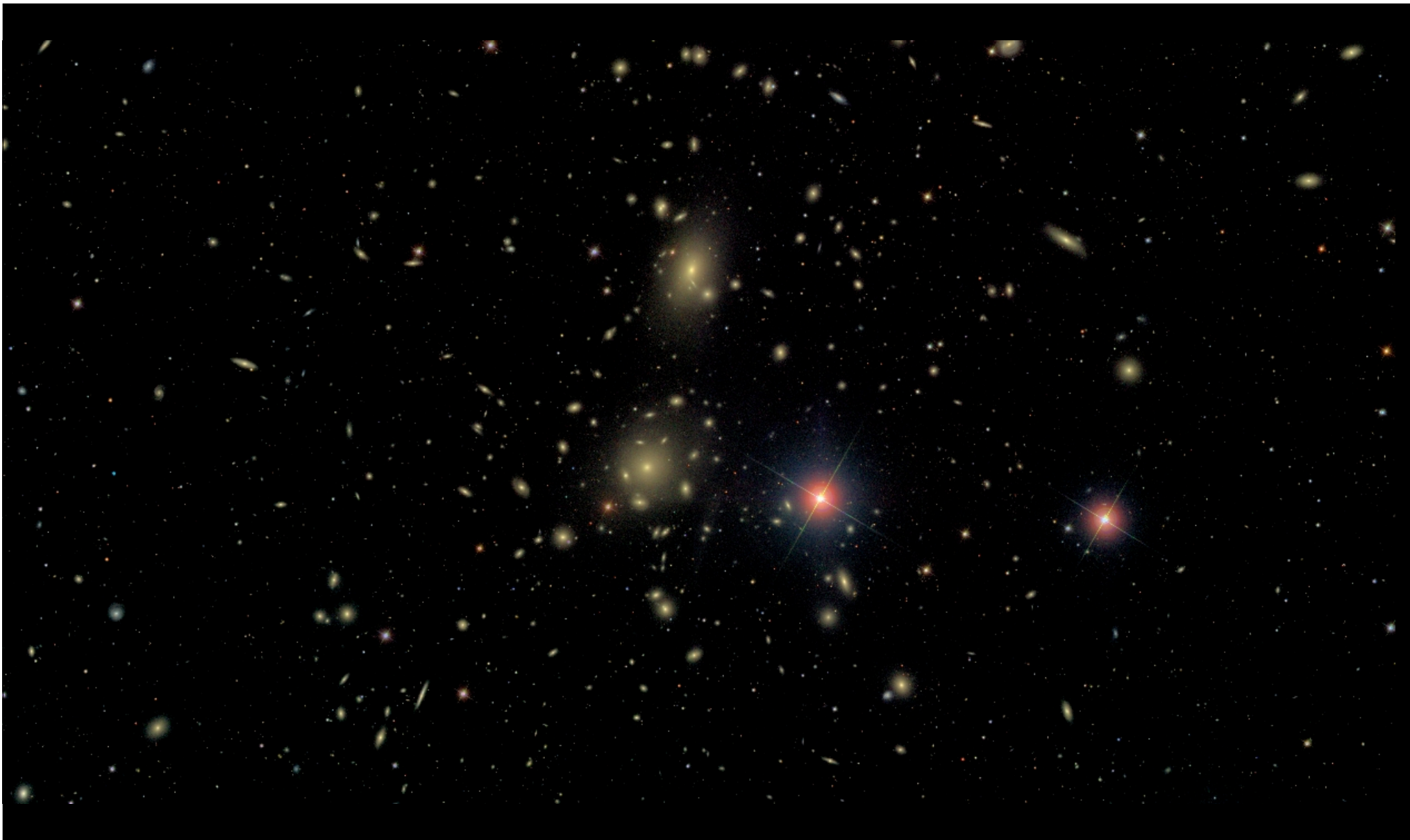


Galaxia más distante conocida ($z=7.6$)



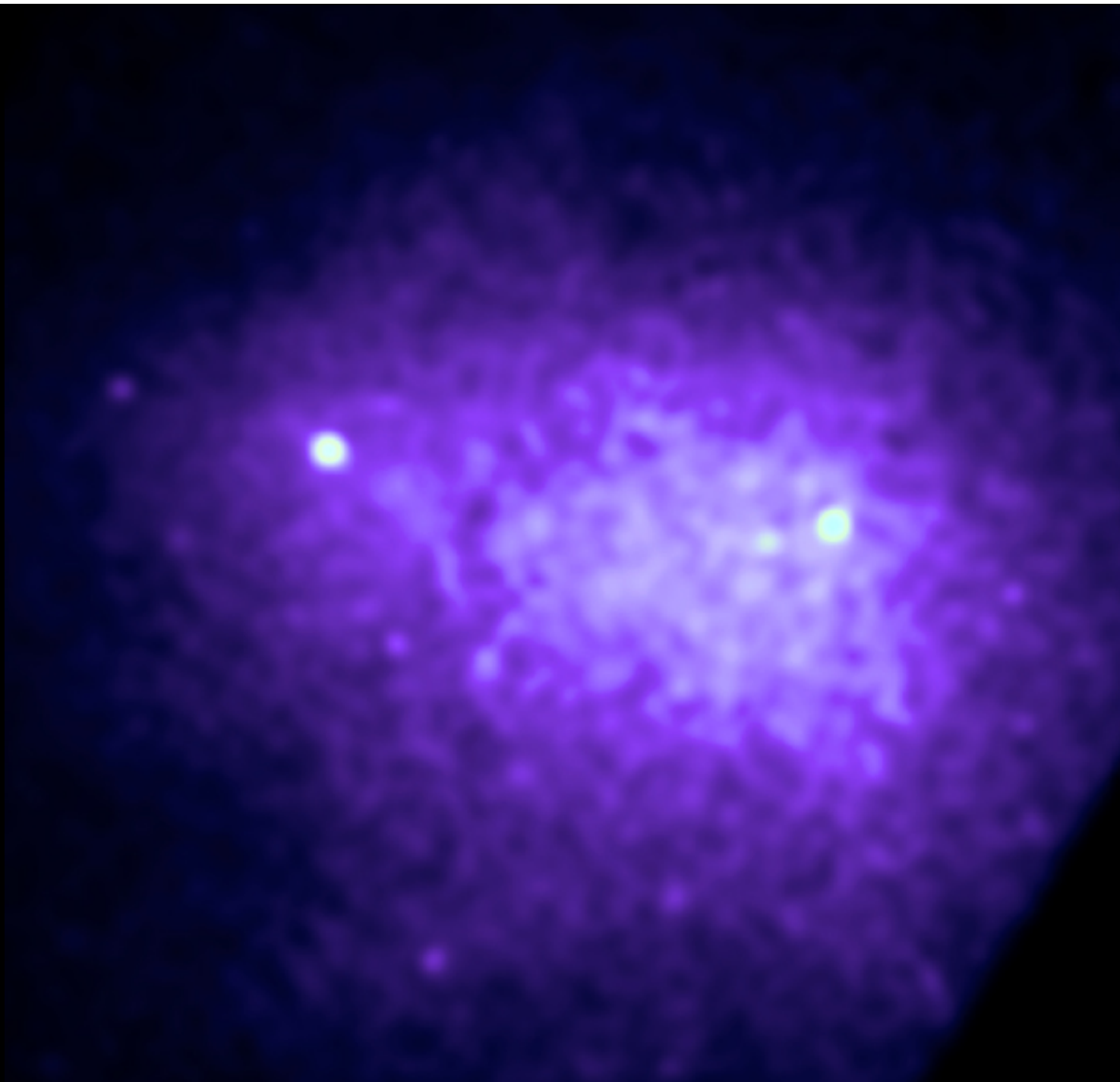
Medio intracúmulo (ICM)

- Las galaxias de un cúmulo están inmersas en una nube de gas ionizado a una temperatura de $T=10^7-10^8$ K
- El gas es materia ordinaria (bariones) con una densidad de 10^{-3} átomos/cm³
- La masa en forma de gas es superior (típicamente en un factor 2) a la masa de las estrellas que forman las galaxias del cúmulo

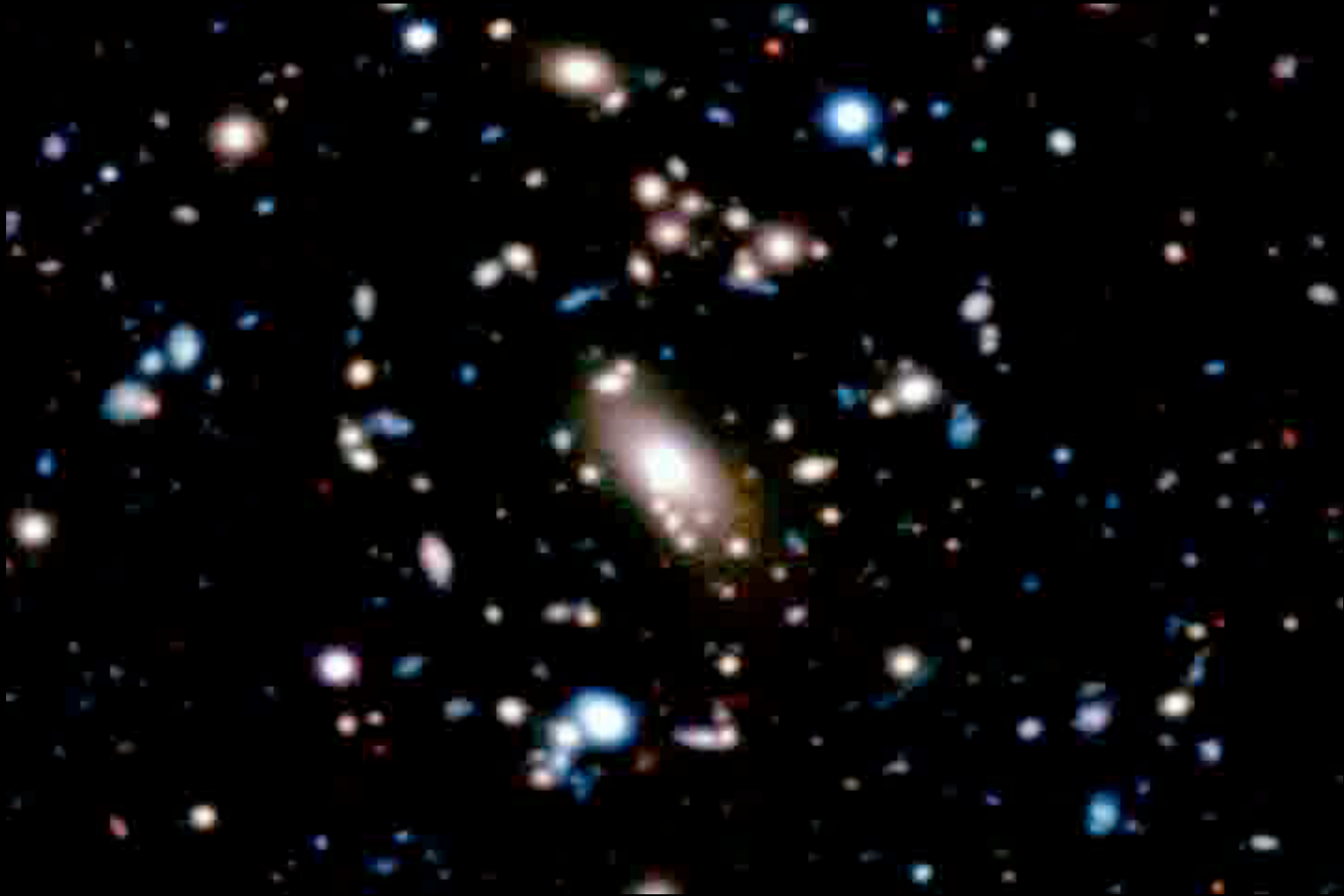


Cúmulo de Coma

(a 100 Mpc de distancia)



Cúmulo de Coma observado con Chandra en rayos X



Cúmulo MACSJ1423 a $z=0.54$

Imagen óptica en 3 filtros con Subaru

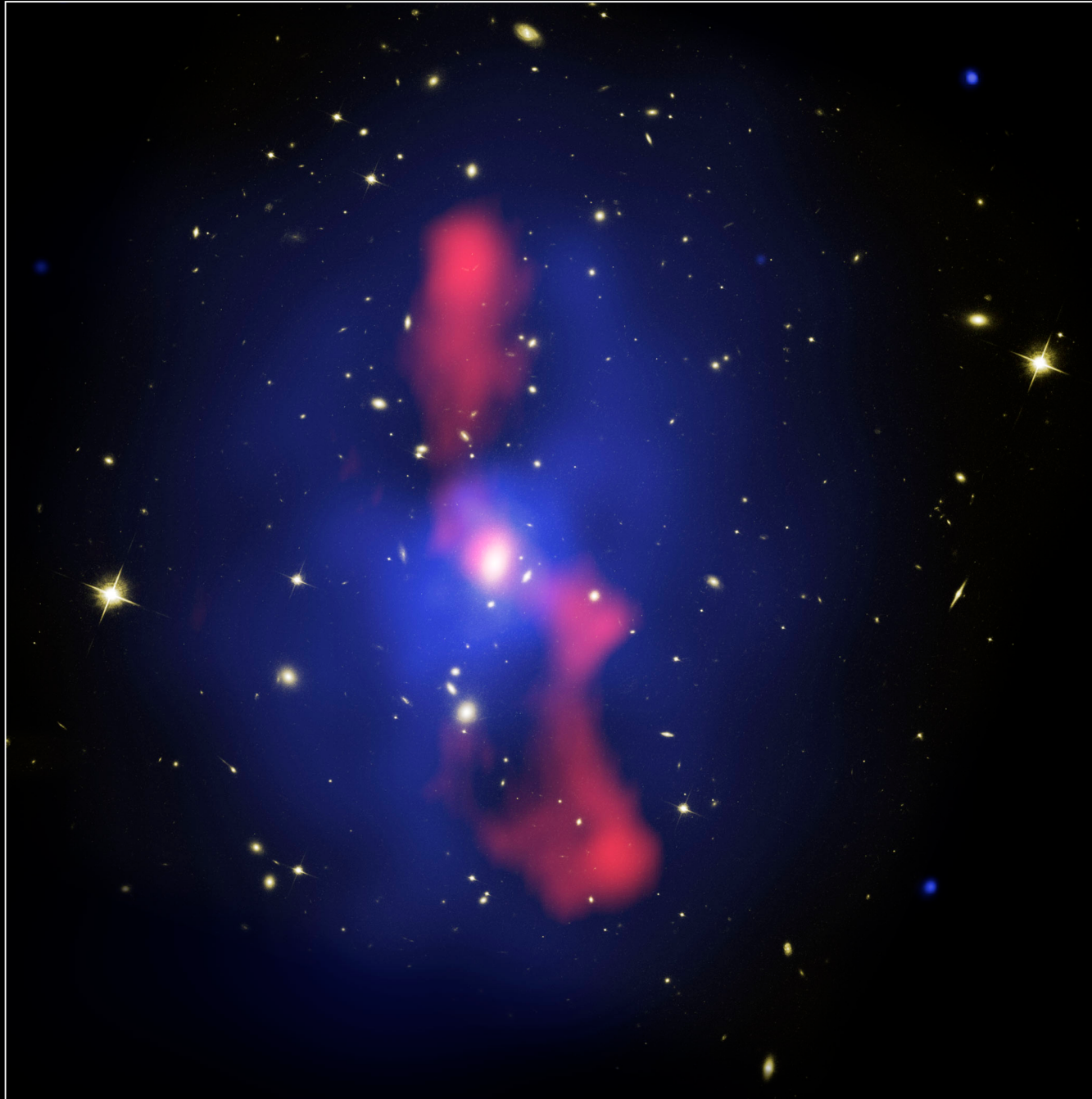
Imagen en rayos X con Chandra

(La masa en forma de gas ionizado es 6 veces superior a la masa de las estrellas)

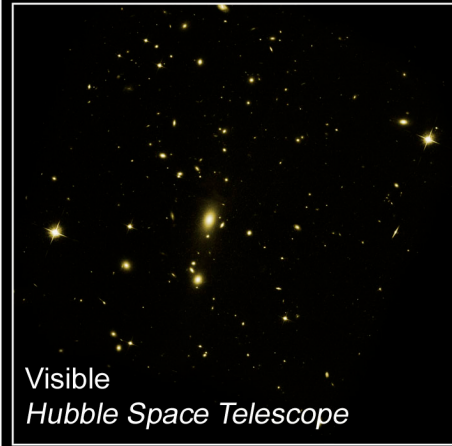


Galaxy Cluster MS 0735.6+7421

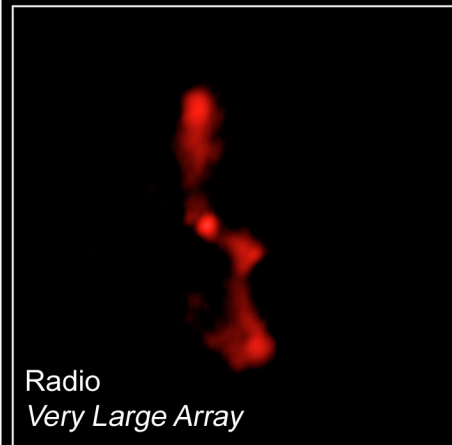
CXO ■ HST ■ VLA



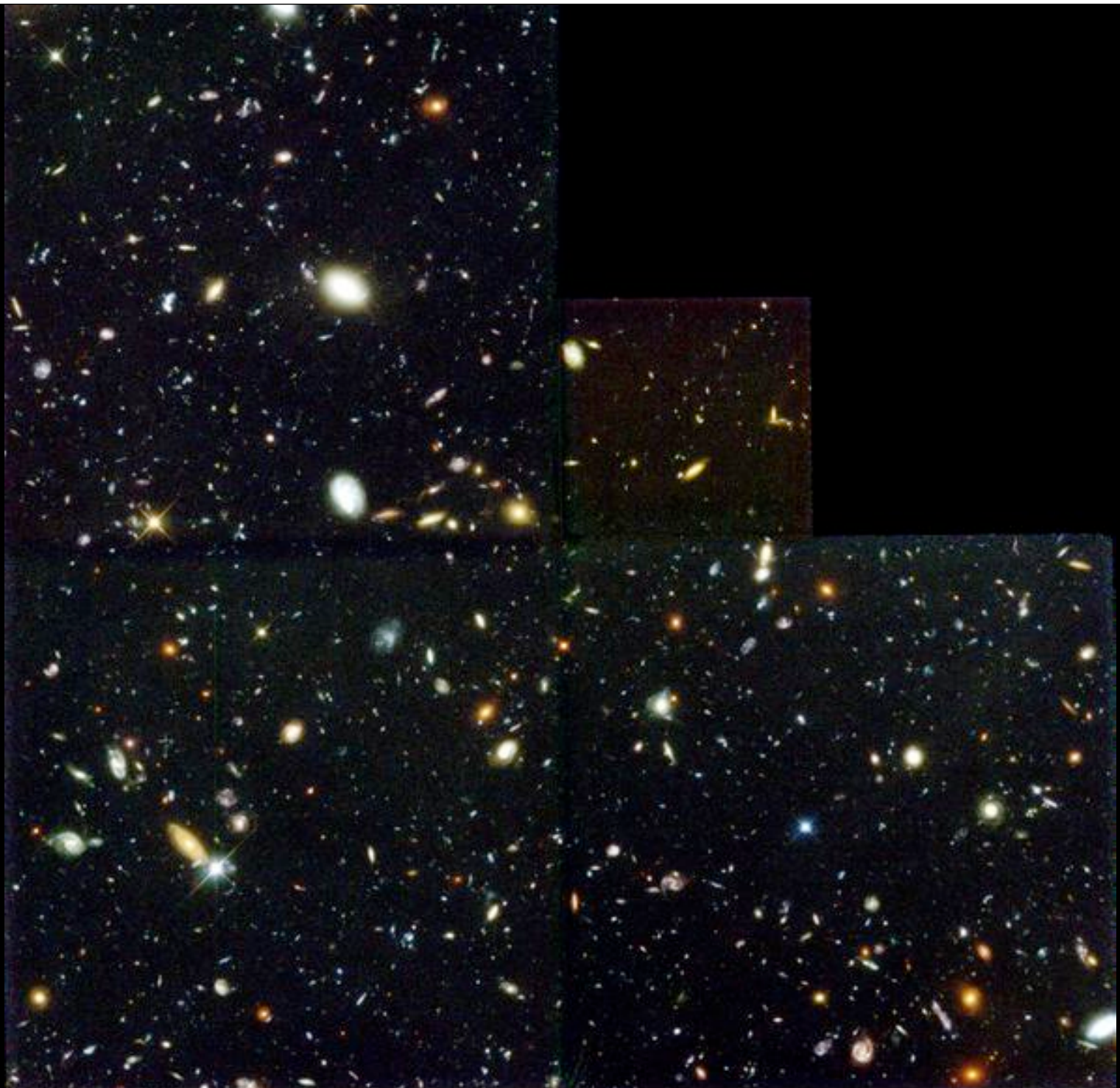
X-ray
Chandra X-Ray Observatory



Visible
Hubble Space Telescope



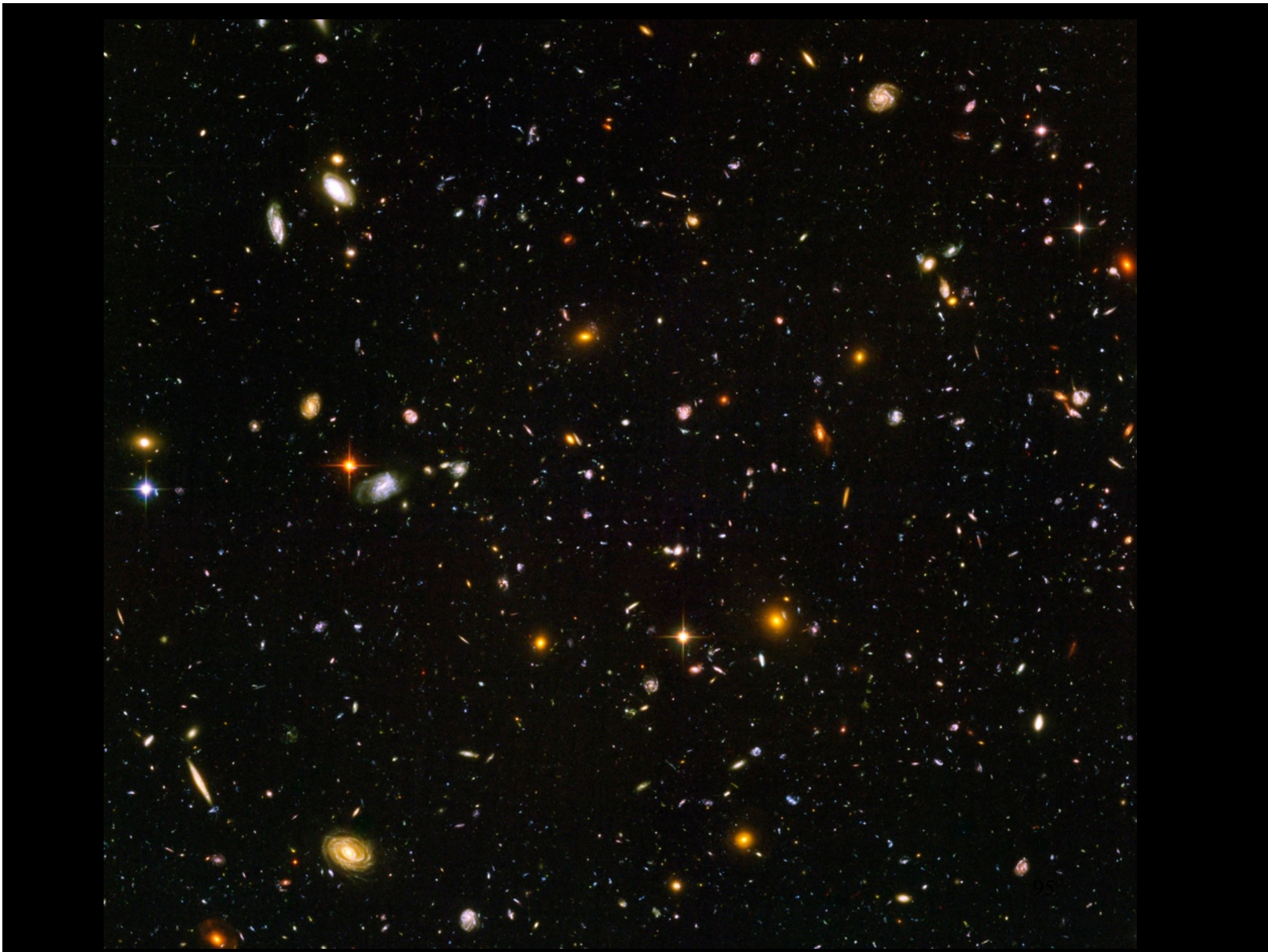
Radio
Very Large Array



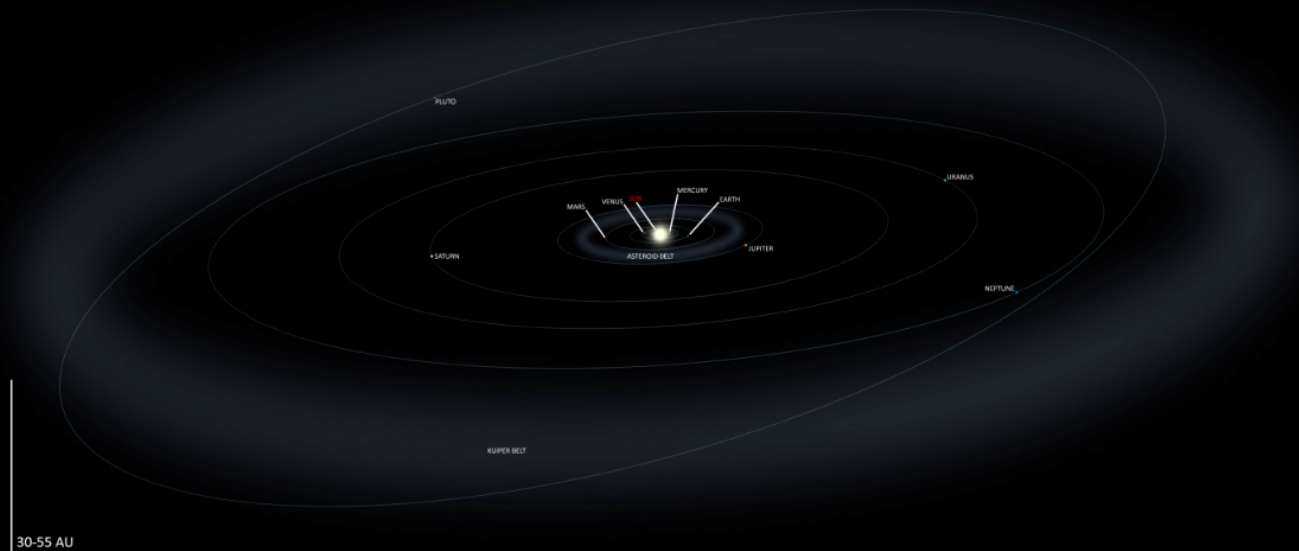
Hubble Deep Field

ST ScI OPO January 15, 1996 R. Williams and the HDF Team (ST ScI) and NASA

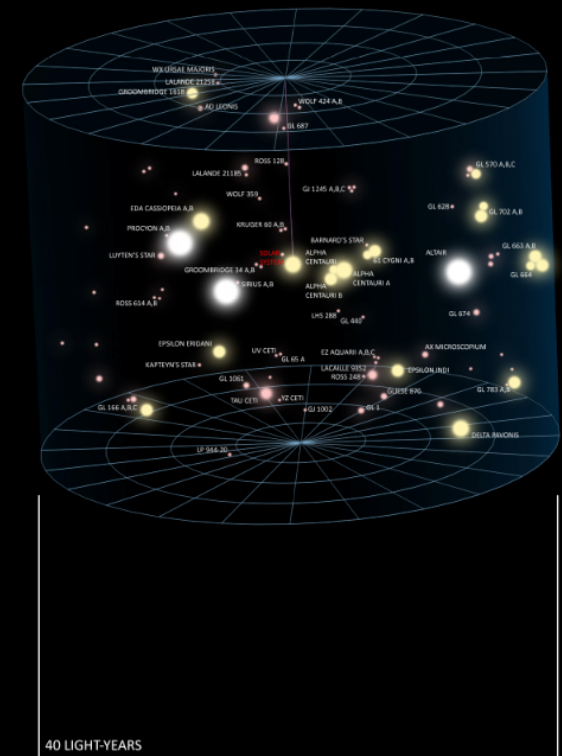
HST WFPC2



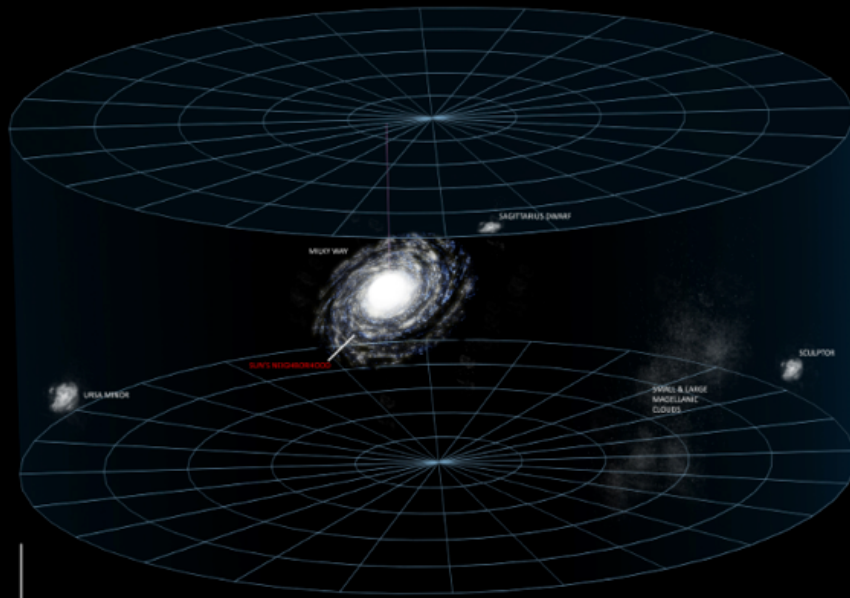
SOLAR SYSTEM



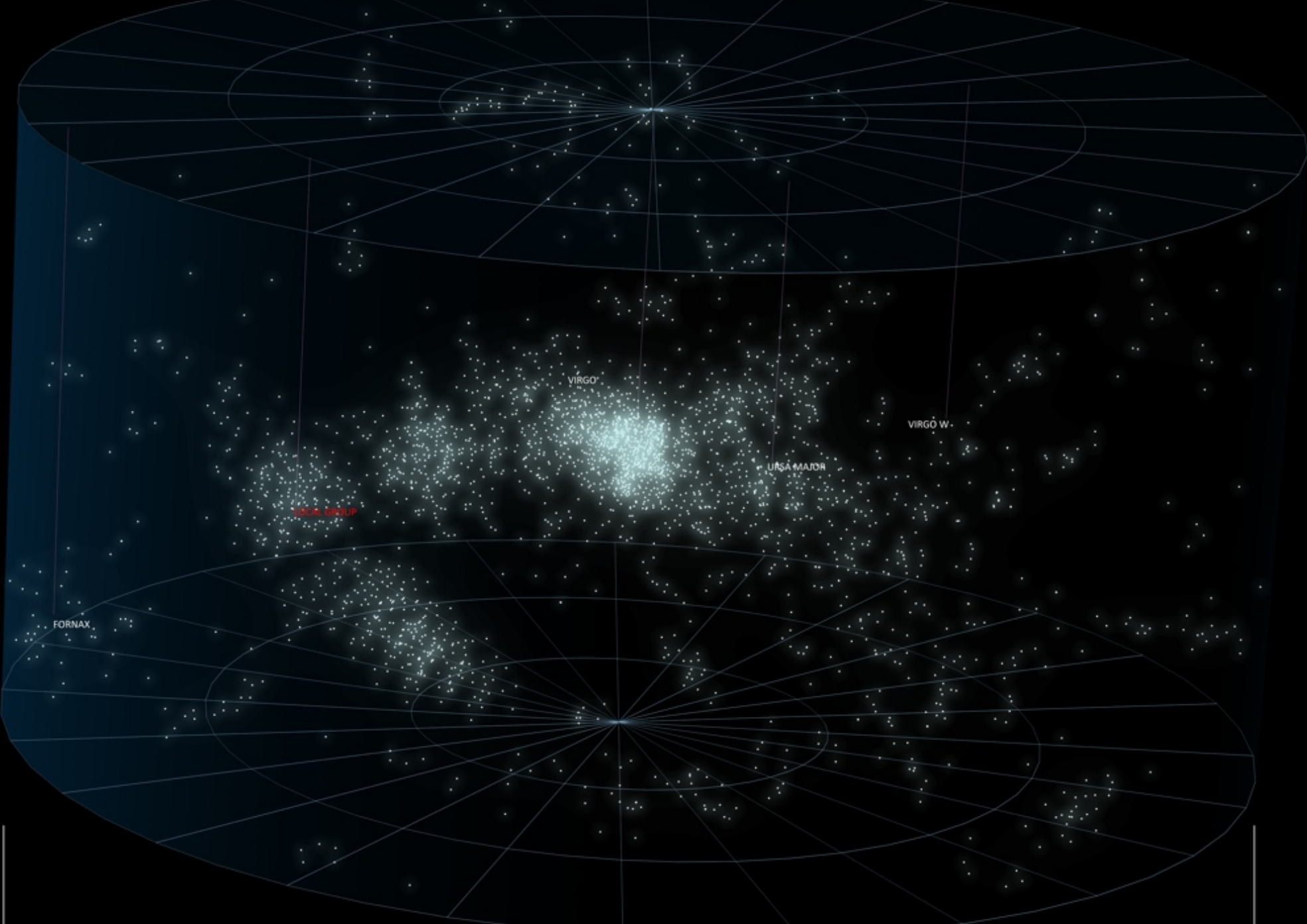
SUN'S NEIGHBORHOOD



GALACTIC REALM

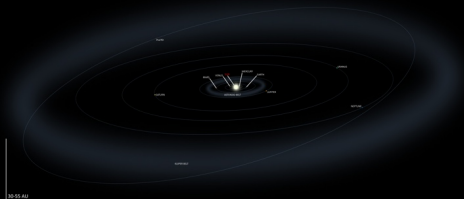


SUPERCLUSTER



150 MILLION LIGHT-YEARS

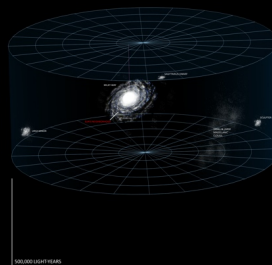
SOLAR SYSTEM



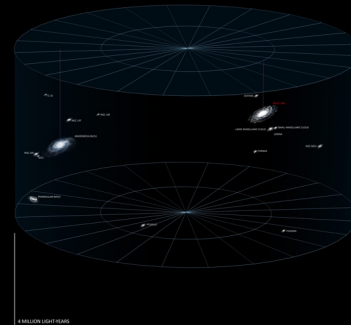
SUN'S NEIGHBORHOOD



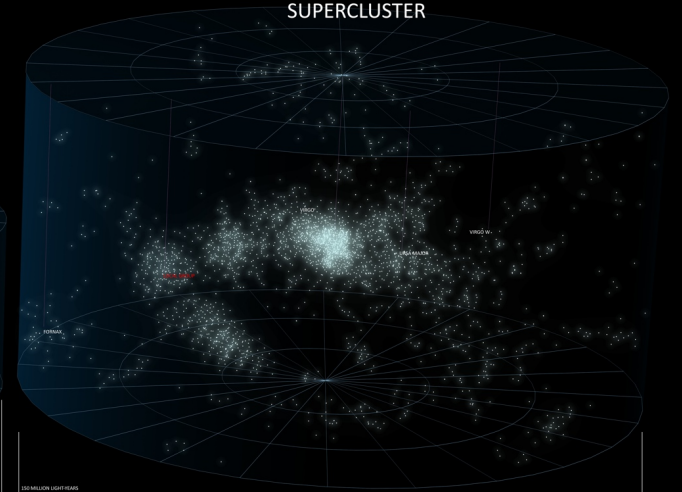
GALACTIC REALM



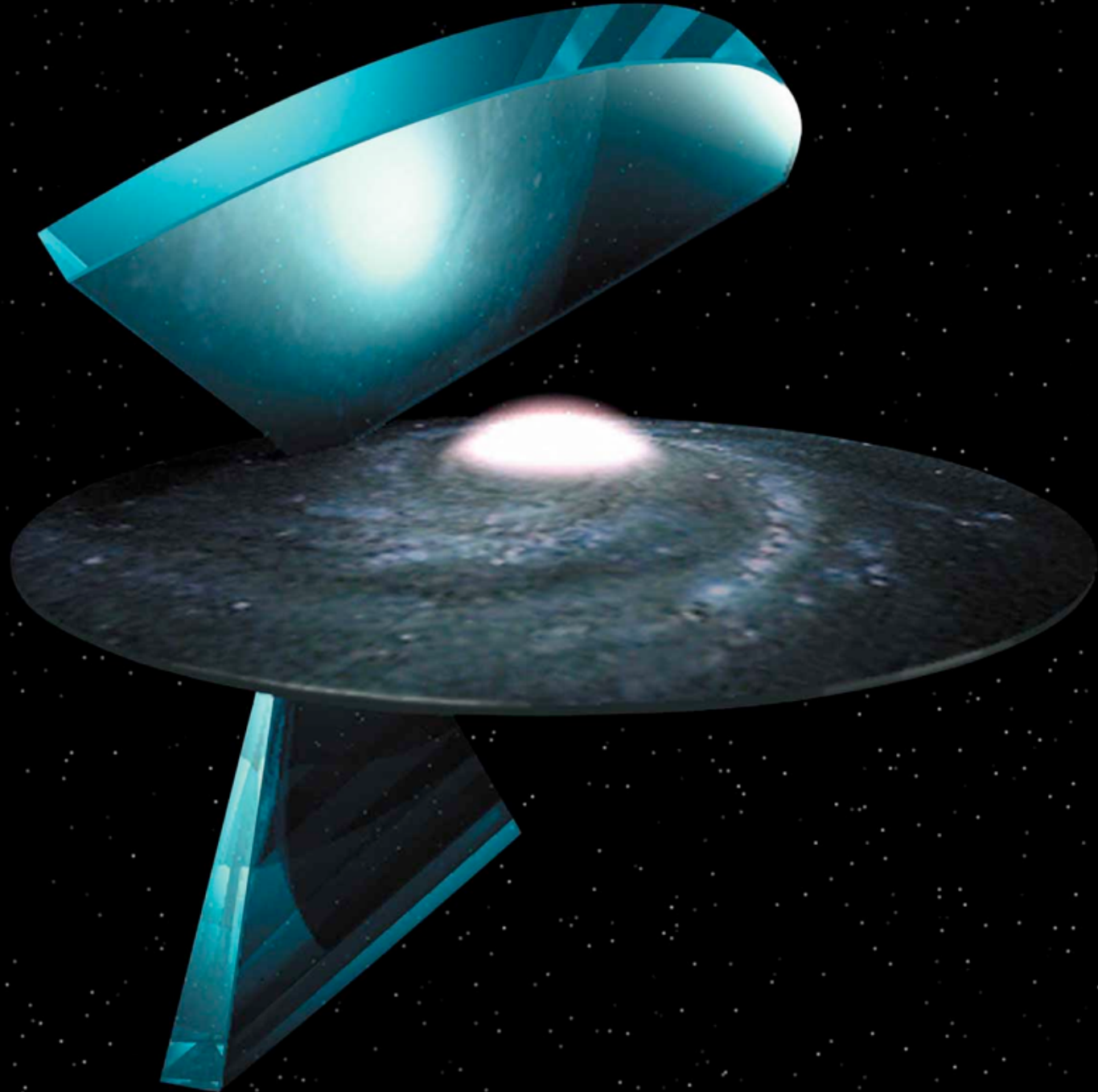
LOCAL GROUP



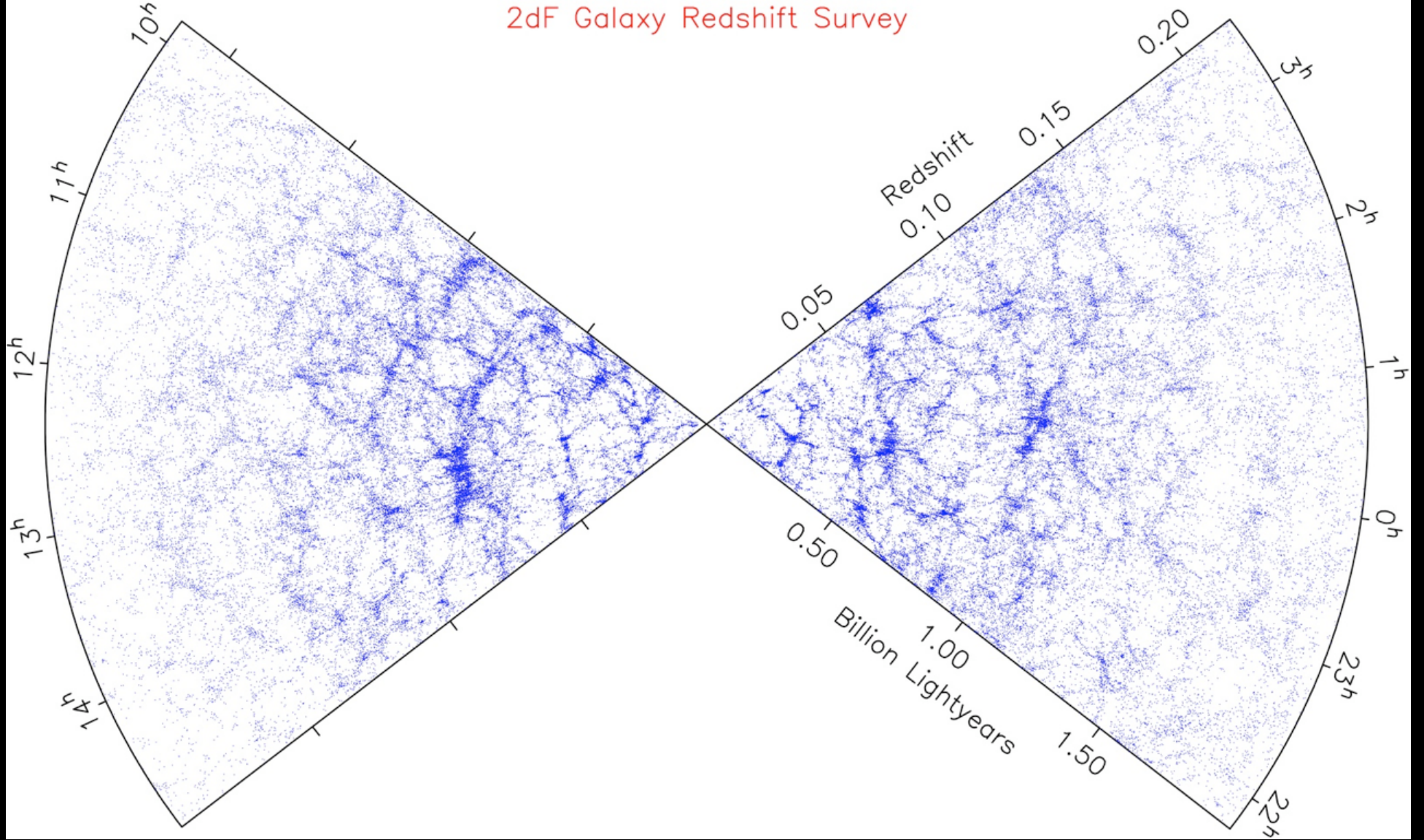
SUPERCLUSTER

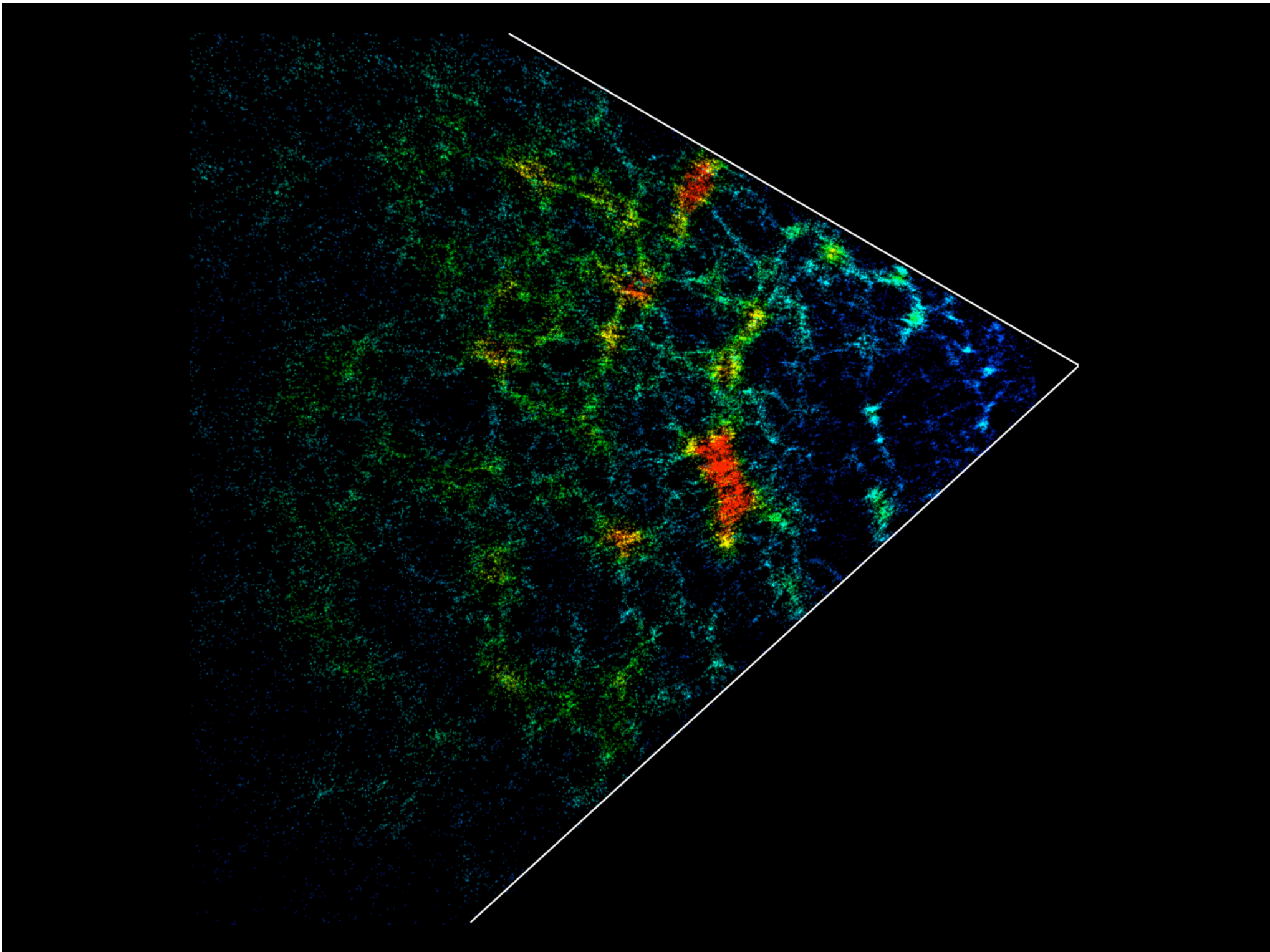


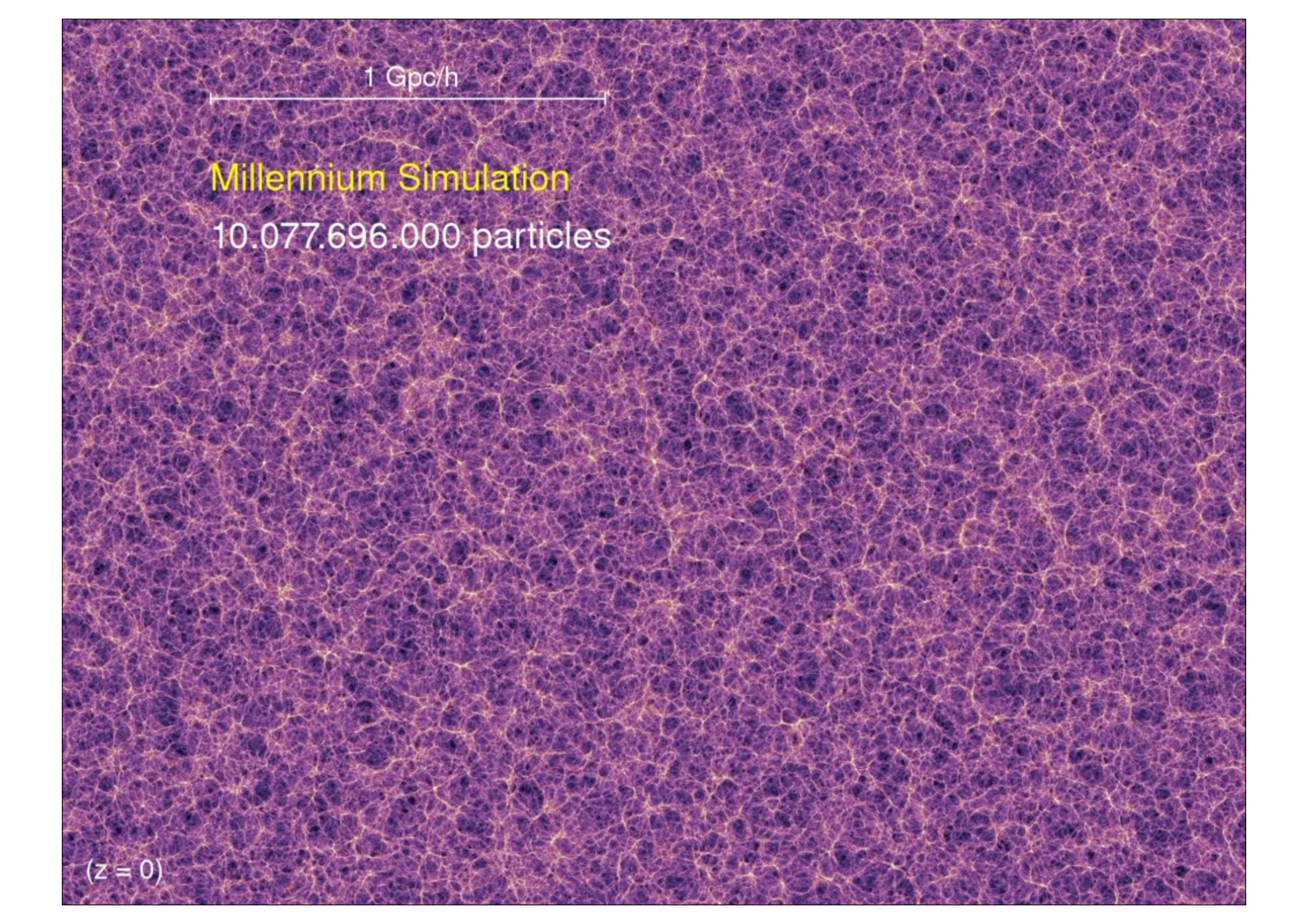
The 2dF Galaxy Redshift Survey



2dF Galaxy Redshift Survey





A visualization of the Millennium Simulation, showing a dense network of particles in a purple and orange color scheme. The particles are arranged in a complex, interconnected web, representing the large-scale structure of the universe. A scale bar at the top indicates a distance of 1 Gpc/h. The text "Millennium Simulation" and "10.077.696.000 particles" is overlaid on the image. The redshift is indicated as (z = 0) in the bottom left corner.

1 Gpc/h

Millennium Simulation

10.077.696.000 particles

($z = 0$)

